

Curs 13
2014/2015

Dispozitive și circuite de microunde pentru radiocomunicații

Recapitulare C11

Curs 11

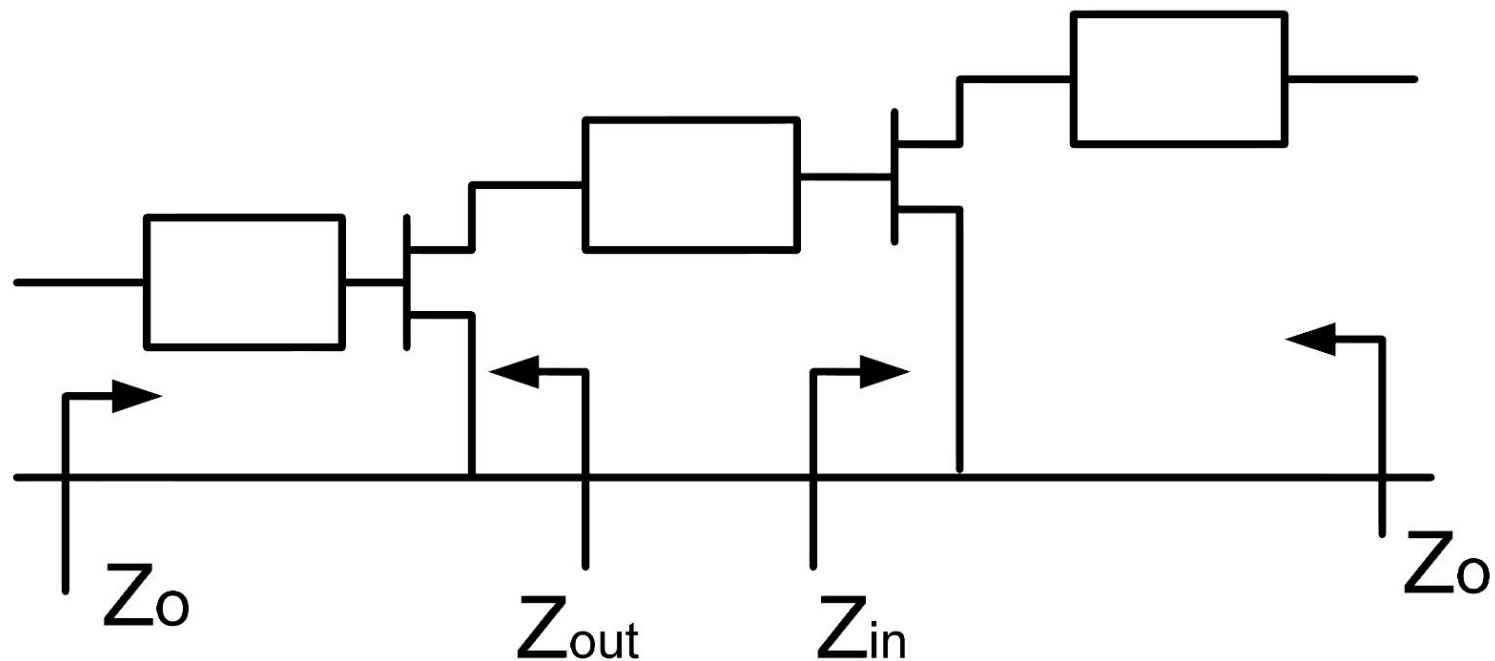
- Curs 11
 - Curs 11 + Curs 12'

Proiectare pentru zgomot redus

Amplificatoare de microunde

Amplificatoare in cascada

- Adaptarea inter-etaje se poate projecța în două moduri:
 - adaptarea unui etaj spre Γ necesar pentru celalalt

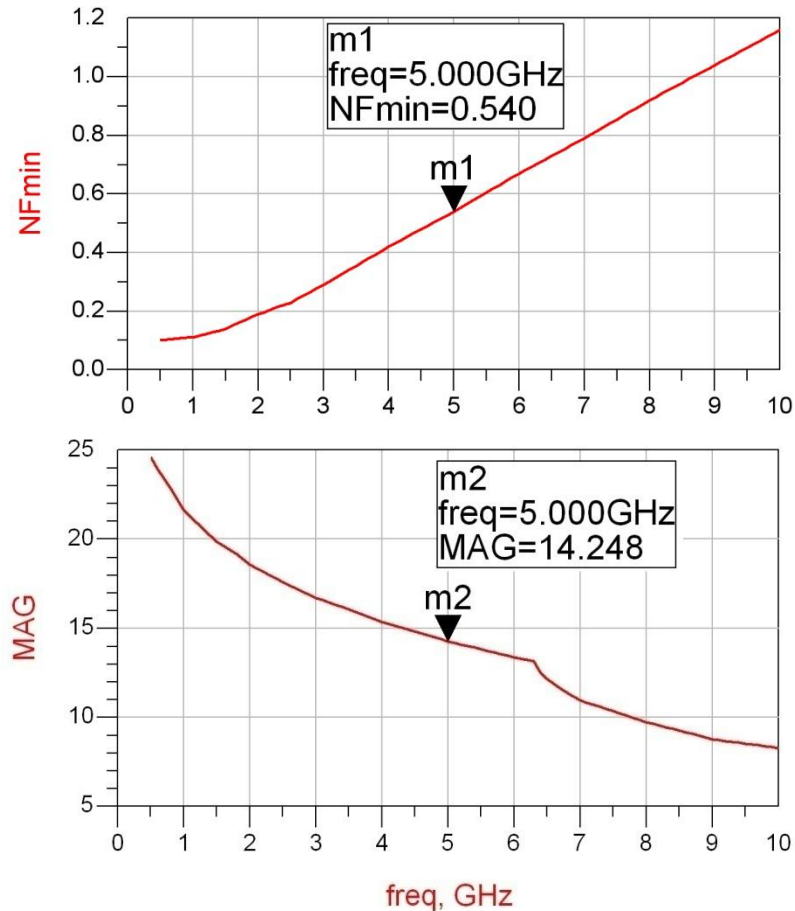


Exemplu LNA cascada

- Similar cu tema de la mini-proiect
- Amplificator LNA cu ATF-34143 avand caracteristicile:
 - $G = 20\text{dB}$
 - $F = 1\text{dB}$
 - $@f = 5\text{GHz}$

Exemplu

- ATF-34143 at $V_{ds}=3V$ $I_d=20mA$.
- @5GHz
 - $S_{11} = 0.64 \angle 139^\circ$
 - $S_{12} = 0.119 \angle -21^\circ$
 - $S_{21} = 3.165 \angle 16^\circ$
 - $S_{22} = 0.22 \angle 146^\circ$
 - $F_{min} = 0.54$ (**tipic [dB] !**)
 - $\Gamma_{opt} = 0.45 \angle 174^\circ$
 - $r_n = 0.03$



Formula lui Friis (zgomot)

$$G_{cas} = G_1 \cdot G_2$$

$$F_{cas} = F_1 + \frac{1}{G_1} (F_2 - 1)$$

- Formula lui Friis
 - primul etaj factor de zgomot mai mic, probabil insotit de un castig mai mic
 - al doilea etaj castig mare, probabil insotit de un factor de zgomot mai mare
- Este esential sa se pastreze o rezerva
 - $G = G_{tema} + \Delta G$
 - $F = F_{tema} - \Delta F$
- Tema se interpreteaza
 - $G > G_{tema}$, mai bine, fara a fi nevoie sa se sacrifice alti parametri pentru castiguri mult mai mari
 - $F < F_{tema}$, mai bine, cu cat mai mic cu atat mai bine, e util sa se incerce obtinerea unui **zgomot cat mai mic**, cu indeplinirea celorlalte conditii

Formula lui Friis (zgomot)

- Formula lui Friis
 - primul etaj factor de zgomot mai mic, probabil insotit de un castig mai mic
 - al doilea etaj castig mare, probabil insotit de un factor de zgomot mai mare
- Impartire pe cele doua etaje (Estimat)
 - intrare: $F_1 = 0.7 \text{ dB}$, $G_1 = 9 \text{ dB}$
 - iesire: $F_2 = 1.2 \text{ dB}$, $G_2 = 13 \text{ dB}$
- Transformare **in coordinate liniare !**

$$F_1 = 10^{\frac{F_1[\text{dB}]}{10}} = 10^{0.07} = 1.175$$

$$F_2 = 10^{\frac{F_2[\text{dB}]}{10}} = 10^{0.12} = 1.318$$

$$F_{cas} = F_1 + \frac{1}{G_1} (F_2 - 1) = 1.215$$

$$F_{cas} = 10 \cdot \log(1.215) = 0.846 \text{ dB}$$

$$G_1 = 10^{\frac{G_1[\text{dB}]}{10}} = 10^{0.9} = 7.943$$

$$G_2 = 10^{\frac{G_2[\text{dB}]}{10}} = 10^{1.3} = 19.953$$

$$G_{cas} = G_1 \cdot G_2 = 158.49$$

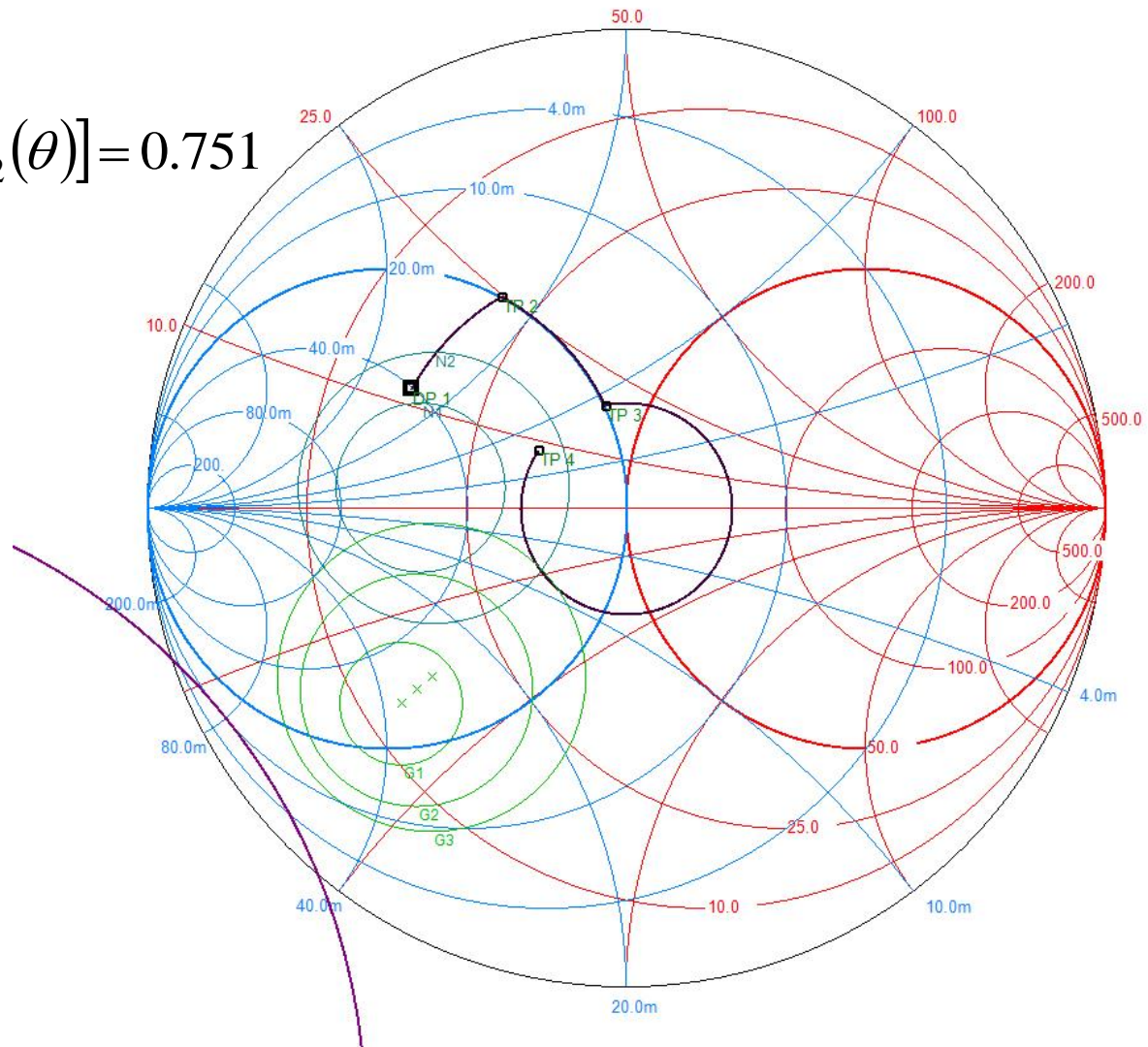
$$G_{cas} = 10 \cdot \log(158.49) = 22 \text{ dB}$$

Diagrama Smith 4

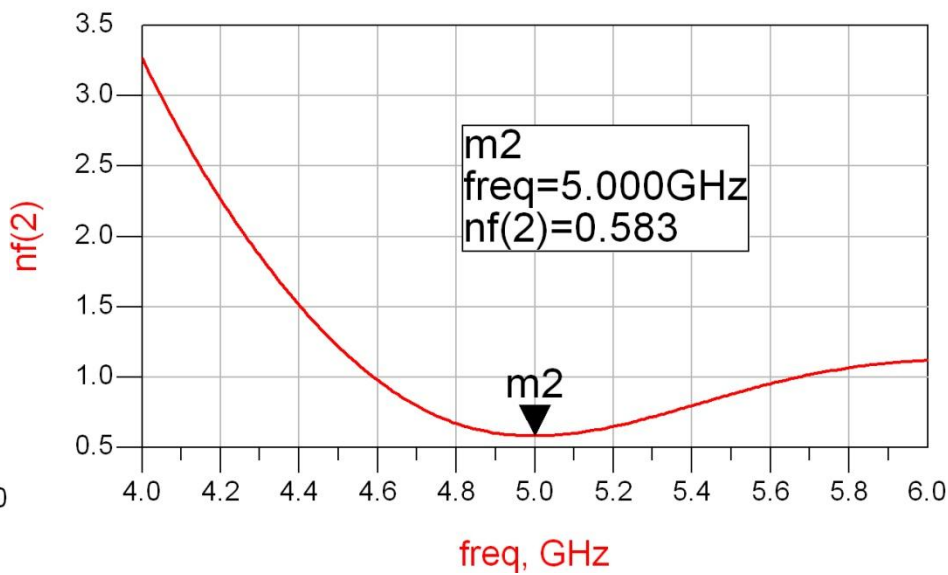
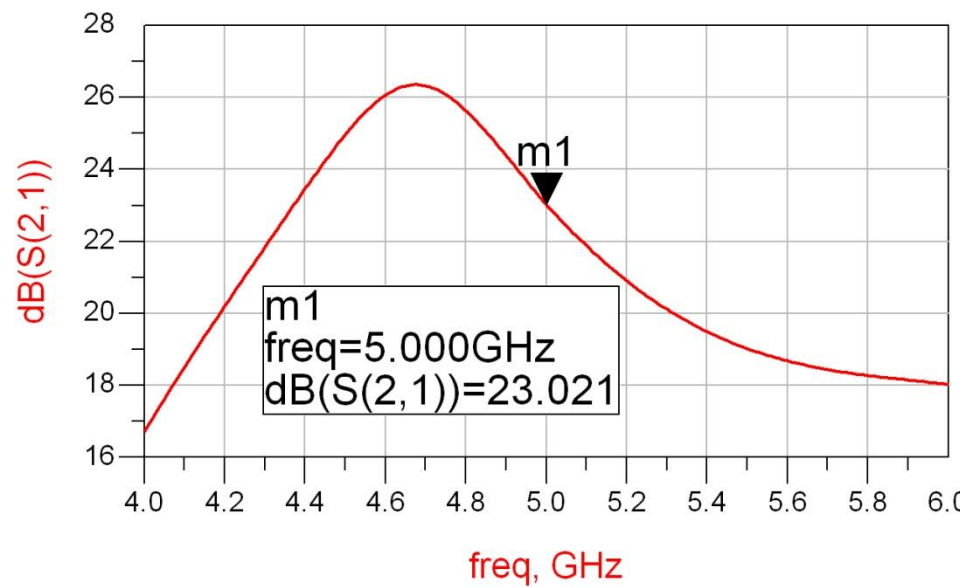
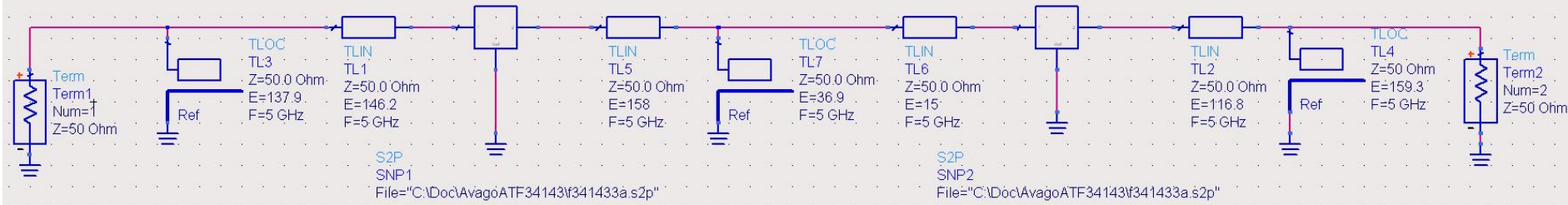
$$\theta_{L1} = 158.4^\circ \quad \theta_{S2} = 15^\circ$$

$$\text{Im}[y_{sp}] = \text{Im}[y_{L1}(\theta)] + \text{Im}[y_{S2}(\theta)] = 0.751$$

$$\theta_{sp} = 36.9^\circ$$



ADS 4



Filtre pentru microunde

FTJ prototip Maxim plat/Echiriplu

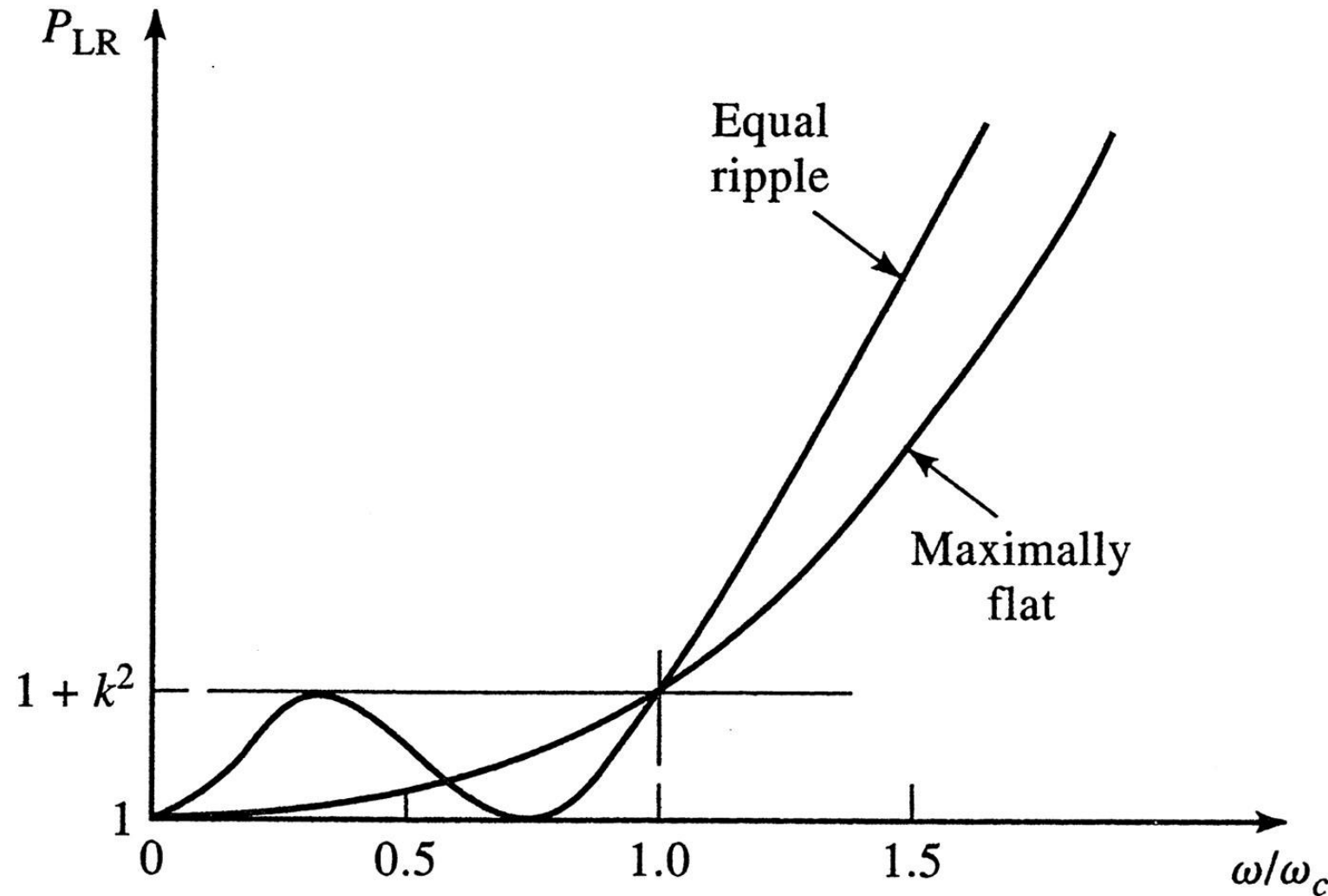
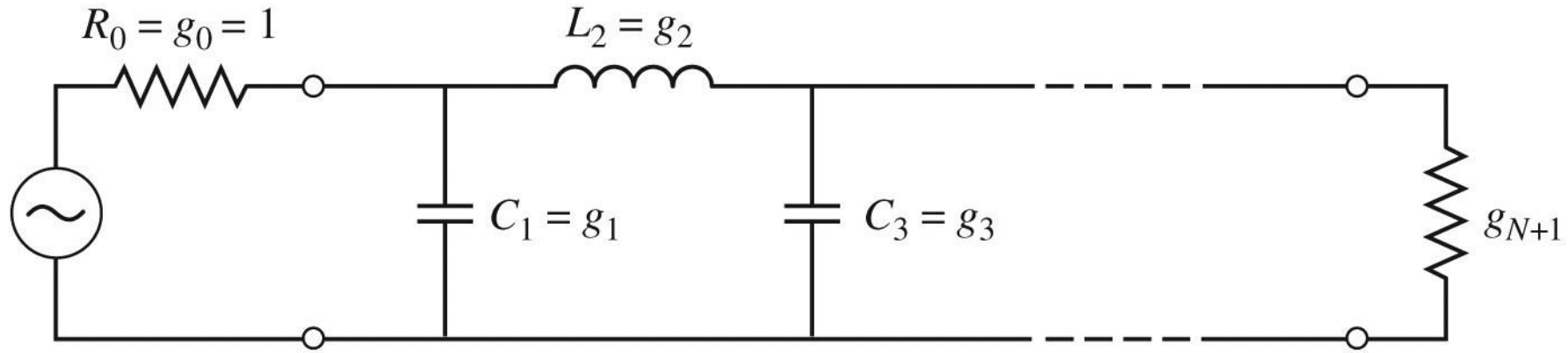


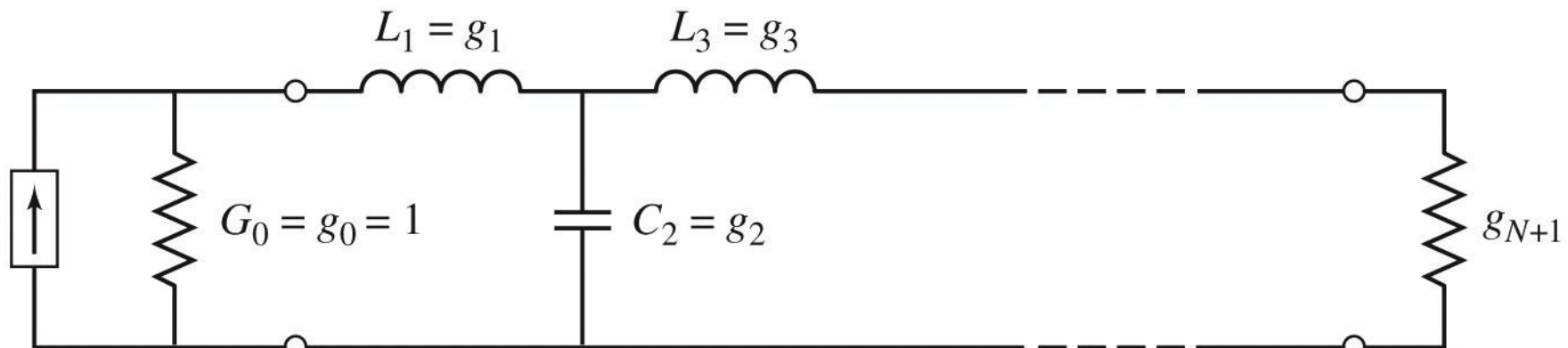
Figure 8.21

© John Wiley & Sons, Inc. All rights reserved.

Filtre prototip



(a)



(b)

Filtre prototip

- Filtrele prototip sunt filtre care implementeaza :
 - filtru FTJ
 - frecventa de taiere $\omega_0 = 1 \text{ rad/s}$ ($f_0 = 0.159 \text{ Hz}$) (**!C11 X**)
 - conectate la intrare la o rezistenta $R = 1$
- Numarul total de elemente reactive (L/C) este ordinul filtrului
- Elementele se introduc in alternanta L serie / C paralel
- Exista doua filtre prototip care ofera acelasi raspuns, o varianta care incepe cu C, o varianta care incepe cu L

Filtru prototip

- Se definesc parametrii g_i , $i=0, N+1$

$$g_0 = \begin{cases} rezistenta generatorului R'_0 daca g_1 = C'_1 \\ conductanta generatorului G'_0 daca g_1 = L'_1 \end{cases}$$

$$g_k|_{k=1,N} = \begin{cases} inductanta unei bobine serie \\ capacitatea unui condensator paralel \end{cases}$$

$$g_{N+1} = \begin{cases} rezistenta de sarcina R'_{N+1} daca g_N = C'_{N+1} \\ conductanta de sarcina G'_{N+1} daca g_N = L'_{N+1} \end{cases}$$

Filtru prototip maxim plat

- Calculul elementelor filtrului

$$g_0 = 1$$

$$g_k = 2 \cdot \sin \left[\frac{(2 \cdot k - 1) \cdot \pi}{2 \cdot N} \right] , \quad k = 1, N$$

$$g_{N+1} = 1$$

Filtru prototip echiriplu

■ Calculul elementelor filtrului (iterativ)

$$a_k = \sin\left[\frac{(2 \cdot k - 1) \cdot \pi}{2 \cdot N}\right] , \quad k = 1, N \qquad \beta = \ln\left(\coth\frac{L_{Ar}}{17,37}\right)$$

$$\gamma = \sinh\left(\frac{\beta}{2 \cdot N}\right) \qquad b_k = \gamma^2 + \sin^2\left(\frac{k \cdot \pi}{N}\right) , \quad k = 1, N$$

$$g_1 = \frac{2 \cdot a_1}{\gamma}$$

$$g_k = \frac{4 \cdot a_{k-1} \cdot a_k}{b_{k-1} \cdot g_{k-1}} , \quad k = 1, N$$

$$g_{N+1} = \begin{cases} 1 & \text{pentru } N = \text{impar} \\ \coth^2\left(\frac{\beta}{4}\right) & \text{pentru } N = \text{par} \end{cases}$$

Filtru prototip maxim plat

TABLE 8.3 Element Values for Maximally Flat Low-Pass Filter Prototypes ($g_0 = 1$, $\omega_c = 1$, $N = 1$ to 10)

N	g_1	g_2	g_3	g_4	g_5	g_6	g_7	g_8	g_9	g_{10}	g_{11}
1	2.0000	1.0000									
2	1.4142	1.4142	1.0000								
3	1.0000	2.0000	1.0000	1.0000							
4	0.7654	1.8478	1.8478	0.7654	1.0000						
5	0.6180	1.6180	2.0000	1.6180	0.6180	1.0000					
6	0.5176	1.4142	1.9318	1.9318	1.4142	0.5176	1.0000				
7	0.4450	1.2470	1.8019	2.0000	1.8019	1.2470	0.4450	1.0000			
8	0.3902	1.1111	1.6629	1.9615	1.9615	1.6629	1.1111	0.3902	1.0000		
9	0.3473	1.0000	1.5321	1.8794	2.0000	1.8794	1.5321	1.0000	0.3473	1.0000	
10	0.3129	0.9080	1.4142	1.7820	1.9754	1.9754	1.7820	1.4142	0.9080	0.3129	1.0000

Source: Reprinted from G. L. Matthaei, L. Young, and E. M. T. Jones, *Microwave Filters, Impedance-Matching Networks, and Coupling Structures*, Artech House, Dedham, Mass., 1980, with permission.

TABLE 8.4 Element Values for Equal-Ripple Low-Pass Filter Prototypes ($g_0 = 1$, $\omega_c = 1$, $N = 1$ to 10 , 0.5 dB and 3.0 dB ripple)

0.5 dB Ripple											
N	g_1	g_2	g_3	g_4	g_5	g_6	g_7	g_8	g_9	g_{10}	g_{11}
1	0.6986	1.0000									
2	1.4029	0.7071	1.9841								
3	1.5963	1.0967	1.5963	1.0000							
4	1.6703	1.1926	2.3661	0.8419	1.9841						
5	1.7058	1.2296	2.5408	1.2296	1.7058	1.0000					
6	1.7254	1.2479	2.6064	1.3137	2.4758	0.8696	1.9841				
7	1.7372	1.2583	2.6381	1.3444	2.6381	1.2583	1.7372	1.0000			
8	1.7451	1.2647	2.6564	1.3590	2.6964	1.3389	2.5093	0.8796	1.9841		
9	1.7504	1.2690	2.6678	1.3673	2.7239	1.3673	2.6678	1.2690	1.7504	1.0000	
10	1.7543	1.2721	2.6754	1.3725	2.7392	1.3806	2.7231	1.3485	2.5239	0.8842	1.9841
3.0 dB Ripple											
N	g_1	g_2	g_3	g_4	g_5	g_6	g_7	g_8	g_9	g_{10}	g_{11}
1	1.9953	1.0000									
2	3.1013	0.5339	5.8095								
3	3.3487	0.7117	3.3487	1.0000							
4	3.4389	0.7483	4.3471	0.5920	5.8095						
5	3.4817	0.7618	4.5381	0.7618	3.4817	1.0000					
6	3.5045	0.7685	4.6061	0.7929	4.4641	0.6033	5.8095				
7	3.5182	0.7723	4.6386	0.8039	4.6386	0.7723	3.5182	1.0000			
8	3.5277	0.7745	4.6575	0.8089	4.6990	0.8018	4.4990	0.6073	5.8095		
9	3.5340	0.7760	4.6692	0.8118	4.7272	0.8118	4.6692	0.7760	3.5340	1.0000	
10	3.5384	0.7771	4.6768	0.8136	4.7425	0.8164	4.7260	0.8051	4.5142	0.6091	5.8095

Source: Reprinted from G. L. Matthaei, L. Young, and E. M. T. Jones, *Microwave Filters, Impedance-Matching Networks, and Coupling Structures*, Artech House, Dedham, Mass., 1980, with permission.

Transformari ale filtrului prototip

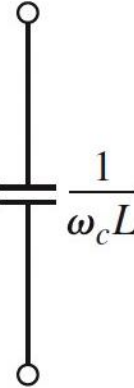
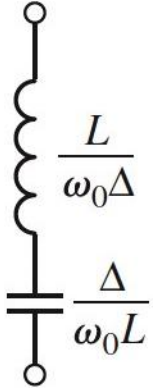
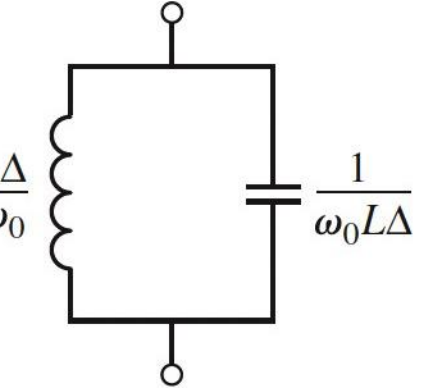
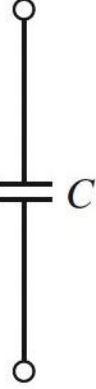
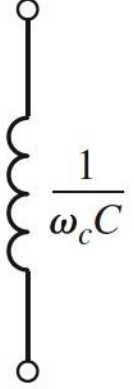
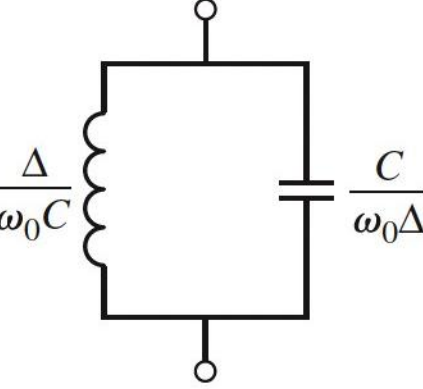
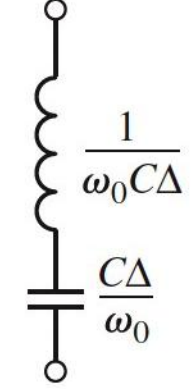
Low-pass	High-pass	Bandpass	Bandstop
 L	 $\frac{1}{\omega_c L}$	 $\frac{L}{\omega_0 \Delta}$ $\frac{\Delta}{\omega_0 L}$	 $\frac{L \Delta}{\omega_0}$ $\frac{1}{\omega_0 L \Delta}$
 C	 $\frac{1}{\omega_c C}$	 $\frac{\Delta}{\omega_0 C}$ $\frac{C}{\omega_0 \Delta}$	 $\frac{1}{\omega_0 C \Delta}$ $\frac{C \Delta}{\omega_0}$

Table 8.6

© John Wiley & Sons, Inc. All rights reserved.

Exemplu

- Să se proiecteze un filtru trece-bandă de ordinul 3, având riplurile în bandă de 0.5 dB. Frecvența centrală a filtrului să fie de 1 GHz. Banda să fie de 10%, și impedanța de 50Ω .

$$\omega_0 = 2 \cdot \pi \cdot 1 \text{GHz} = 6.283 \cdot 10^9 \text{ rad/s}$$

$$\Delta = 0.1$$

Tabel echiriplu 0.5dB sau relații de calcul:

$$g_1 = 1.5963 = L_1,$$

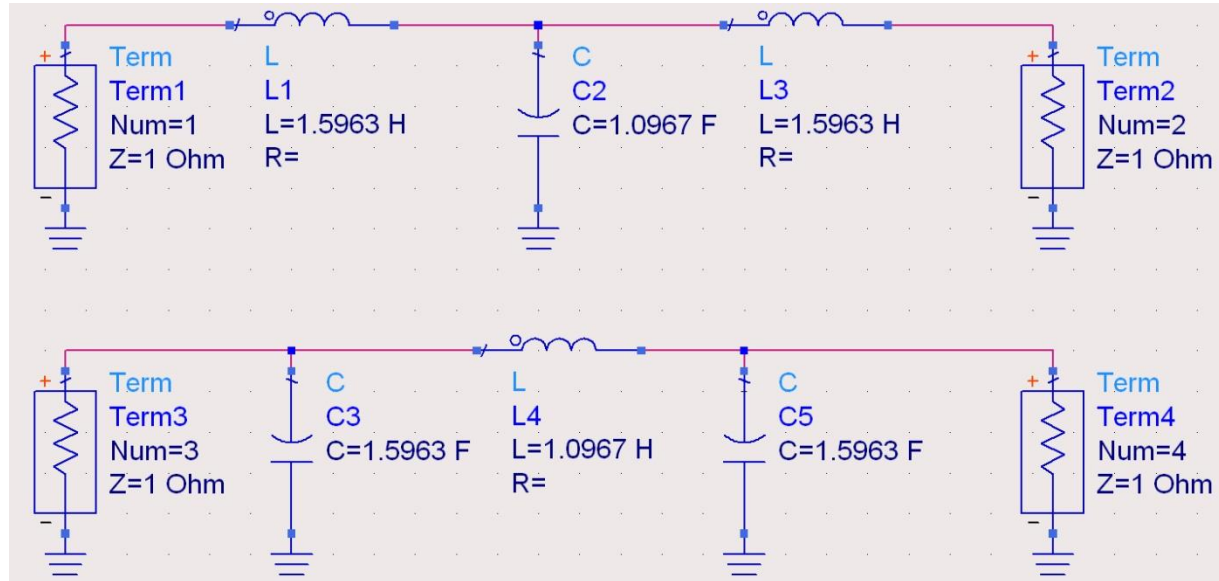
$$g_2 = 1.0967 = C_2,$$

$$g_3 = 1.5963 = L_3,$$

$$g_4 = 1.000 = R_L$$

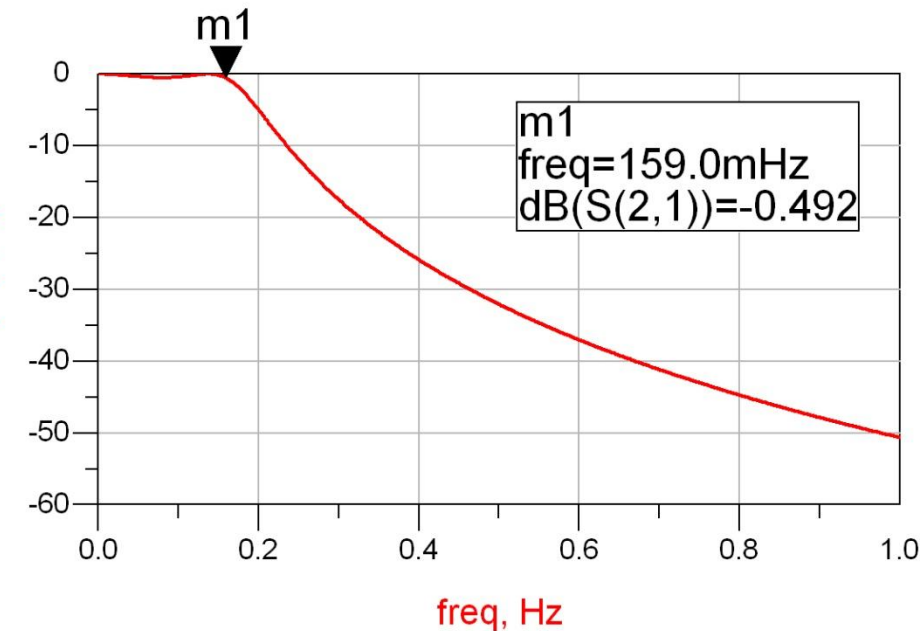
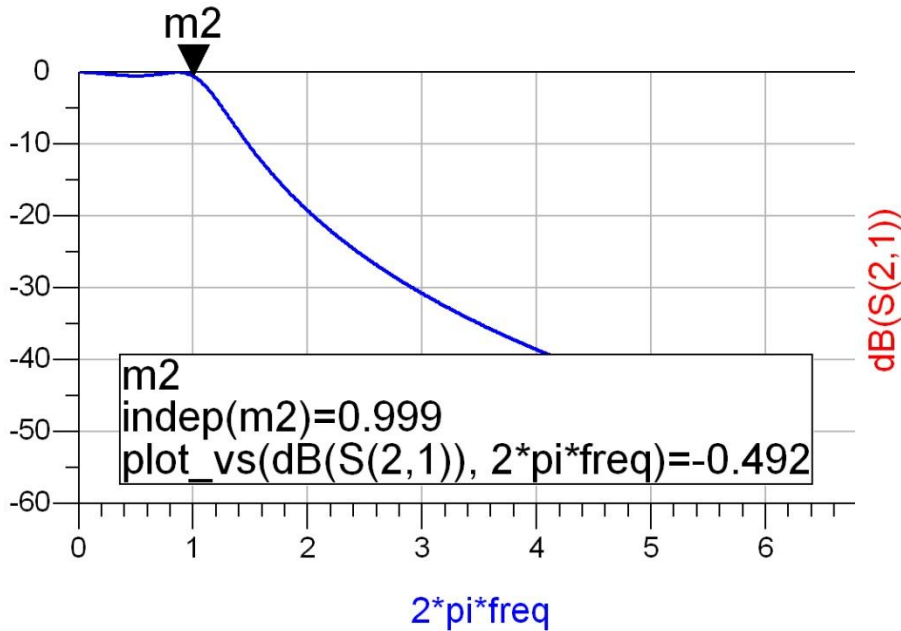
Filtru prototip

- Tabel echiriplu o.5dB sau relatii de calcul:
 - $g_1 = 1.5963 = L_1/C_3$,
 - $g_2 = 1.0967 = C_2/L_4$,
 - $g_3 = 1.5963 = L_3/C_5$,
 - $g_4=1.000 = R_L$



Filtru prototip

- $\omega_o = 1 \text{ rad/s}$ ($f_o = \omega_o / 2\pi = 0.159 \text{ Hz}$)



Scalare frecventa / FTB

$$\omega_0 = 2 \cdot \pi \cdot 1 \text{GHz} = 6.283 \cdot 10^9 \text{rad/s}$$
$$\Delta = \frac{\Delta\omega}{\omega_0} = \frac{\Delta f}{f_0} = 0.1$$
$$R_0 = 50 \Omega$$

$$g_1 = 1.5963 = L_1,$$
$$g_2 = 1.0967 = C_2,$$

$$g_3 = 1.5963 = L_3,$$
$$g_4 = 1.000 = R_L$$

$$L'_1 = \frac{L_1 \cdot R_0}{\Delta \cdot \omega_0} = 127.0 \text{nH}$$

$$C'_1 = \frac{\Delta}{\omega_0 \cdot L_1 \cdot R_0} = 0.199 \text{ pF}$$

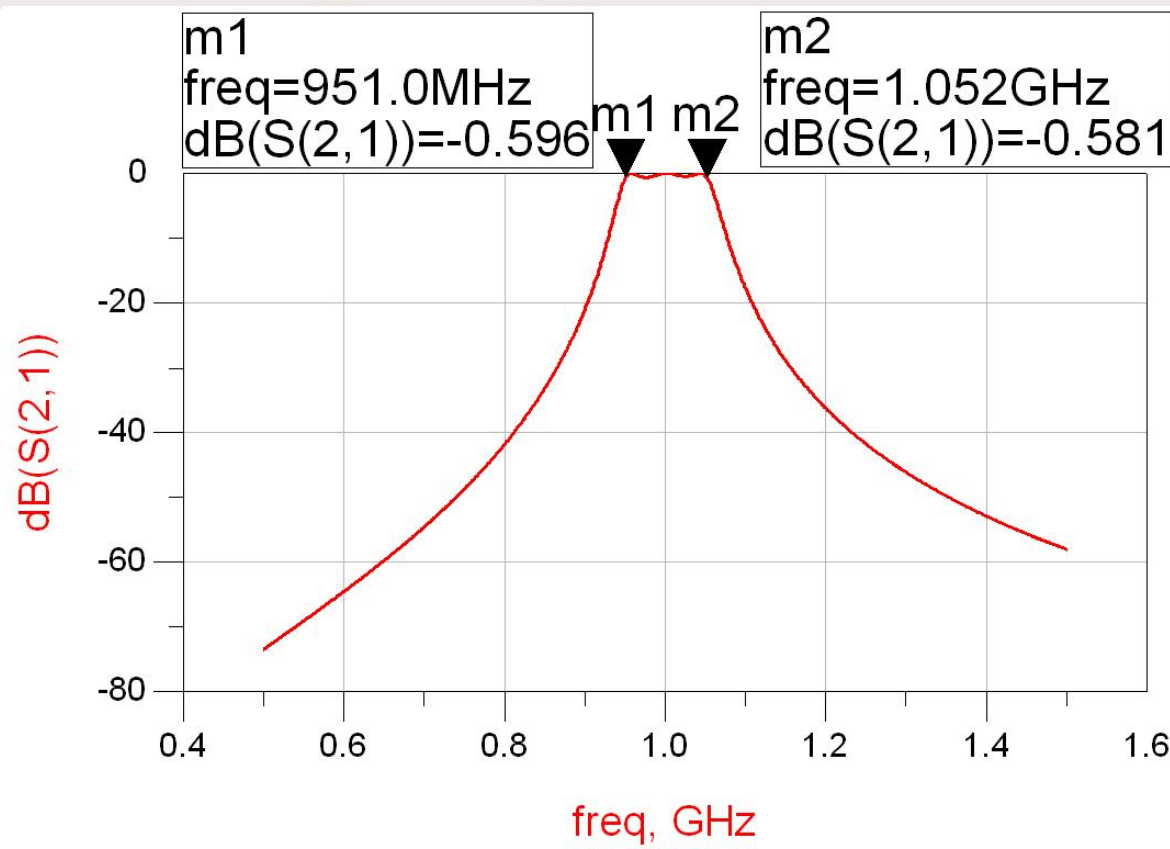
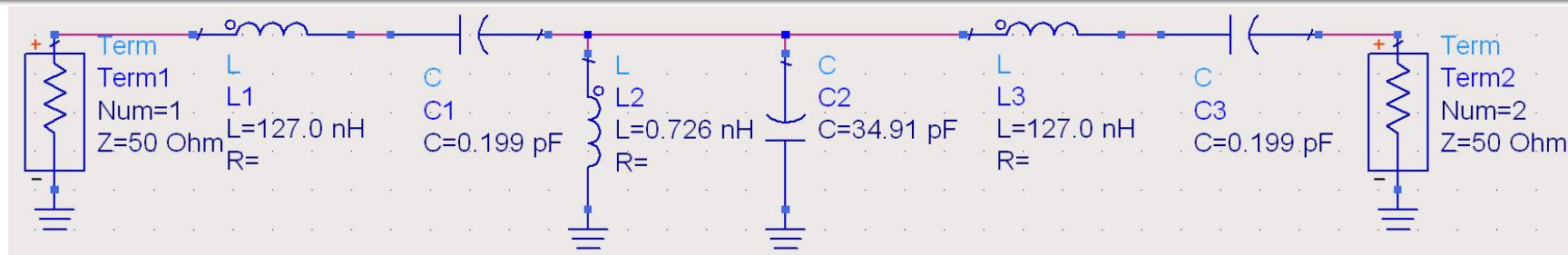
$$L'_2 = \frac{\Delta \cdot R_0}{\omega_0 \cdot C_2} = 0.726 \text{nH}$$

$$C'_2 = \frac{C_2}{\Delta \cdot \omega_0 \cdot R_0} = 34.91 \text{ pF}$$

$$L'_3 = \frac{L_3 \cdot R_0}{\Delta \cdot \omega_0} = 127.0 \text{nH}$$

$$C'_3 = \frac{\Delta}{\omega_0 \cdot L_3 \cdot R_0} = 0.199 \text{ pF}$$

ADS



Continuare

Implementarea filtrelor pentru microunde

Transformarea Richards

- Impedanta vazuta la intrarea unei linii terminate cu Z_L

$$Z_{in} = Z_0 \cdot \frac{Z_L + j \cdot Z_0 \cdot \tan \beta \cdot l}{Z_0 + j \cdot Z_L \cdot \tan \beta \cdot l}$$

- Tehnologic e preferabil ca impedanta de capat sa fie:

- gol ($Z_L = \infty$) $Z_{in,g} = -j \cdot Z_0 \cdot \cot \beta \cdot l$
- scurtcircuit ($Z_L = 0$) $Z_{in,sc} = j \cdot Z_0 \cdot \tan \beta \cdot l$

- Se obtine comportare:

- capacitiva $Z_{in,g} = j \cdot X_C = \frac{1}{j \cdot B_C}$ $Z_0 \leftrightarrow \frac{1}{C}$ $\tan \beta \cdot l \leftrightarrow \omega$
- inductiva $Z_{in,sc} = j \cdot X_L$ $Z_0 \leftrightarrow L$ $\tan \beta \cdot l \leftrightarrow \omega$

Transformarea Richards

- Schimbare de variabila

$$\Omega = \tan \beta \cdot l = \tan \left(\frac{\omega \cdot l}{v_p} \right)$$

- Cu aceasta schimbare de variabila definim

- reactanta unei inductante

$$j \cdot X_L = j \cdot \Omega \cdot L = j \cdot L \cdot \tan \beta \cdot l$$

- susceptanta unei capacitatii

$$j \cdot B_C = j \cdot \Omega \cdot C = j \cdot C \cdot \tan \beta \cdot l$$

- Filtrul echivalent in Ω are frecventa de taiere la:

$$\Omega = 1 = \tan \beta \cdot l \quad \rightarrow \quad \beta \cdot l = \frac{\pi}{4} \quad \rightarrow \quad l = \frac{\lambda}{8}$$

Transformarea Richards

- Alegand sectiunile de linie in gol sau scurtcircuit sa fie $\lambda/8$ la frecventa de taiere dorita (ω_c) si impedantele caracteristice corespunzatoare (L/C) vom obtine foarte precis la frecvente in jurul lui ω_c o comportare similara cu a filtrului prototip
 - La frecvente departate de ω_c comportarea filtrului nu va mai fi identica cu a prototipului (in situatii specifice trebuie **verificata** o comportare potrivita cu tipul de filtru dorit)
 - Scalarea in frecventa se simplifica: alegerea lungimii fizice pentru indeplinirea lungimii electrice $\lambda/8$ la frecventa dorita
- Toate sectiunile de linii vor avea lungimi electrice egale ($\lambda/8$) si lungimi fizice comparabile, deci liniile se numesc linii **comensurabile**

Transformarea Richards

- la frecventa $\omega=2\cdot\omega_c$ lungimile liniilor sunt $\lambda/4$

$$l = \frac{\lambda}{4} \Rightarrow \beta \cdot l = \frac{\pi}{2} \Rightarrow \tan \beta \cdot l \rightarrow \infty$$

- apare un pol suplimentar de atenuare la $2\cdot\omega_c$ (FTJ)
 - inductantele (de obicei in serie) $Z_{in,sc} = j \cdot Z_0 \cdot \tan \beta \cdot l \rightarrow \infty$
 - capacitatile (de obicei in paralel) $Z_{in,g} = -j \cdot Z_0 \cdot \cot \beta \cdot l \rightarrow 0$

Transformarea Richards

- periodicitatea functiei tangenta genereaza periodicitatea raspunsului in frecventa al circuitelor cu linii
 - raspunsul filtrului se repeta la fiecare $4 \cdot \omega_c$

$$\tan(\alpha + \pi) = \tan \alpha$$

$$\beta \cdot l \Big|_{\omega=\omega_c} = \frac{\pi}{4} \Rightarrow \frac{\omega_c \cdot l}{v_p} = \frac{\pi}{4} \Rightarrow \pi = \frac{(4 \cdot \omega_c) \cdot l}{v_p}$$

$$Z_{in}(\omega) = Z_{in}(\omega + 4 \cdot \omega_c) \Rightarrow P_{LR}(\omega) = P_{LR}(\omega + 4 \cdot \omega_c)$$

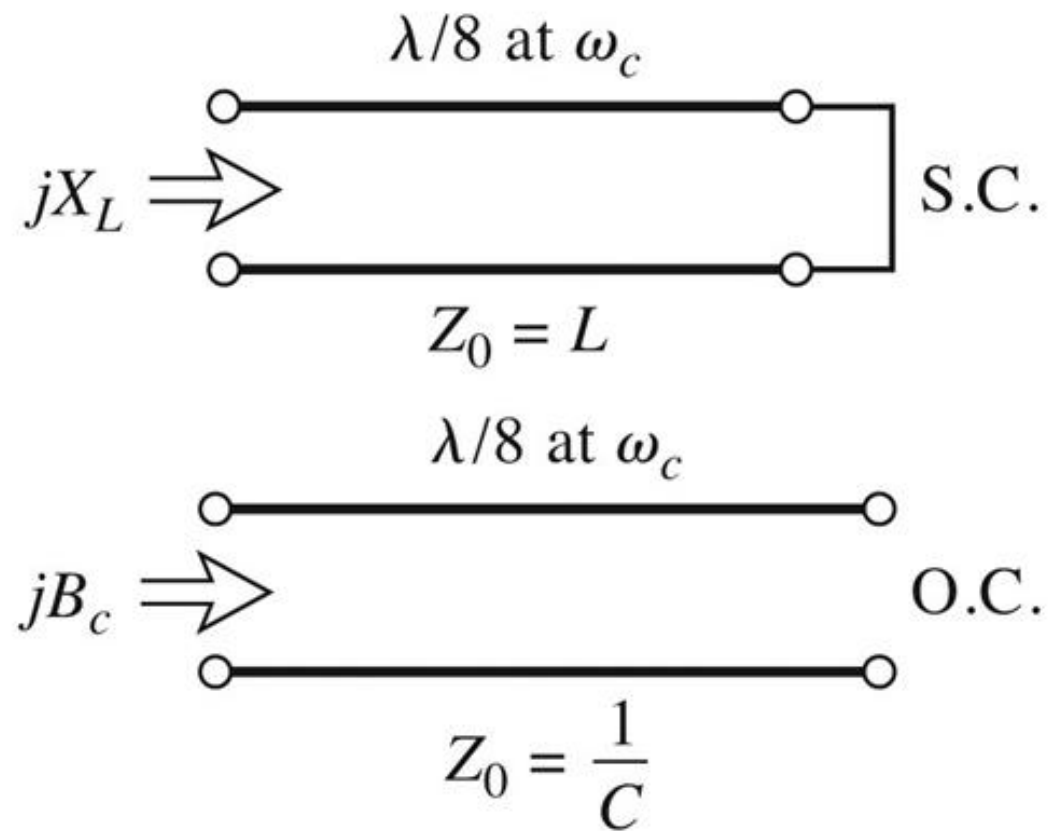
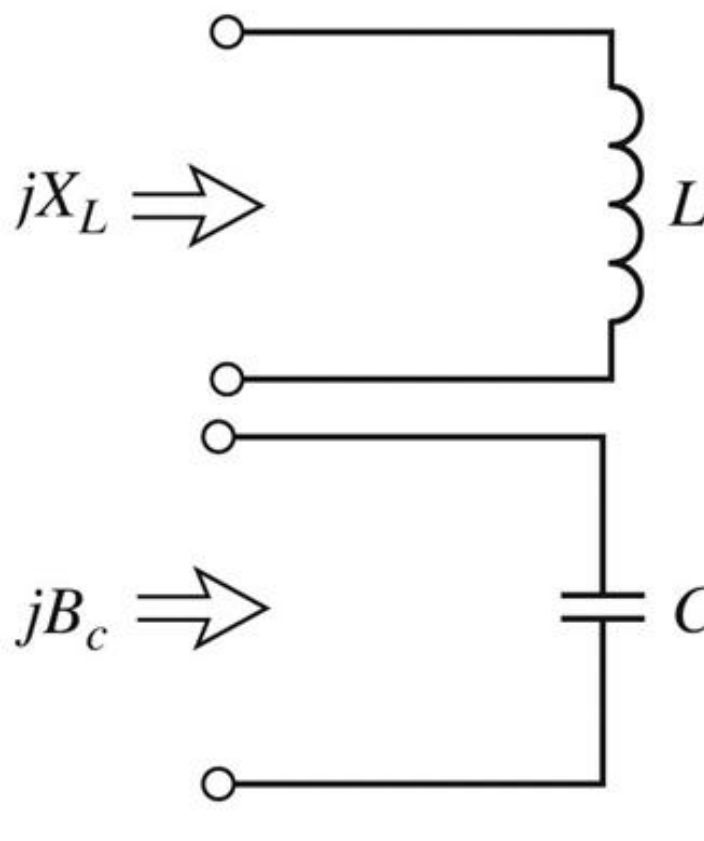
$$P_{LR}(4 \cdot \omega_c) = P_{LR}(0)$$

$$P_{LR}(3 \cdot \omega_c) = P_{LR}(-\omega_c)$$

$$P_{LR}(5 \cdot \omega_c) = P_{LR}(\omega_c)$$

Transformarea Richards

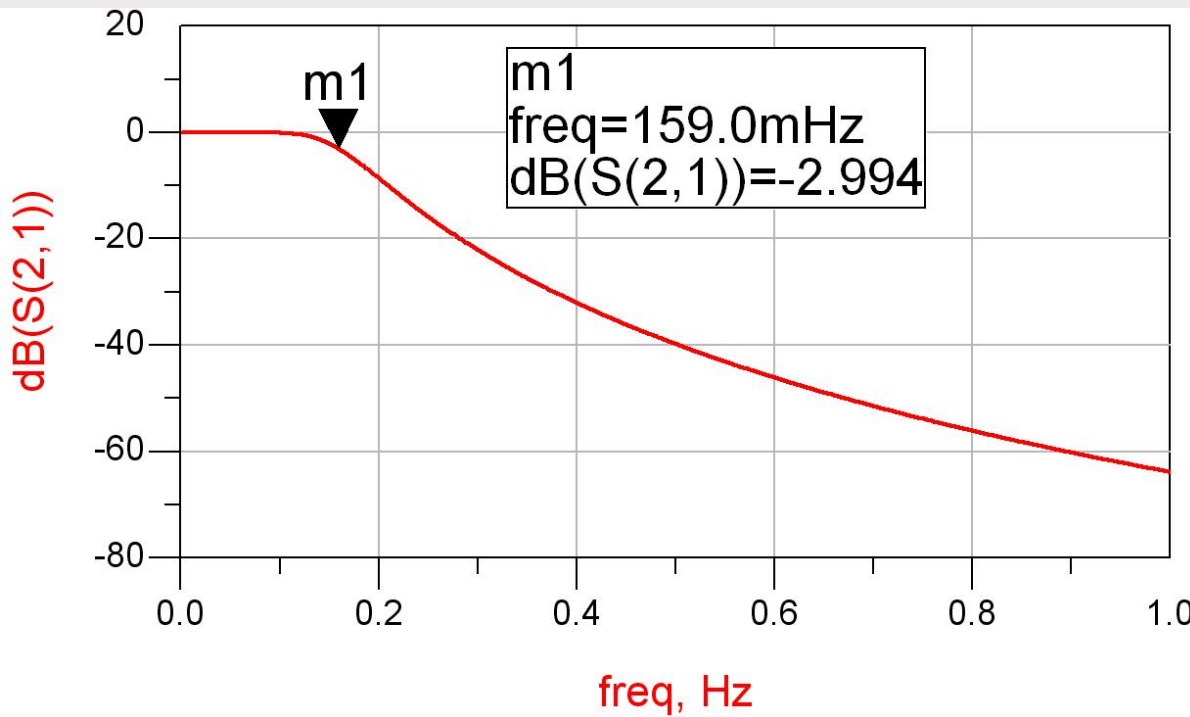
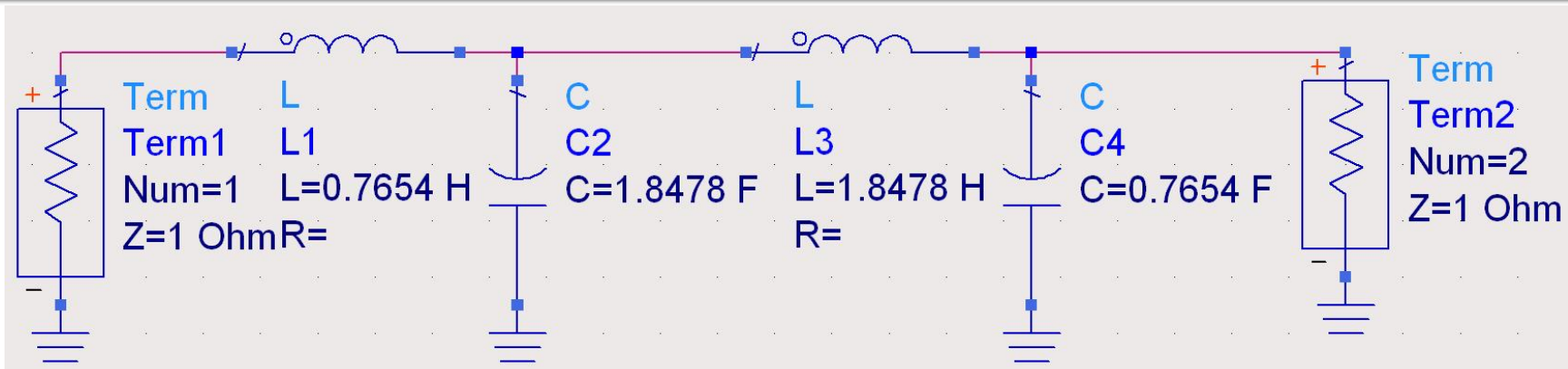
- permite obtinerea cu sectiuni de linii a inductantelor si capacitatilor **dupa** scalarea prototipului pentru functia corespunzatoare (FTJ/FTS/FTB /FOB)



Exemplu

- Filtru trece jos de ordinul 4, cu frecventa de tajere de 4 GHz, de tip maxim plat (care sa functioneze pe 50Ω la intrare si iesire)
- Tabel maxim plat sau relatii de calcul:
 - $g_1 = 0.7654 = L_1$
 - $g_2 = 1.8478 = C_2$
 - $g_3 = 1.8478 = L_3$
 - $g_4 = 0.7654 = C_4$
 - $g_5 = 1$ (**nu** are nevoie de adaptare suplimentara la iesire – apare la filtrele de ordin par echiriplu)

Prototip FTJ



Elemente concentrate

$$\omega_c = 2 \cdot \pi \cdot 4 \text{GHz} = 2.5133 \cdot 10^{10} \text{rad/s}$$

$$g_1 = 0.7654 = L_1,$$

$$g_2 = 1.8478 = C_2,$$

$$g_3 = 1.8478 = L_3,$$

$$g_4 = 0.7654 = C_4,$$

$$g_5 = 1 = RL$$

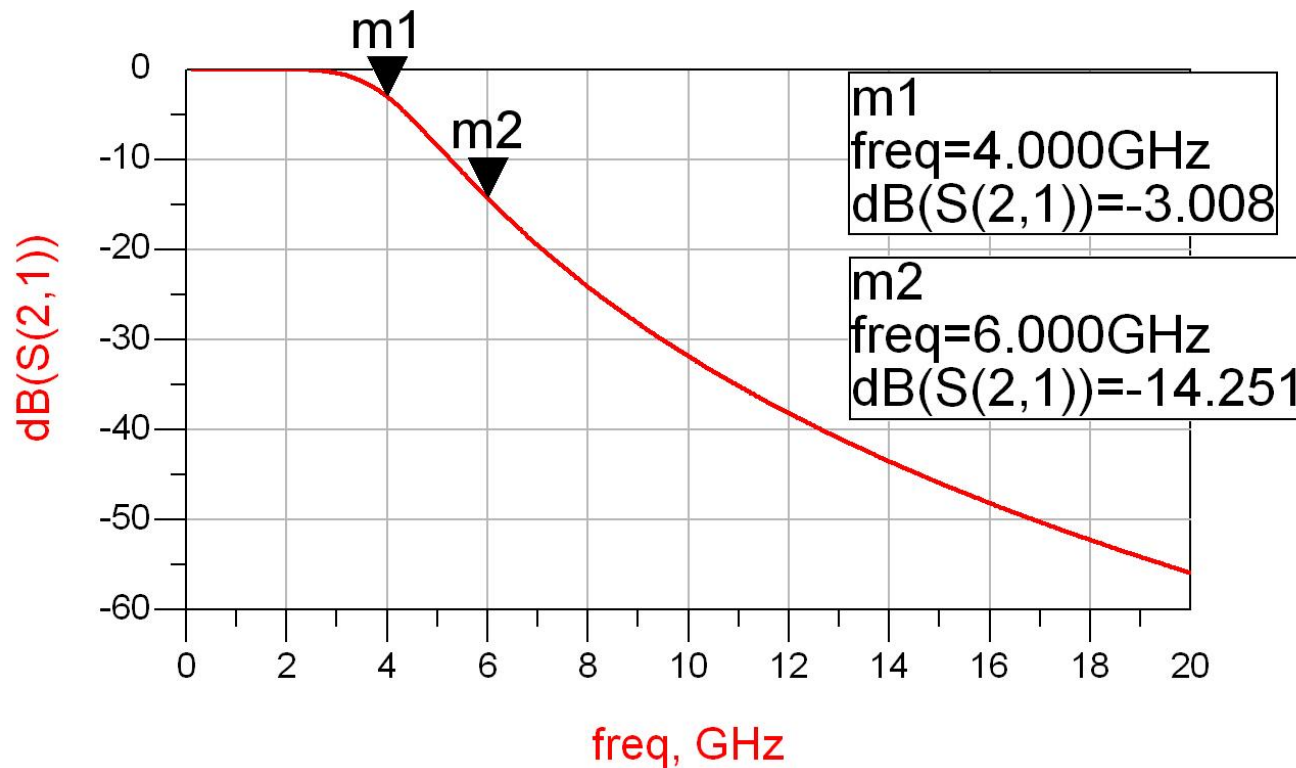
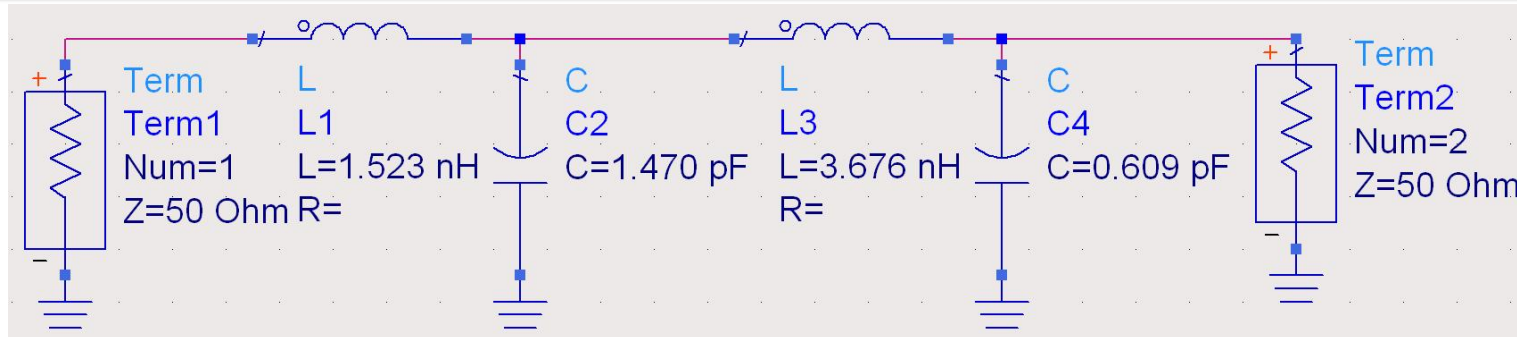
$$L'_1 = \frac{R_0 \cdot L_1}{\omega_c} = 1.523 \text{nH}$$

$$C'_2 = \frac{C_2}{R_0 \cdot \omega_c} = 1.470 \text{ pF}$$

$$L'_3 = \frac{R_0 \cdot L_3}{\omega_c} = 3.676 \text{nH}$$

$$C'_4 = \frac{C_4}{R_0 \cdot \omega_c} = 0.609 \text{ pF}$$

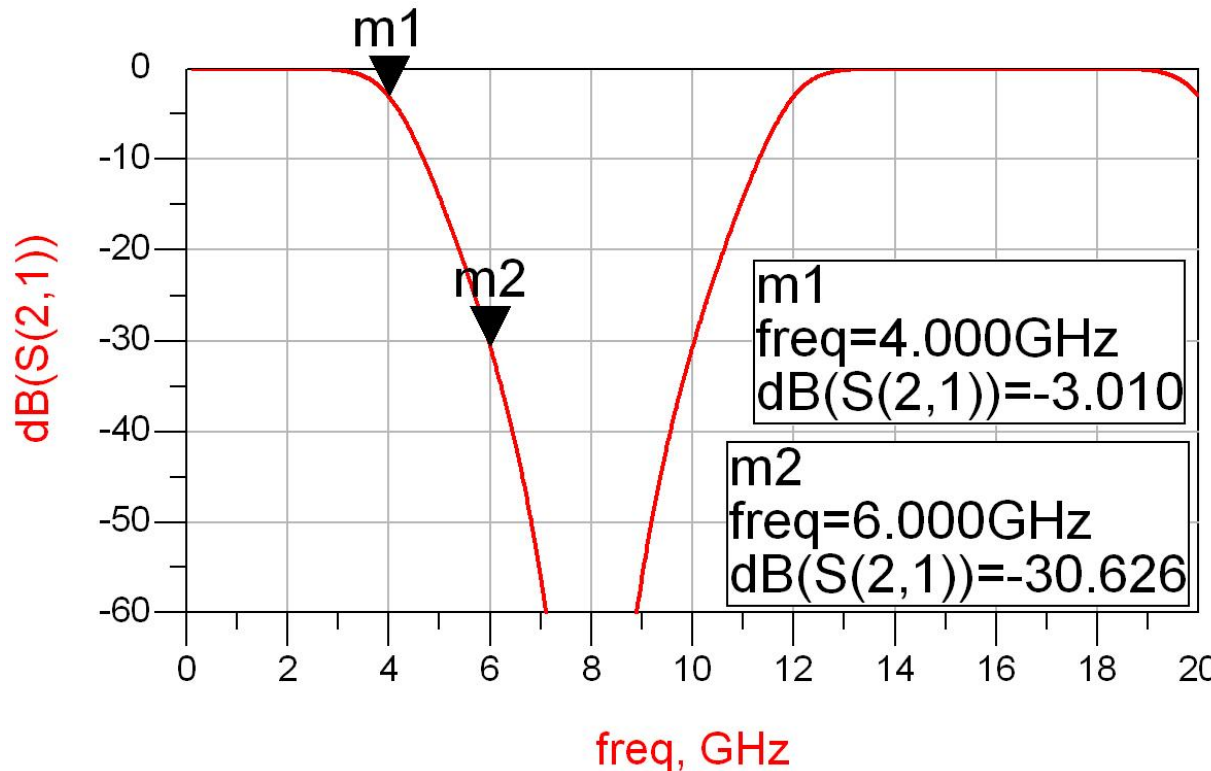
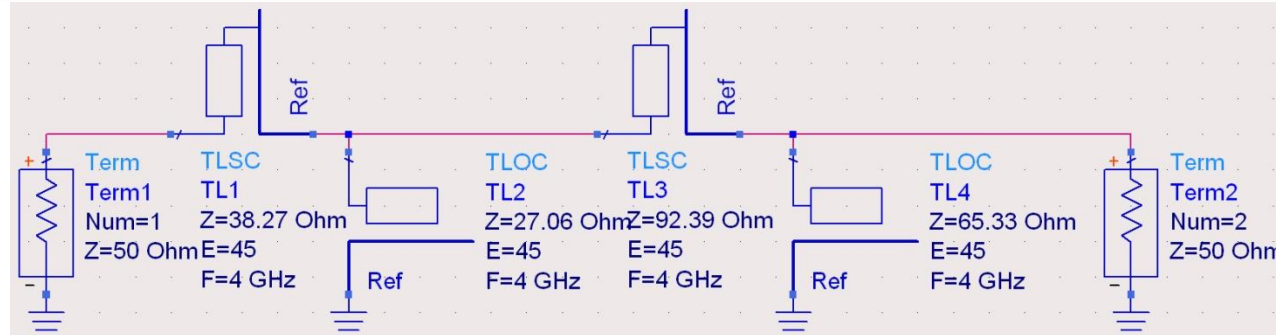
Elemente concentrate – ADS



Transformarea Richards

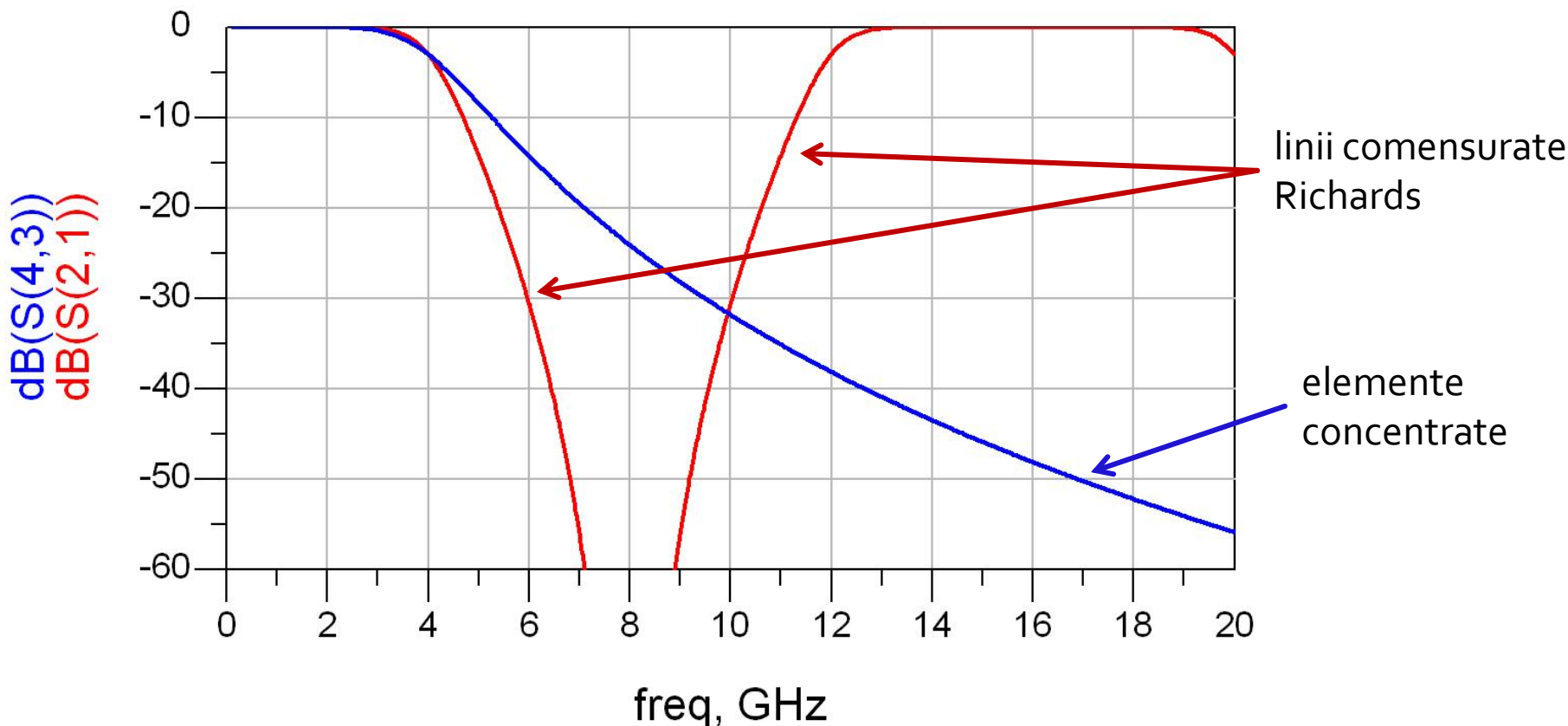
- Parametrii filtrului prototip:
 - $g_1 = 0.7654 = L_1$
 - $g_2 = 1.8478 = C_2$
 - $g_3 = 1.8478 = L_3$
 - $g_4 = 0.7654 = C_4$
- Impedantele raportate ale liniilor
 - $z_1 = 0.7654 = \text{serie / scurt circuit}$
 - $z_2 = 1 / 1.8478 = 0.5412 = \text{paralel / gol}$
 - $z_3 = 1.8478 = \text{serie / scurt circuit}$
 - $z_4 = 1 / 0.7654 = 1.3065 = \text{paralel / gol}$
- Scalarea in impedanta presupune inmultirea cu $Z_0 = 50\Omega$
- Toate liniile au lungimea $\lambda/8$ (lungime electrica 45°) la 4GHz

Transformarea Richards – ADS



Transformarea Richards

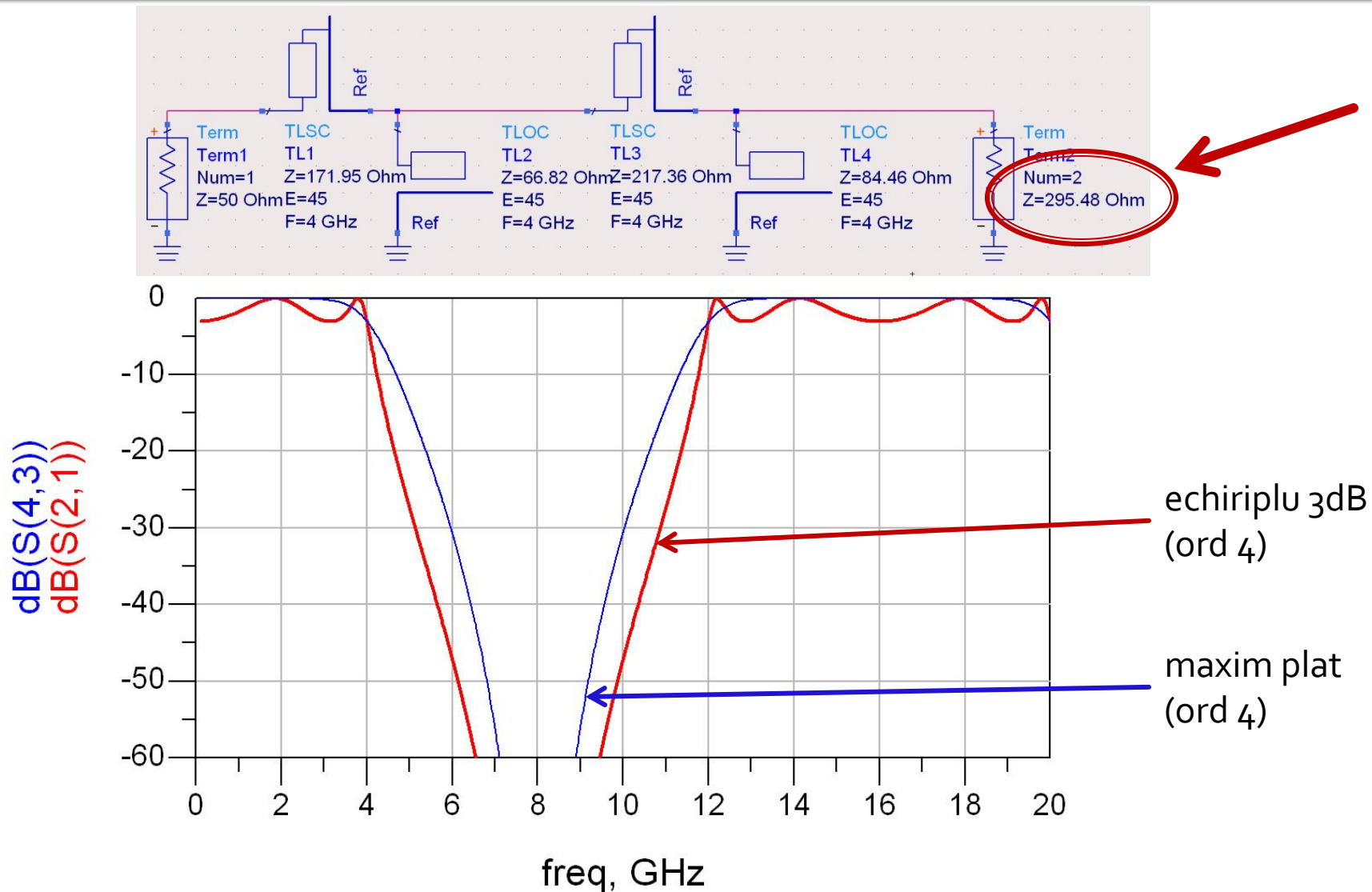
- Filtrele realizate cu transformarea Richards
 - beneficiaza de polul suplimentar de atenuare $2 \cdot \omega_c$
 - au dezavantajul periodicitatii in frecventa, de obicei se prevede un filtru trece jos suplimentar neperiodic daca e necesar



Observatie: ordin par/echiriplu

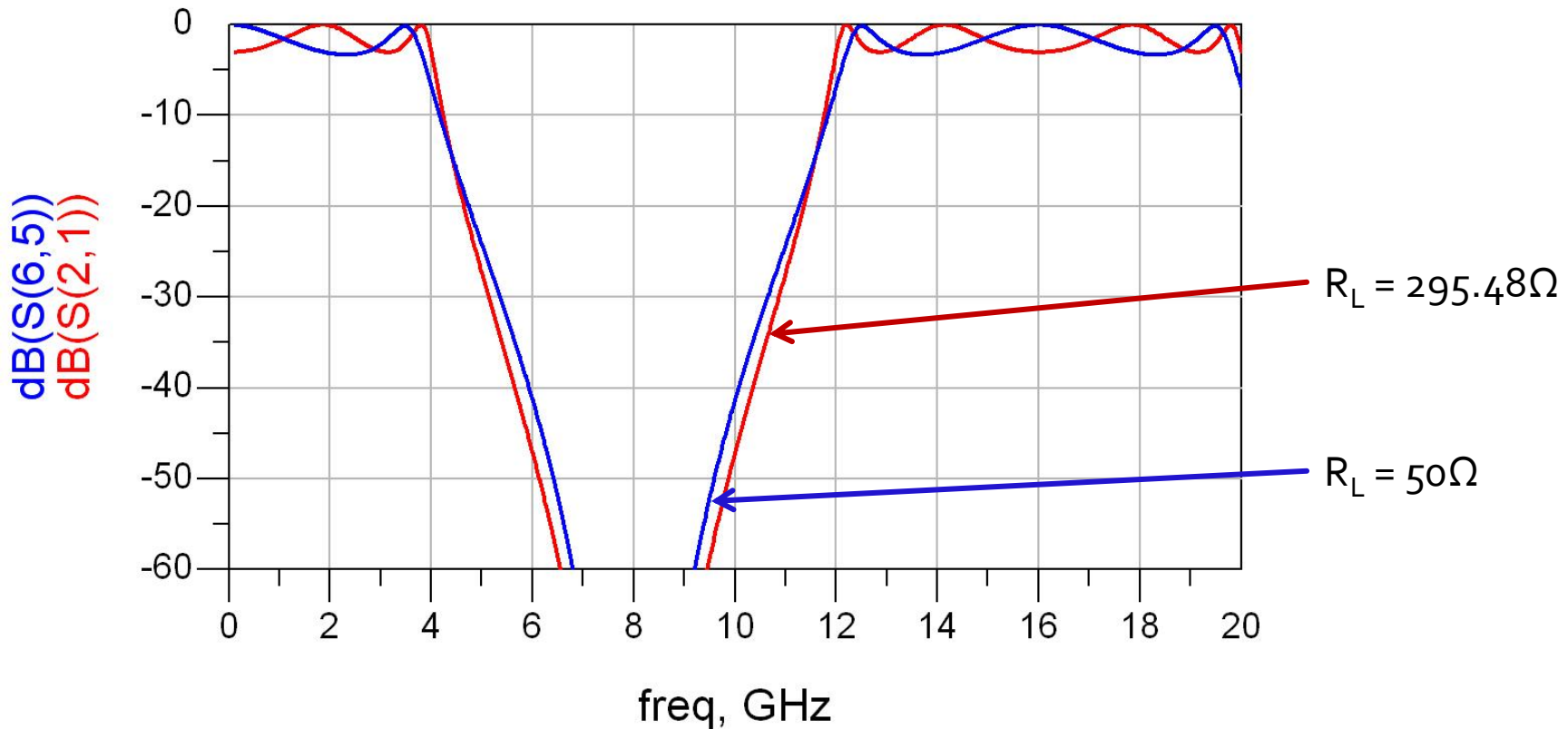
- Acelasi filtru, echiriplu 3dB
- Tabel echiriplu 3dB sau relatii de calcul:
 - $g_1 = 3.4389 = L_1$
 - $g_2 = 0.7483 = C_2$
 - $g_3 = 4.3471 = L_3$
 - $g_4 = 0.5920 = C_4$
 - $g_5 = 5.8095 = R_L$
- Impedantele liniilor
 - $Z_1 = 3.4389 \cdot 50\Omega = 171.945\Omega$ serie / scurt circuit
 - $Z_2 = 50\Omega / 0.7483 = 66.818\Omega$ = paralel / gol
 - $Z_3 = 4.3471 \cdot 50\Omega = 217.355\Omega$ serie / scurt circuit
 - $Z_4 = 50\Omega / 0.5920 = 84.459\Omega$ = paralel / gol
 - $R_L = 5.8095 \cdot 50\Omega = 295.475\Omega$ = sarcina

Ordin par/echiriplu – ADS



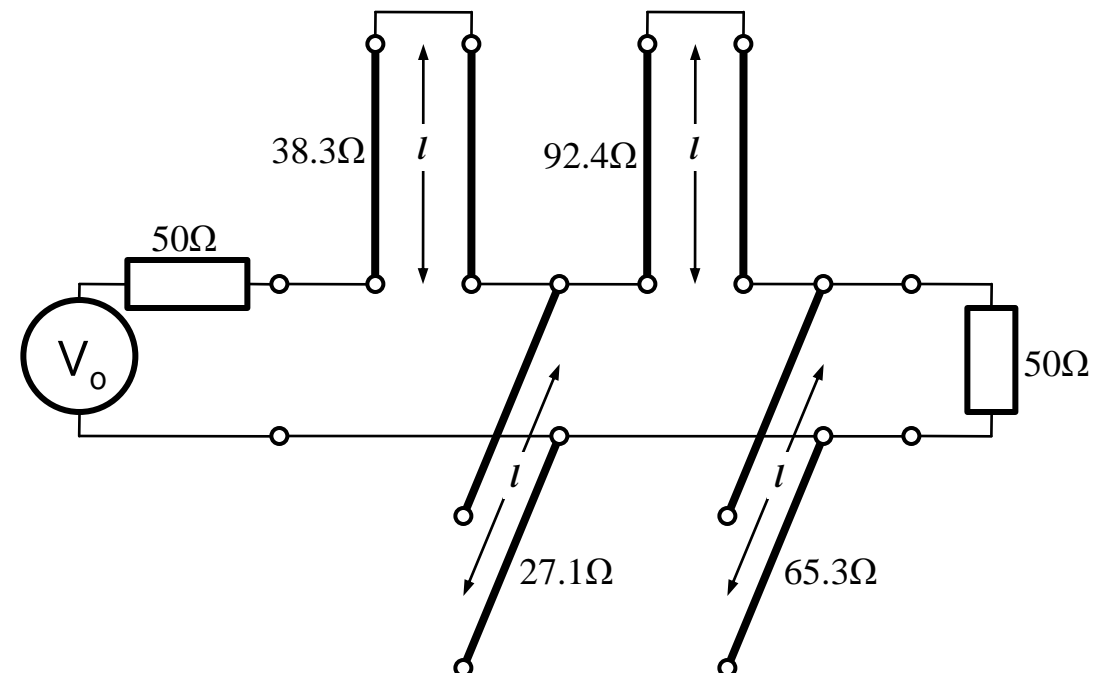
Observatie: ordin par/echiriplu

- Filtrele echiriplu au nevoie de adaptare la ieșire spre 50Ω pentru a functiona precis.
Exemplu:



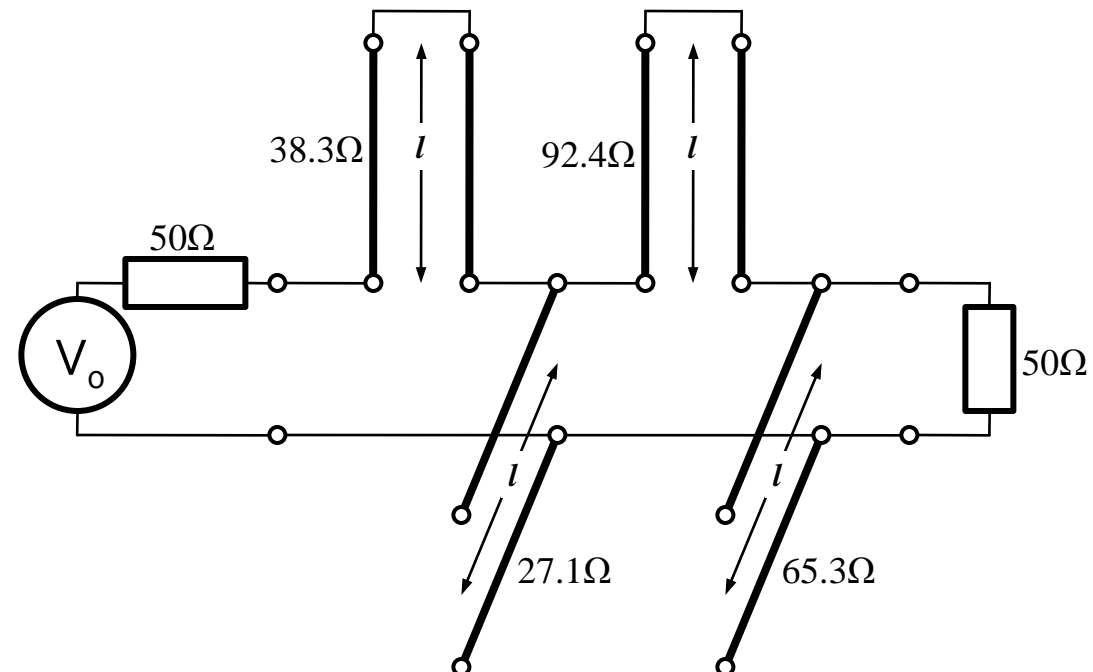
Identitatile Kuroda

- Filtrele implementate cu transformarea Richards au anumite dezavantaje in ceea ce priveste implementarea practica
- Identitatile/Transformarile Kuroda pot fi utilizate pentru a elimina o parte din aceste dezavantaje
- Se utilizeaza sectiuni de linie suplimentare pentru a obtine sisteme mai simplu de implementat in practica
- Liniile suplimentare se numesc elemente unitare si au lungimi de $\lambda/8$ la frecventa de taiere dorita (ω_c) fiind comensurate cu celelalte sectiuni de linie



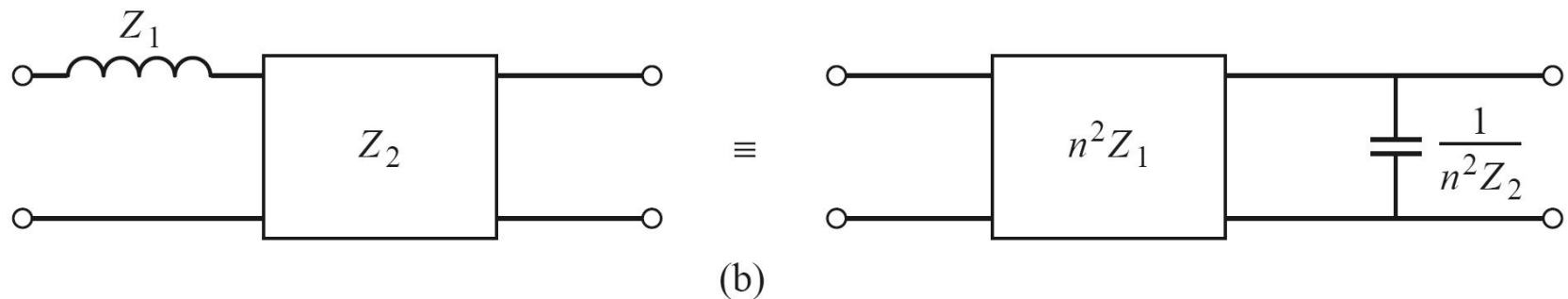
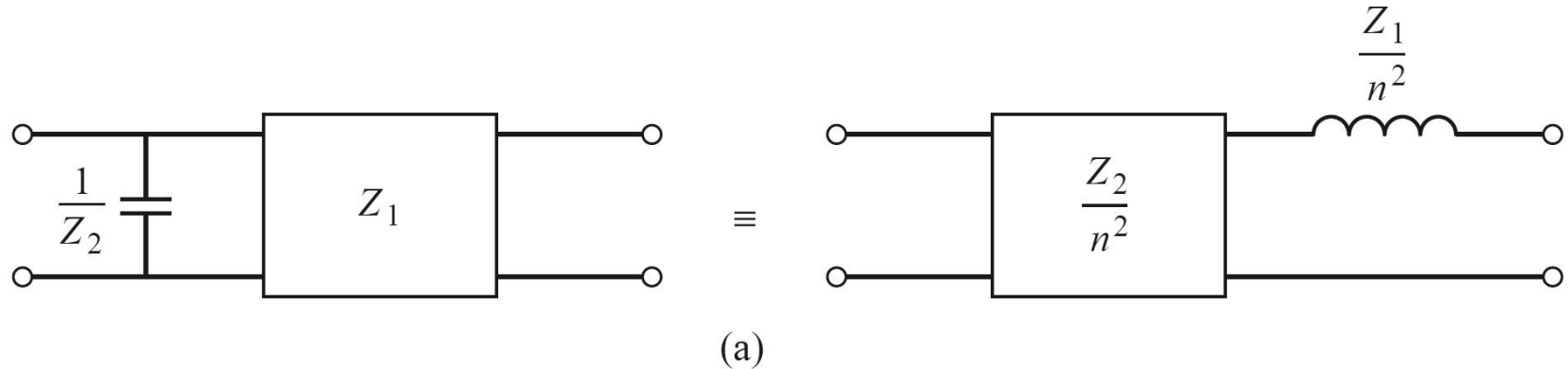
Identitatile Kuroda

- Identitatile Kuroda pot fi utilizate pentru a realiza urmatoarele operatii:
 - Separarea fizica a diferitelor stub-uri
 - Transformarea stub-urilor serie in stub-uri paralel sau invers
 - Obtinerea unor impedante caracteristice mai "realizabile" pentru linii ($\sim 50\Omega$)



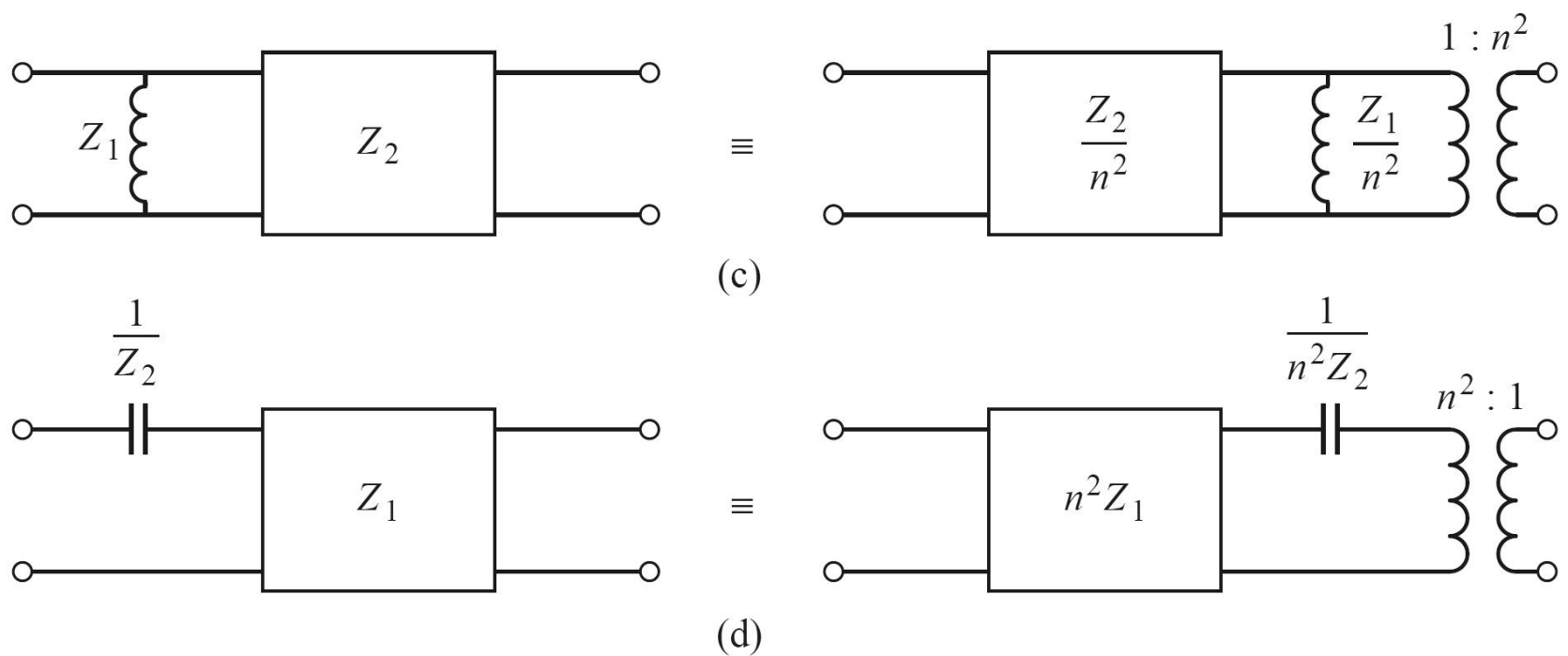
Identitatele Kuroda

- 4 echivalente de circuit



Identitatele Kuroda

- 4 echivalente de circuit



Identitatele Kuroda

- În toate echivalentele de scheme Kuroda:
 - n :
$$n^2 = 1 + \frac{Z_2}{Z_1}$$
 - inductantele și capacitatile reprezintă stub-uri scurtcircuitate sau în gol (obținute prin transformarea Richards, de lungime $\lambda/8$)
 - blocurile reprezintă elemente unitare (linii de transmisie de impedanță caracteristică indicată și lungime $\lambda/8$)

Prima Identitate Kuroda

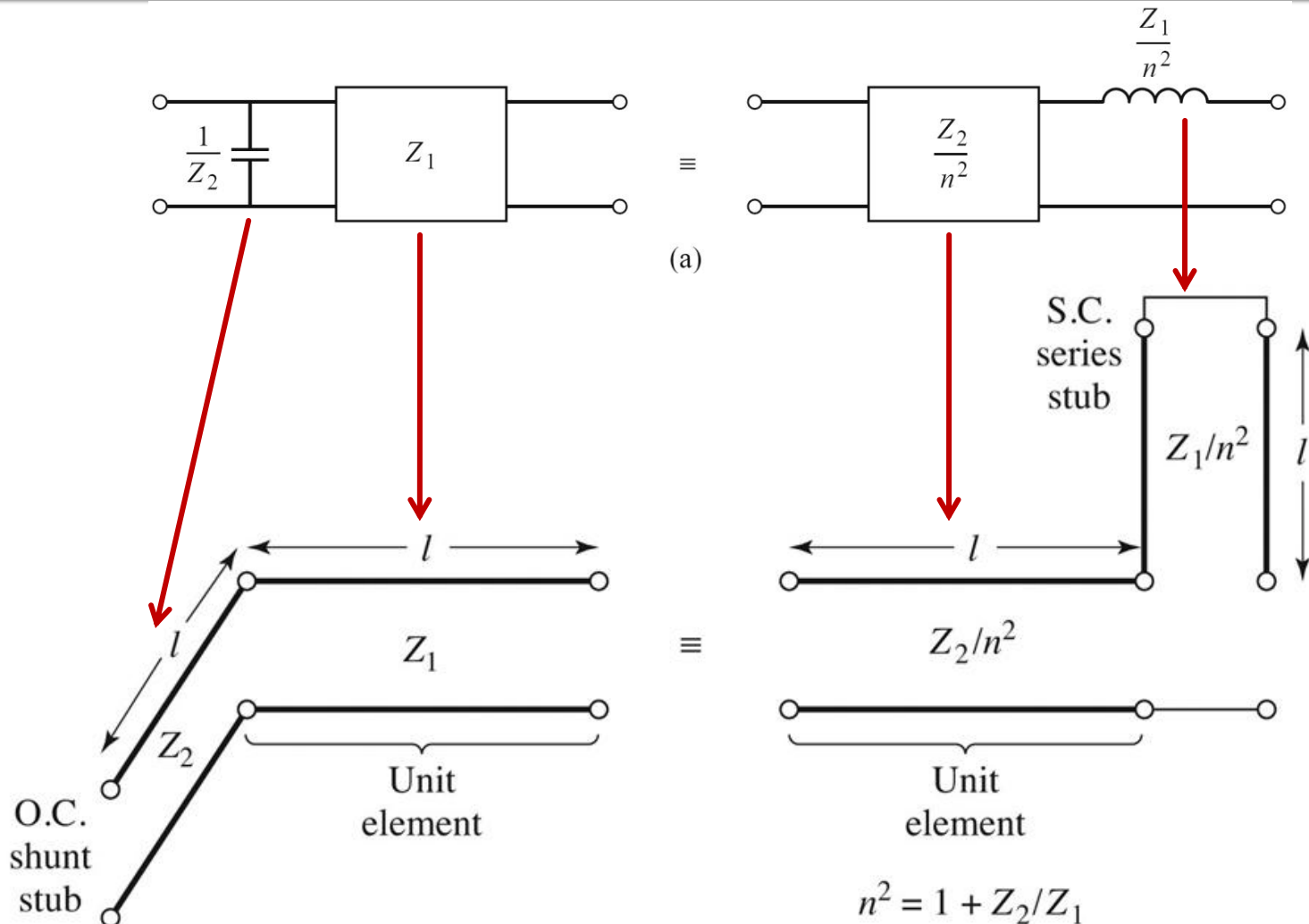


Figure 8.35

© John Wiley & Sons, Inc. All rights reserved.

Prima Identitate Kuroda – Demonstratie

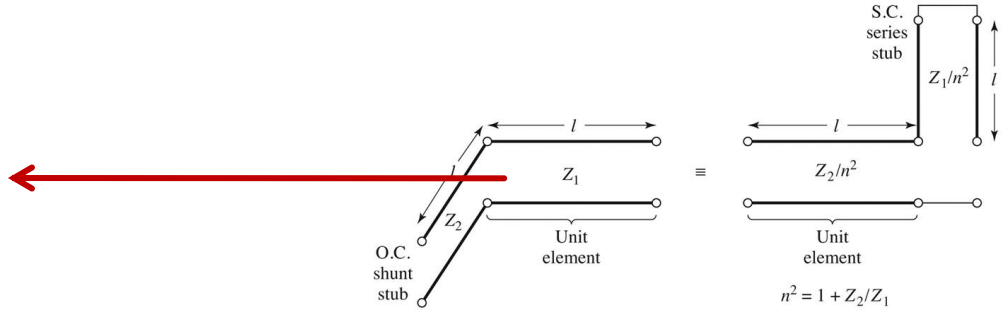
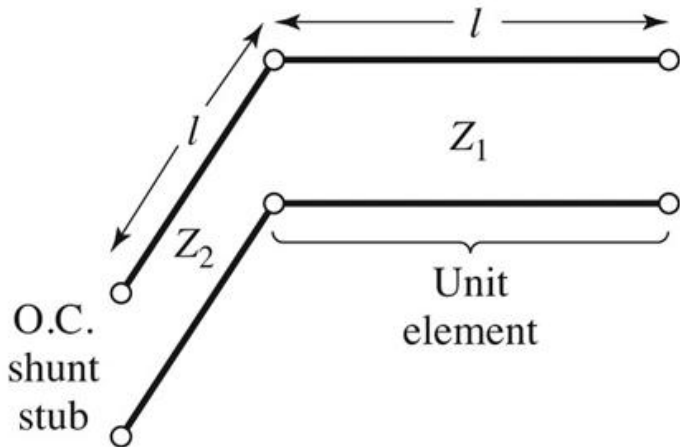
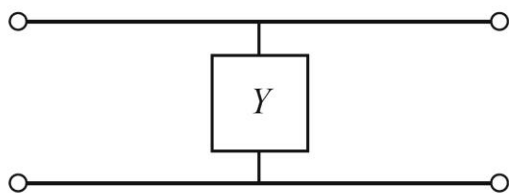
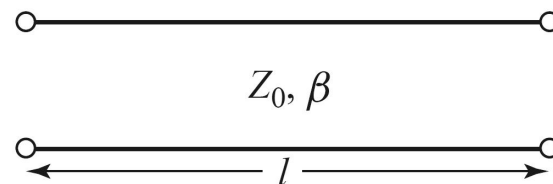


Figure 8.35
© John Wiley & Sons, Inc. All rights reserved.

■ Matrici ABCD, C5



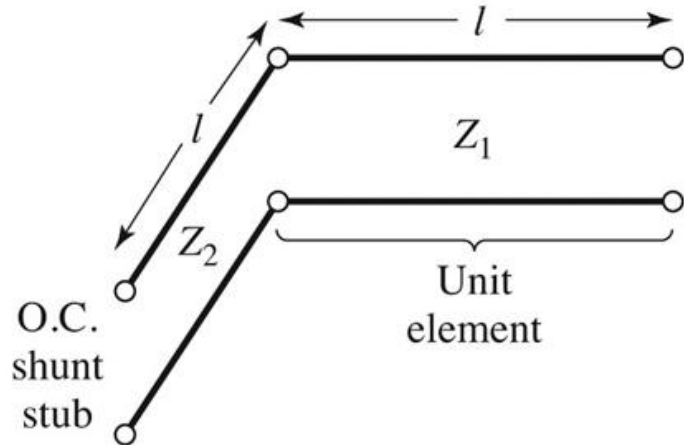
+



$$\begin{bmatrix} A & B \\ C & D \end{bmatrix} = \begin{bmatrix} 1 & 0 \\ Y & 1 \end{bmatrix}$$

$$\begin{bmatrix} A & B \\ C & D \end{bmatrix} = \begin{bmatrix} \cos \beta \cdot l & j \cdot Z_0 \cdot \sin \beta \cdot l \\ j \cdot Y_0 \cdot \sin \beta \cdot l & \cos \beta \cdot l \end{bmatrix}$$

Prima Identitate Kuroda – Demonstratie



$$\Omega = \tan \beta \cdot l$$

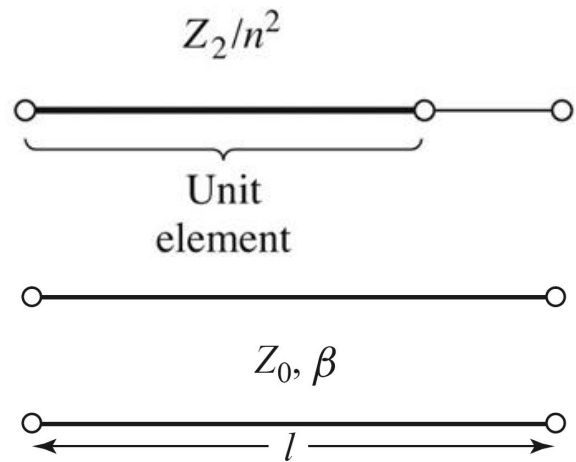
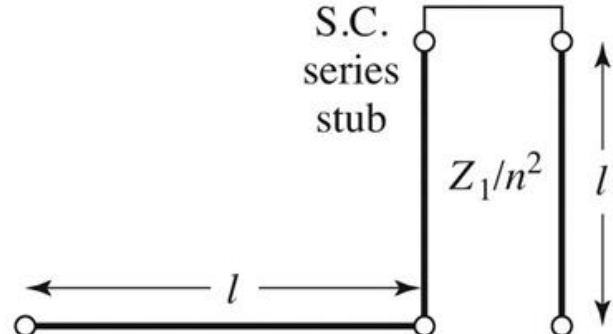
$$\cos \beta \cdot l = \frac{1}{\sqrt{1+\Omega^2}} \quad \sin \beta \cdot l = \frac{\Omega}{\sqrt{1+\Omega^2}}$$

$$Z_{in,g} = -j \cdot Z_2 \cdot \cot \beta \cdot l = -j \cdot \frac{Z_2}{\Omega}$$

$$\begin{bmatrix} A & B \\ C & D \end{bmatrix} = \begin{bmatrix} \frac{1}{j \cdot \Omega} & 0 \\ \frac{j \cdot \Omega}{Z_2} & 1 \end{bmatrix} \cdot \begin{bmatrix} \frac{1}{\sqrt{1+\Omega^2}} & j \cdot Z_1 \cdot \frac{\Omega}{\sqrt{1+\Omega^2}} \\ j \cdot \frac{1}{Z_1} \cdot \frac{\Omega}{\sqrt{1+\Omega^2}} & \frac{1}{\sqrt{1+\Omega^2}} \end{bmatrix}$$

$$\begin{bmatrix} A & B \\ C & D \end{bmatrix} = \frac{1}{\sqrt{1+\Omega^2}} \cdot \begin{bmatrix} \frac{1}{j \cdot \Omega} & 0 \\ \frac{j \cdot \Omega}{Z_2} & 1 \end{bmatrix} \cdot \begin{bmatrix} \frac{1}{j \cdot \Omega} & j \cdot \Omega \cdot Z_1 \\ \frac{Z_1}{j \cdot \Omega} & 1 \end{bmatrix} = \frac{1}{\sqrt{1+\Omega^2}} \cdot \begin{bmatrix} \frac{1}{j \cdot \Omega \cdot \left(\frac{1}{Z_1} + \frac{1}{Z_2} \right)} & j \cdot \Omega \cdot Z_1 \\ \frac{1}{1-\Omega^2 \cdot \frac{Z_1}{Z_2}} & 1-\Omega^2 \cdot \frac{Z_1}{Z_2} \end{bmatrix}$$

Prima Identitate Kuroda – Demonstratie



+

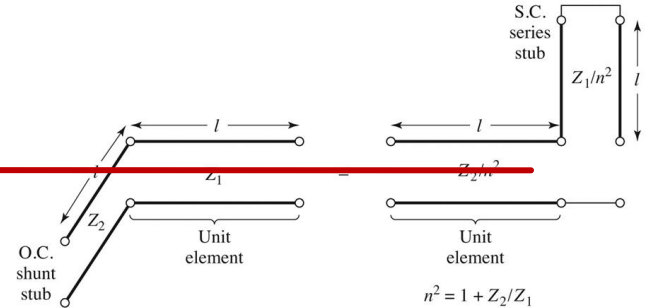
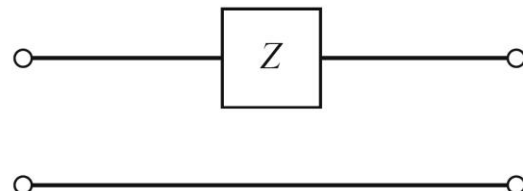


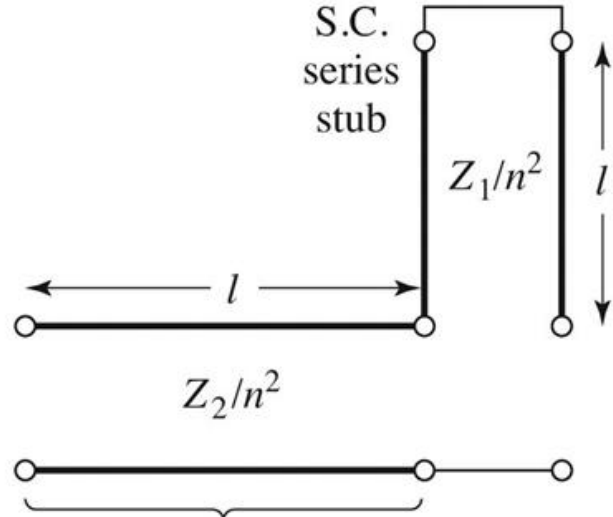
Figure 8.35
© John Wiley & Sons, Inc. All rights reserved.



$$\begin{bmatrix} A & B \\ C & D \end{bmatrix} = \begin{bmatrix} \cos \beta \cdot l & j \cdot Z_0 \cdot \sin \beta \cdot l \\ j \cdot Y_0 \cdot \sin \beta \cdot l & \cos \beta \cdot l \end{bmatrix}$$

$$\begin{bmatrix} A & B \\ C & D \end{bmatrix} = \begin{bmatrix} 1 & Z \\ 0 & 1 \end{bmatrix}$$

Prima Identitate Kuroda – Demonstratie



$$\Omega = \tan \beta \cdot l$$

$$\cos \beta \cdot l = \frac{1}{\sqrt{1+\Omega^2}} \quad \sin \beta \cdot l = \frac{\Omega}{\sqrt{1+\Omega^2}}$$

$$Z_{in,sc} = j \cdot \left(\frac{Z_1}{n^2} \right) \cdot \tan \beta \cdot l = \frac{j \cdot \Omega \cdot Z_1}{n^2}$$

$$\begin{bmatrix} A & B \\ C & D \end{bmatrix} = \begin{bmatrix} \frac{1}{\sqrt{1+\Omega^2}} & j \cdot \frac{Z_2}{n^2} \cdot \frac{\Omega}{\sqrt{1+\Omega^2}} \\ j \cdot \frac{n^2}{Z_2} \cdot \frac{\Omega}{\sqrt{1+\Omega^2}} & \frac{1}{\sqrt{1+\Omega^2}} \end{bmatrix} \cdot \begin{bmatrix} 1 & \frac{j \cdot \Omega \cdot Z_1}{n^2} \\ 0 & 1 \end{bmatrix}$$

$$\begin{bmatrix} A & B \\ C & D \end{bmatrix} = \frac{1}{\sqrt{1+\Omega^2}} \cdot \begin{bmatrix} 1 & j \cdot \Omega \cdot \frac{Z_2}{n^2} \\ \frac{j \cdot \Omega \cdot n^2}{Z_2} & 1 \end{bmatrix} \cdot \begin{bmatrix} 1 & j \cdot \Omega \cdot \frac{Z_1}{n^2} \\ 0 & 1 \end{bmatrix} = \frac{1}{\sqrt{1+\Omega^2}} \cdot \begin{bmatrix} 1 & j \cdot \frac{\Omega}{n^2} \cdot (Z_1 + Z_2) \\ \frac{j \cdot \Omega \cdot n^2}{Z_2} & 1 - \Omega^2 \cdot \frac{Z_1}{Z_2} \end{bmatrix}$$

Prima Identitate Kuroda – Demonstratie

- Prima schema

$$\begin{bmatrix} A & B \\ C & D \end{bmatrix} = \frac{1}{\sqrt{1+\Omega^2}} \cdot \begin{bmatrix} 1 & j \cdot \Omega \cdot Z_1 \\ j \cdot \Omega \cdot \left(\frac{1}{Z_1} + \frac{1}{Z_2} \right) & 1 - \Omega^2 \cdot \frac{Z_1}{Z_2} \end{bmatrix}$$

- A doua schema

$$\begin{bmatrix} A & B \\ C & D \end{bmatrix} = \frac{1}{\sqrt{1+\Omega^2}} \cdot \begin{bmatrix} 1 & j \cdot \frac{\Omega}{n^2} \cdot (Z_1 + Z_2) \\ \frac{j \cdot \Omega \cdot n^2}{Z_2} & 1 - \Omega^2 \cdot \frac{Z_1}{Z_2} \end{bmatrix}$$

- Rezultatele sunt identice daca alegem

$$n^2 = 1 + \frac{Z_2}{Z_1}$$

- Similar se pot demonstra si celelalte trei identitati

(Acelasi) Exemplu

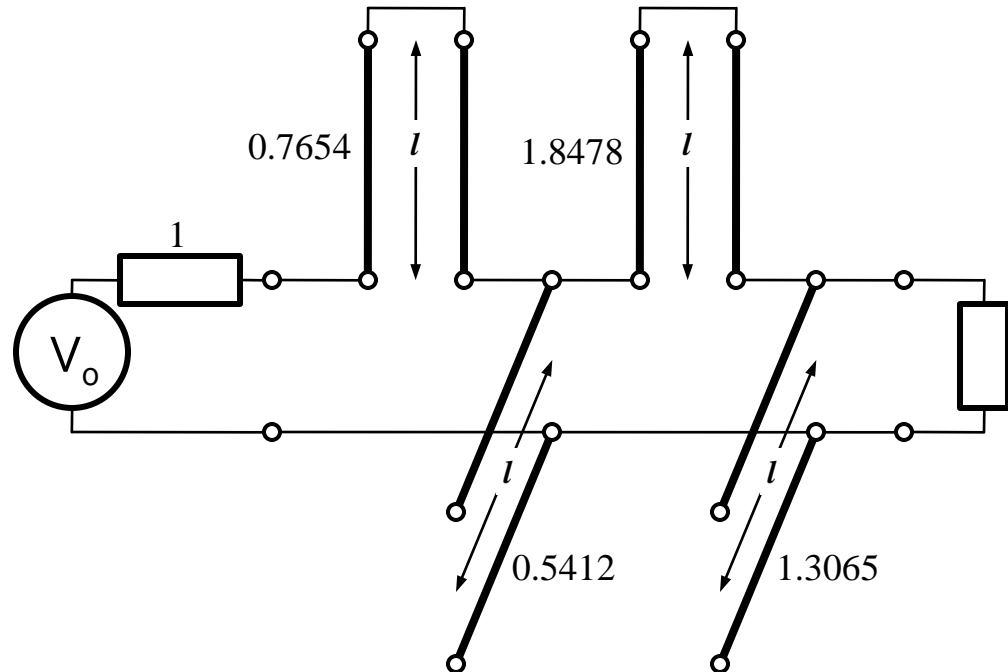
- Filtru trece jos de ordinul 4, cu frecventa de tajere de 4 GHz, de tip maxim plat (care sa functioneze pe 50Ω la intrare si iesire)
- Tabel maxim plat sau relatii de calcul:
 - $g_1 = 0.7654 = L_1$
 - $g_2 = 1.8478 = C_2$
 - $g_3 = 1.8478 = L_3$
 - $g_4 = 0.7654 = C_4$
 - $g_5 = 1$ (**nu** are nevoie de adaptare suplimentara la iesire – apare la filtrele de ordin par echiriplu)

Exemplu

■ Se aplica transformarea Richards

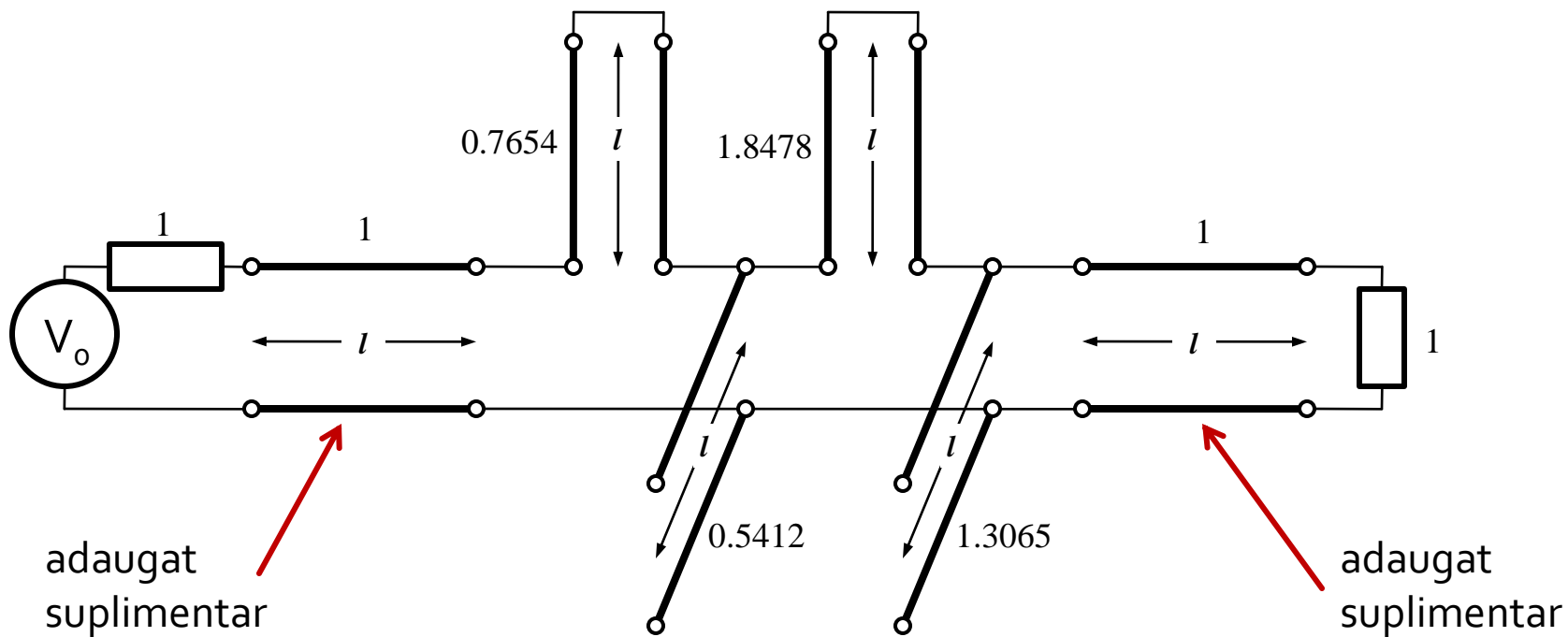
■ Probleme:

- stub-urile in serie sunt **extrem de dificil** de implementat in tehnologie microstrip
- cu tehnologia microstrip e preferabil sa avem stub-uri in gol (scurtcircuit necesita un **via-hole** spre planul de masa)
- cele 4 staburi sunt conectate in acelasi punct, o implementare care sa elimine/micsoreze **cuplajul** intre aceste linii e imposibila
- nu e cazul aici, dar pot aparea situatii cand impedantele raportate sunt mult diferite de 1. Majoritatea tehnologiilor sunt concepute pentru linii cu impedante caracteristice in jur de 50Ω



Exemplu

- Identitatile Kuroda se referă **intotdeauna** la o schema cu o secțiune de linie în serie:
 - se **adauga** elementele unitare ($z = 1$, $l = \lambda/8$) la fiecare capat al circuitului (adaugarea nu modifica proprietatile filtrului acesta fiind adaptat la $z = 1$ la fiecare capat)
 - se **aplica** una din identitatile Kuroda la fiecare capat și se **continua**
 - un indicator al **opririi** procedurii este apariția unei secțiuni de linie între toate stuburile obținute cu transformarea Richards



Exemplu

- Se aplica :
 - Kuroda 2 (L, Z cunoscut $\rightarrow C, Z$) in partea stanga
 - Kuroda 1 (C, Z cunoscut $\rightarrow L, Z$) in partea dreapta

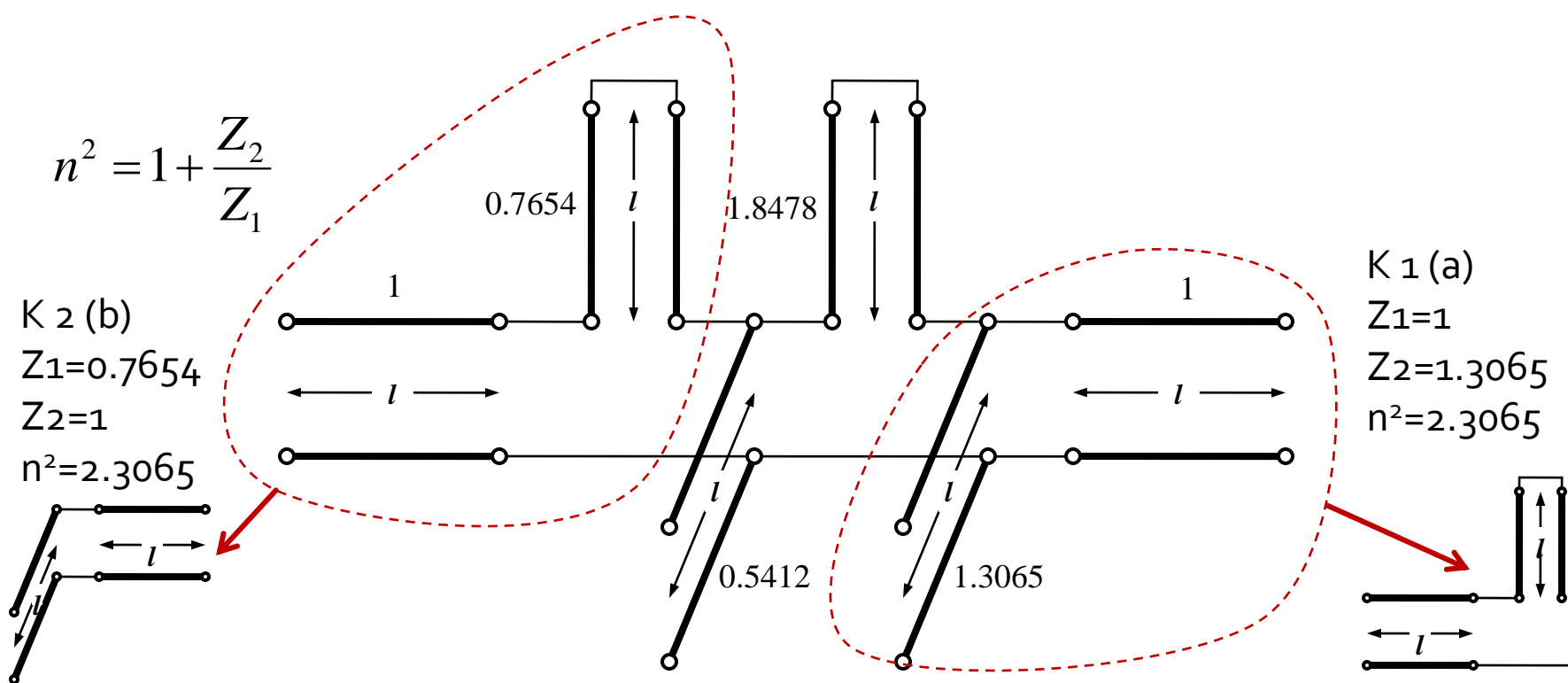
$$n^2 = 1 + \frac{Z_2}{Z_1}$$

K₂(b)

$$Z_1=0.7654$$

$Z_2=1$

$$n^2=2.3065$$



Exemplu

- Se mai adauga un element unitar in partea dreapta si se aplica Kuroda 2 de doua ori

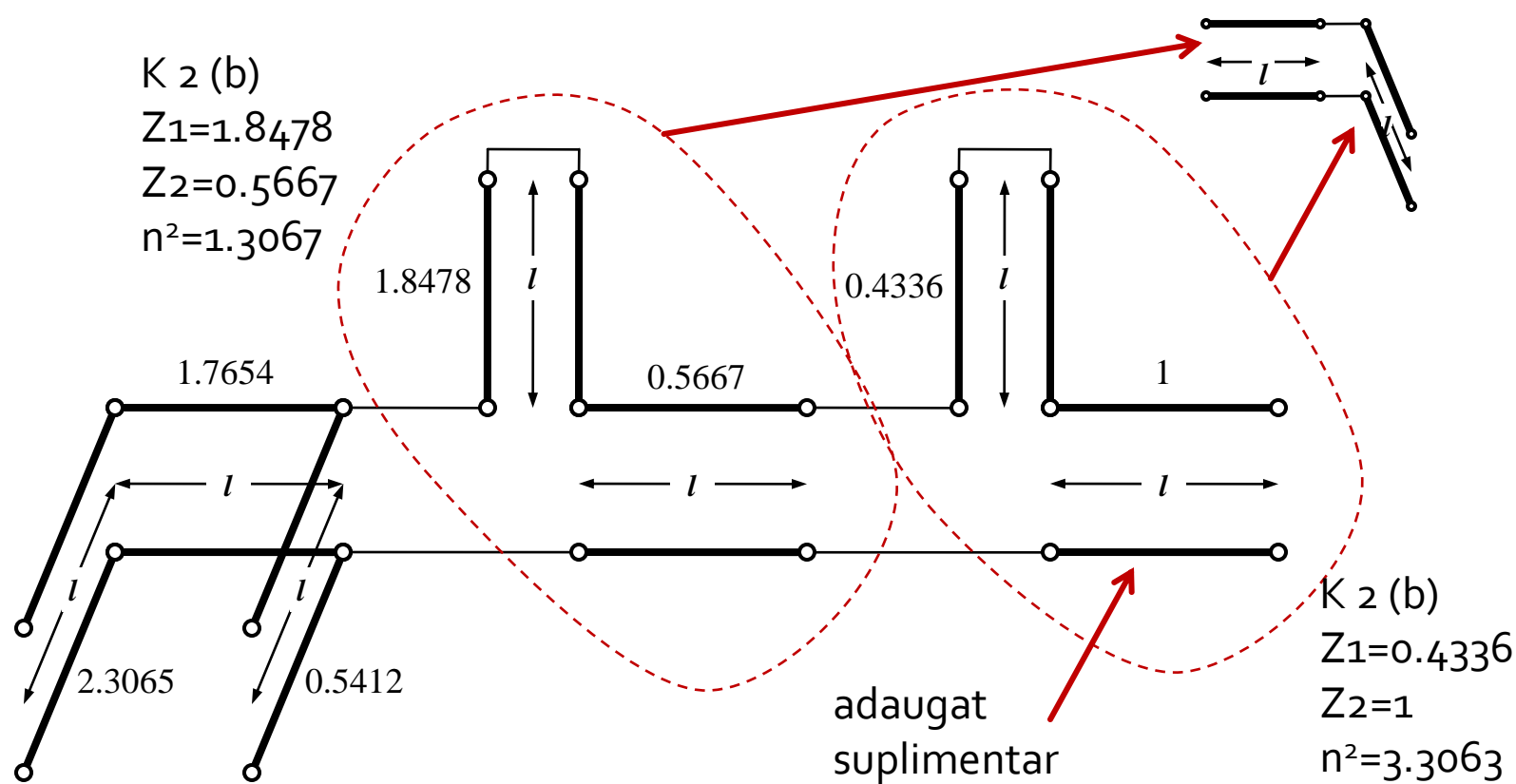
$$n^2 = 1 + \frac{Z_2}{Z_1}$$

K₂ (b)

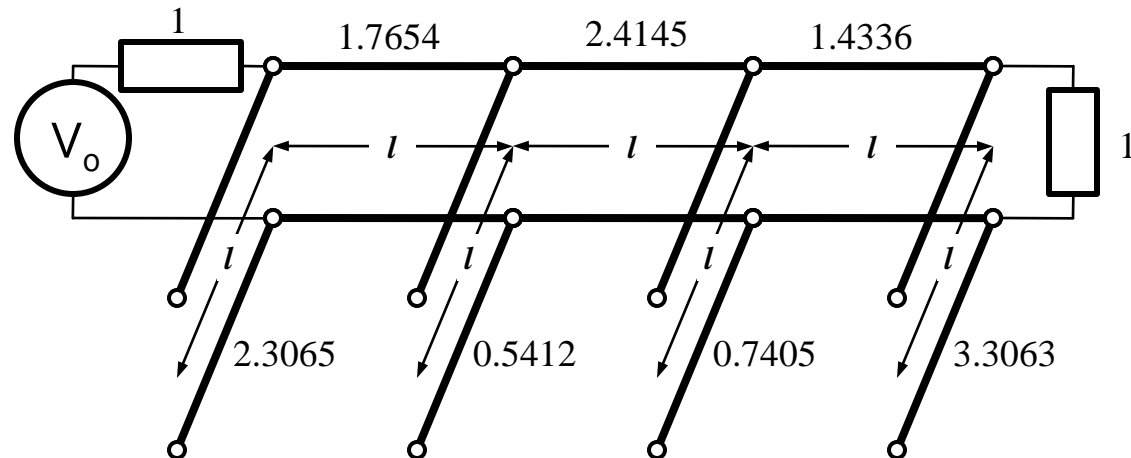
$$Z_1 = 1.8478$$

$$Z_2 = 0.5667$$

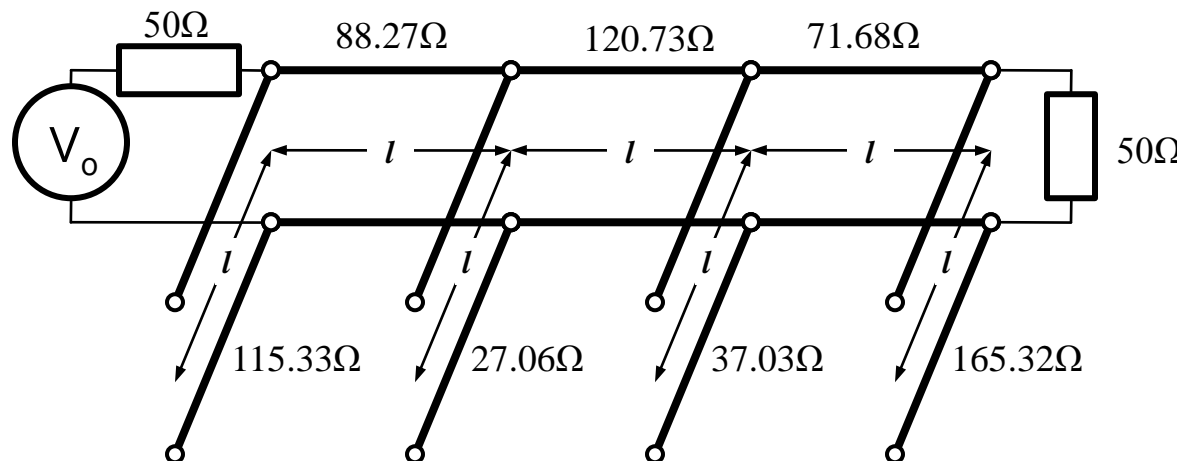
$$n^2 = 1.3067$$



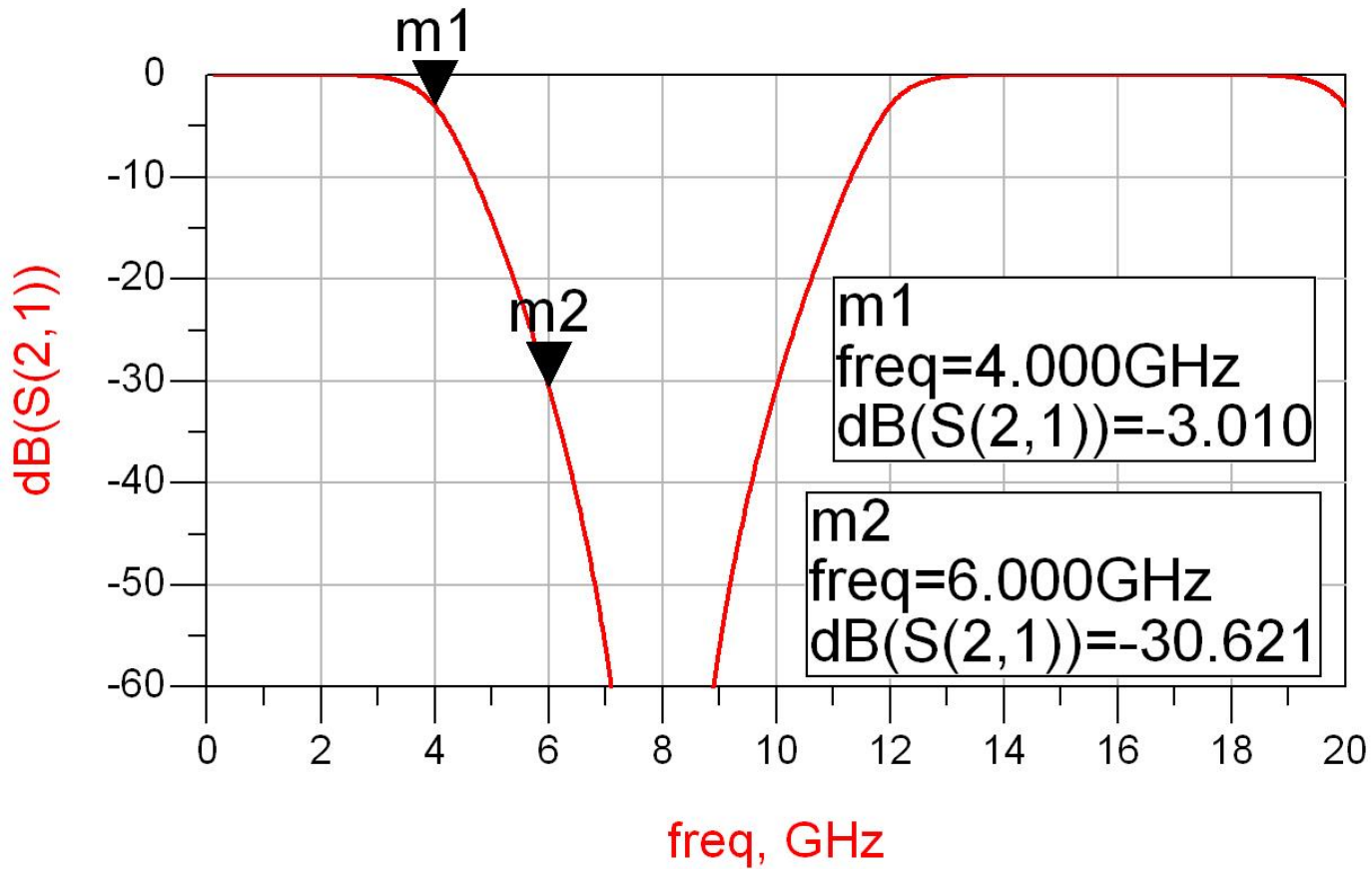
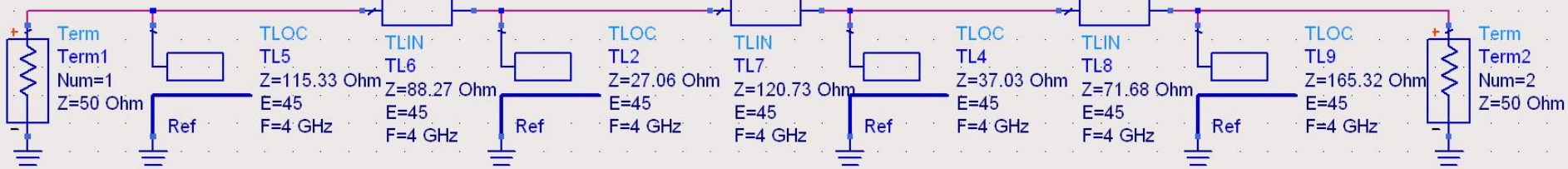
Exemplu



■ Scalare la 50Ω



Identitatile Kuroda – ADS



Inversoare de impedanta si admitanta

- Transformarea Richard si identitatile Kuroda sunt utile mai ales pentru filtrele trece jos in tehnologiile in care stub-urile serie sunt dificil/imposibil de realizat (microstrip)
- De exemplu in cazul filtrului trece banda de ordinul 3:
 - se poate implementa inductanta serie utilizand K₁-K₂
 - capacitatea serie in schimb nu poate fi echivalata cu un stub paralel

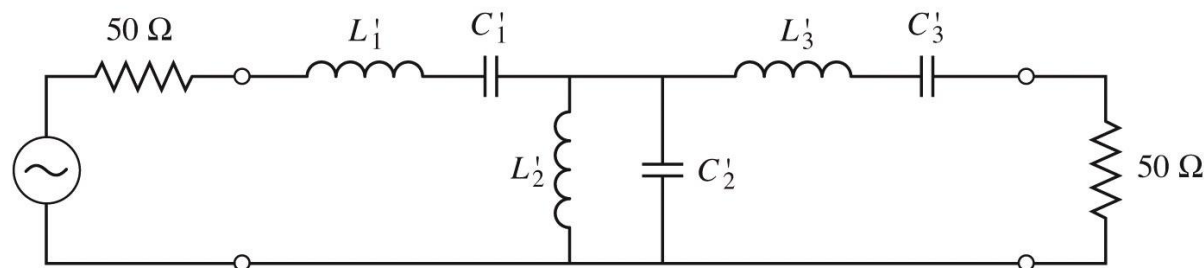


Figure 8.32
© John Wiley & Sons, Inc. All rights reserved.

Inversoare de impedanta si admitanta

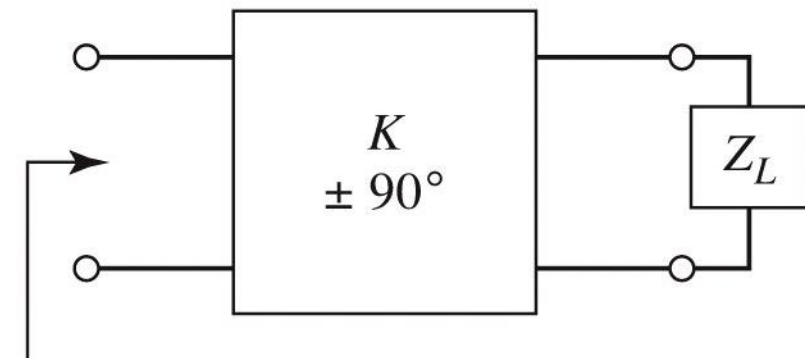
- Pentru situatiile in care implementarea cu Richards + Kuroda nu ofera solutii practice se folosesc structuri de circuit numite **inversoare de impedanta si admitanta**

$$Z_{in} = \frac{K^2}{Z_L}$$

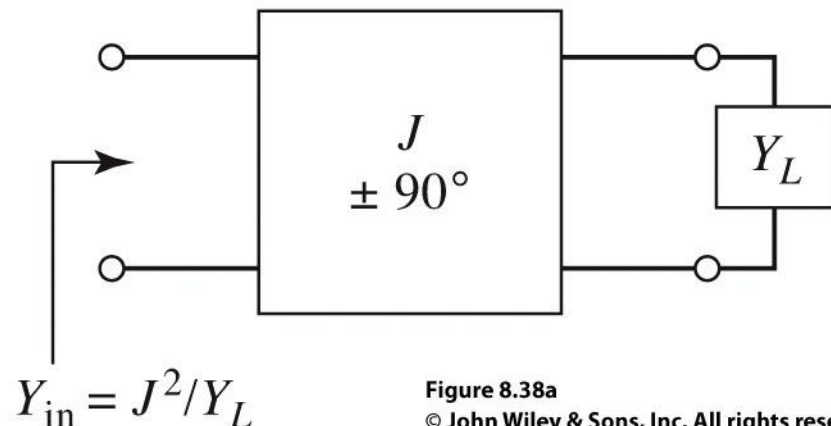
Impedance inverters

$$Y_{in} = \frac{J^2}{Y_L}$$

Admittance inverters



$$Z_{in} = K^2/Z_L$$



$$Y_{in} = J^2/Y_L$$

Figure 8.38a

© John Wiley & Sons, Inc. All rights reserved.

Inversoare de impedanta si admitanta

- Cel mai simplu exemplu de inversor de impedanta/admitanta este **transformatorul in sfert de lungime de unda** (C3)

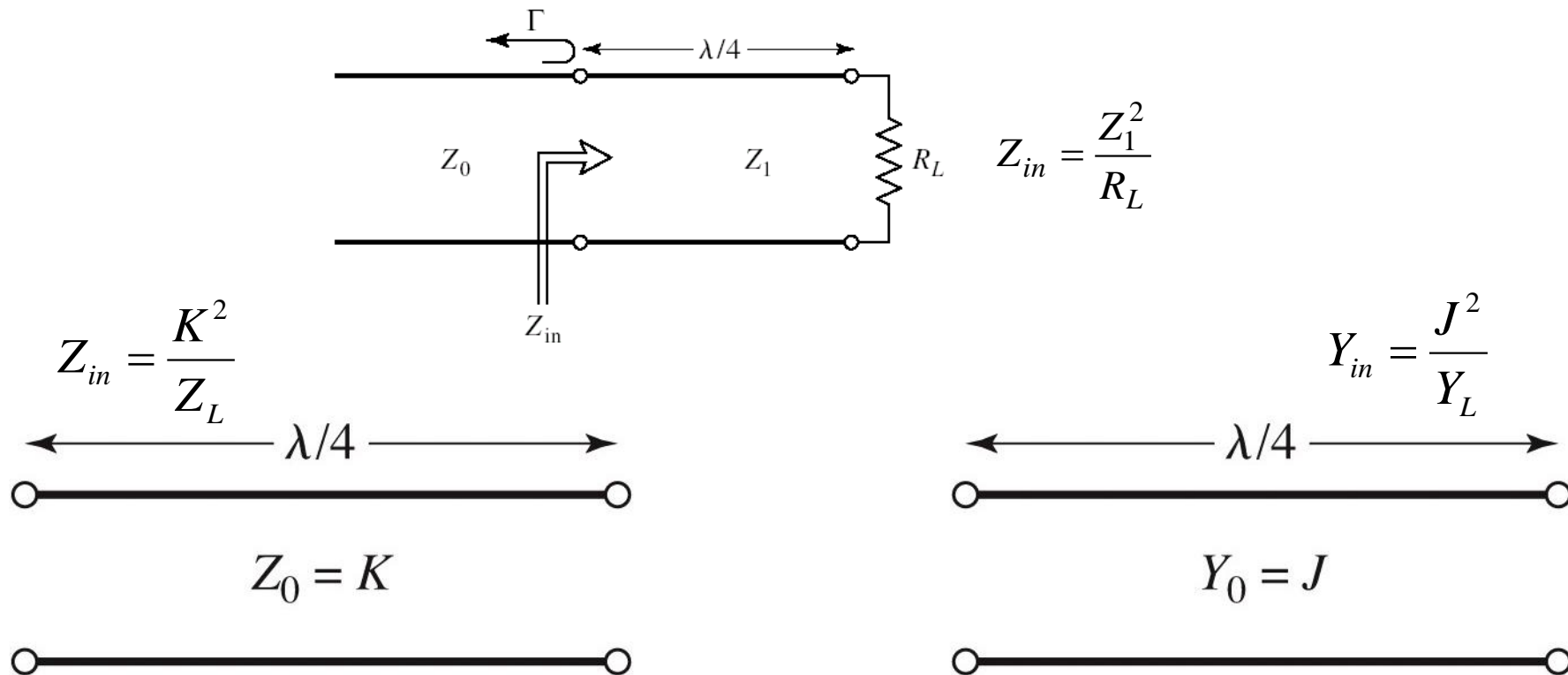
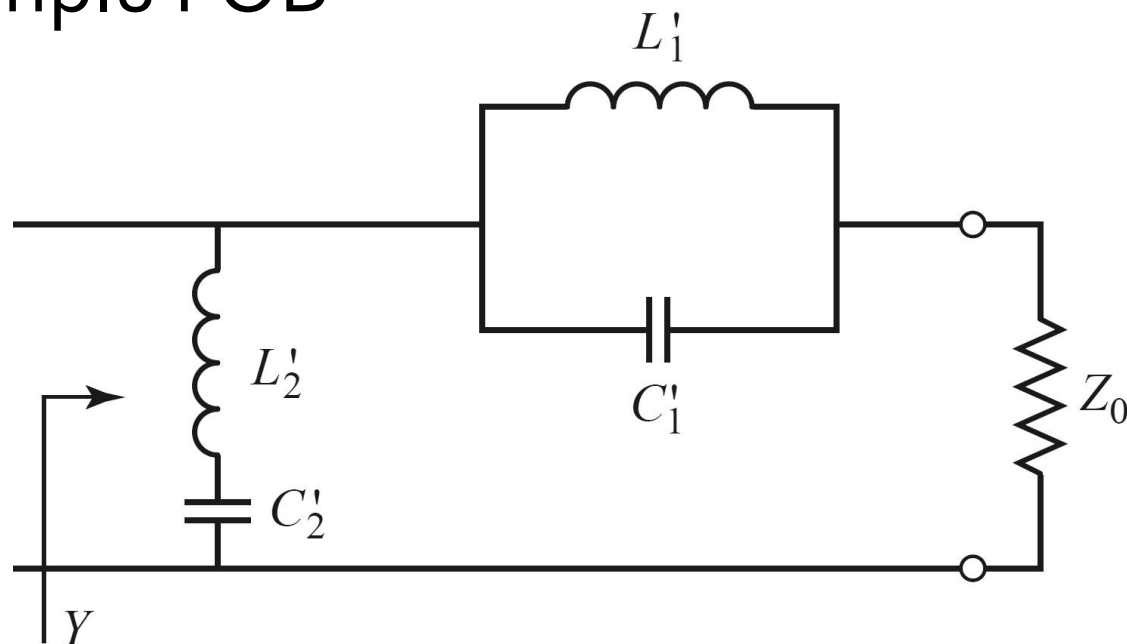


Figure 8.38b

© John Wiley & Sons, Inc. All rights reserved.

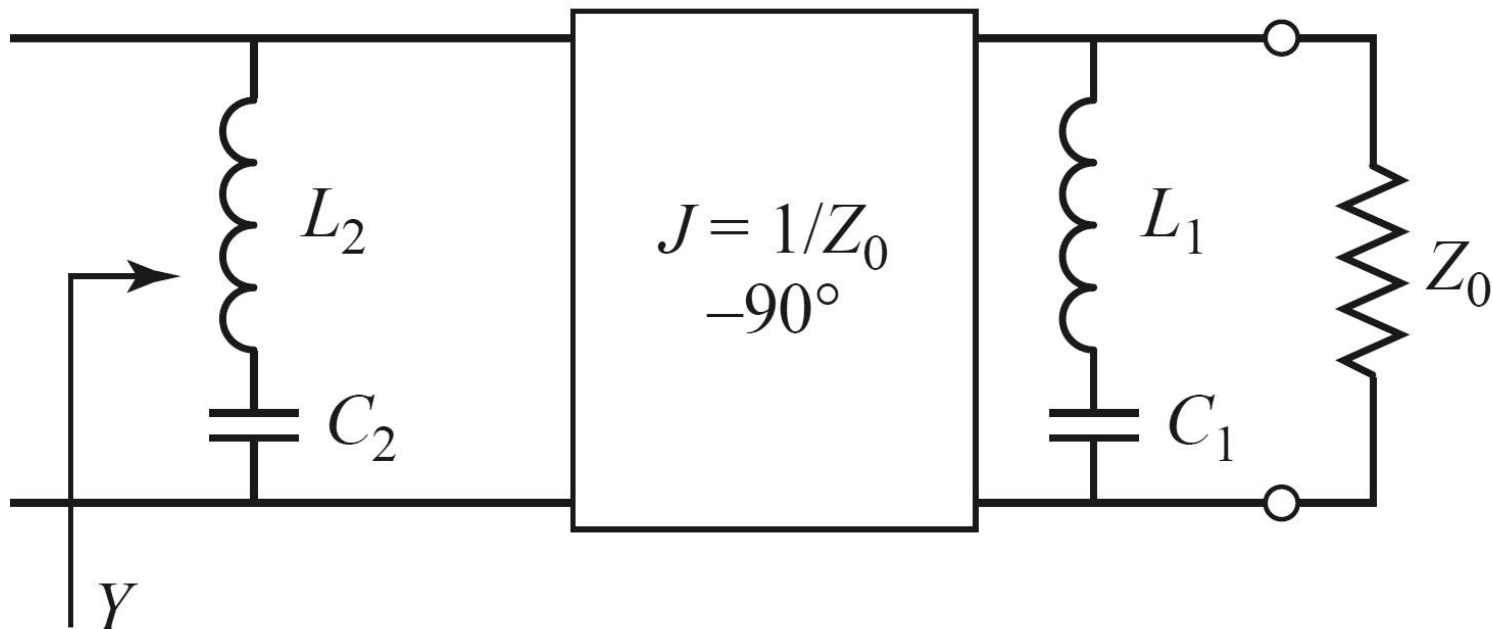
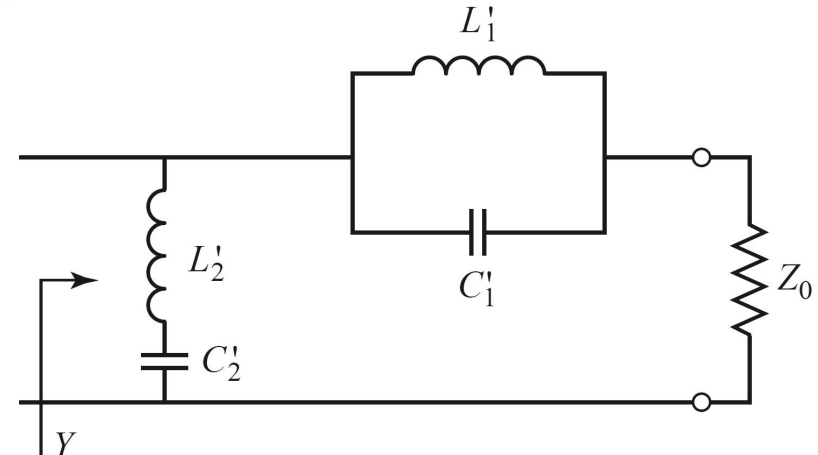
Inversoare de impedanta si admitanta

- Inversoarele de impedanta/admitanta pot fi utilizate pentru a schimba structura filtrelor in forme realizabile
- Exemplu FOB



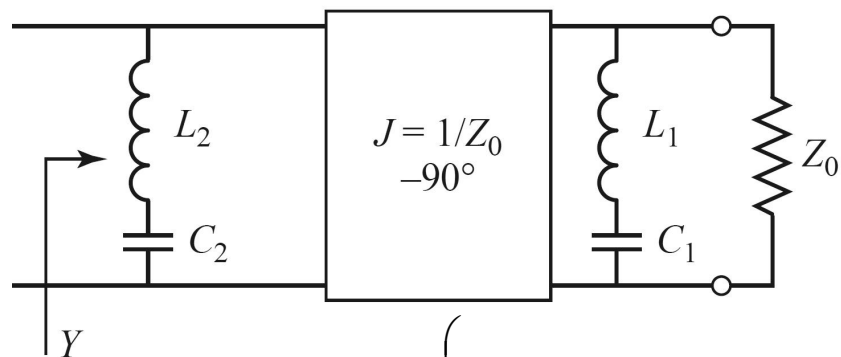
Inversoare de impedanta si admitanta

- Elementele serie pot fi eliminate prin introducerea unui inversor de admitanta



Inversoare de impedanta si admitanta

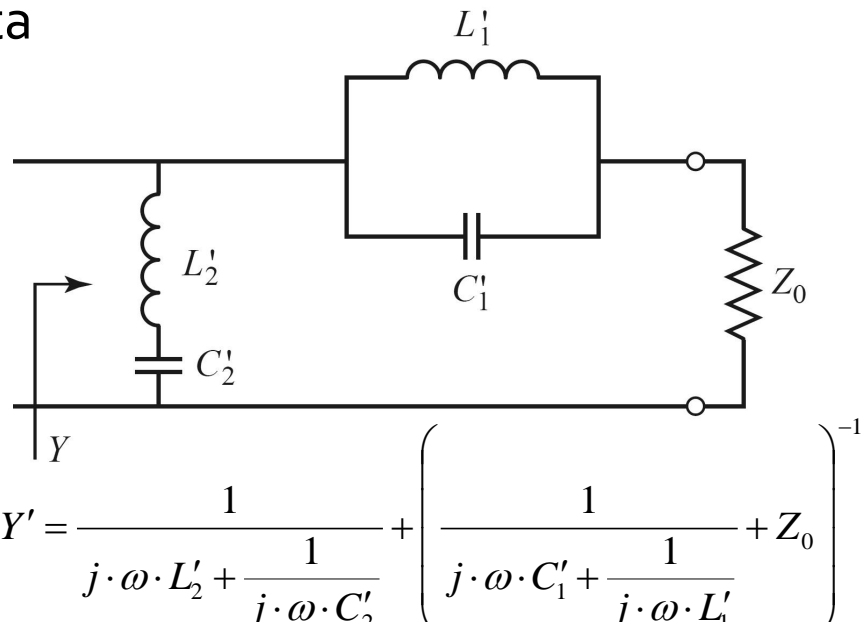
- Echivalenta celor doua scheme se obtine prin obtinerea aceleiasi admitante de intrare
- Echivalenta completa se obtine prin incadrarea grupului simulat intre doua invertoare de admitanta



$$Y = \frac{1}{j \cdot \omega \cdot L_2 + \frac{1}{j \cdot \omega \cdot C_2}} + \frac{1}{Z_0^2} \cdot \left(\frac{1}{j \cdot \omega \cdot L_1 + \frac{1}{j \cdot \omega \cdot C_1}} + \frac{1}{Z_0} \right)^{-1}$$

$$L_n \cdot C_n = L'_n \cdot C'_n = \frac{1}{\omega_0^2} \Rightarrow \frac{1}{Z_0^2} \cdot \sqrt{\frac{L_1}{C_1}} = \sqrt{\frac{C'_1}{L'_1}} \Rightarrow Y = Y'$$

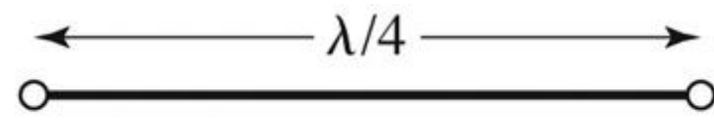
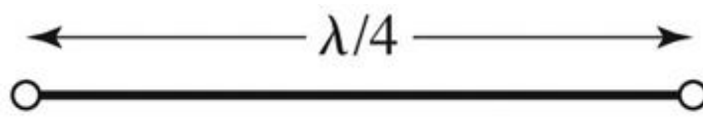
$$\sqrt{\frac{L_2}{C_2}} = \sqrt{\frac{L'_2}{C'_2}}$$



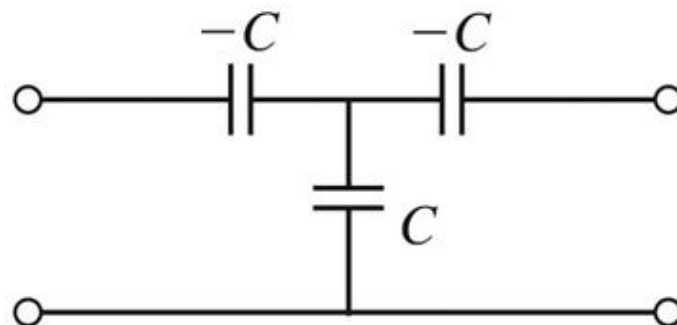
- Rezultat similar se obtine si pentru filtrul trece banda
- Un grup **LC serie** introdus in serie se poate inlocui cu un grup **LC paralel** introdus in paralel incadrat de doua inversoare de admitanta

Realizari practice de inversoare de impedanta/admitanta

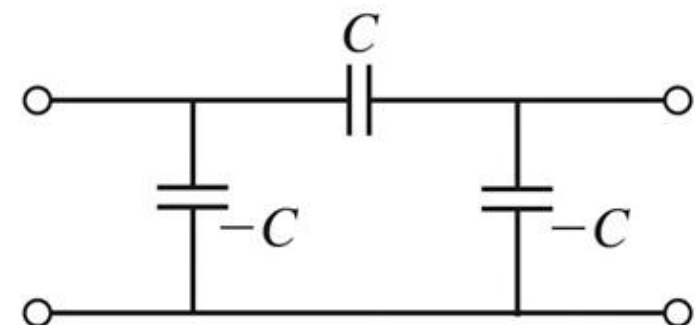
- Cel mai uzual se foloseste transformatorul in sfert de lungime de unda



- Realizare cu elemente concentrate



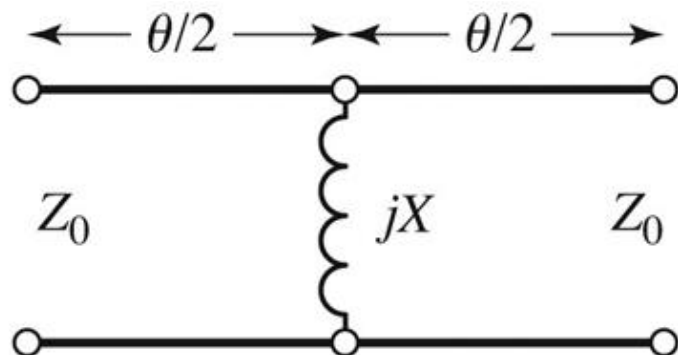
$$K = 1/\omega C$$



$$J = \omega C$$

Realizari practice de inversoare de impedanta/admitanta

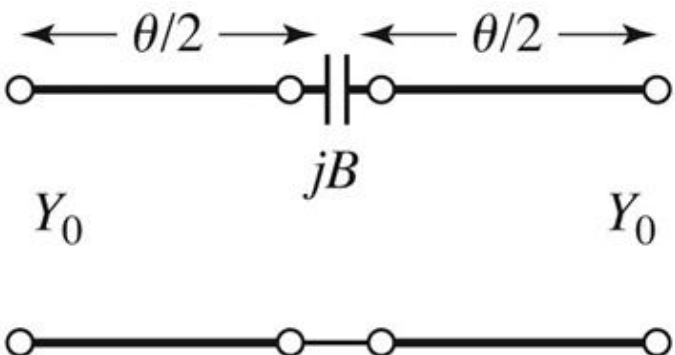
■ Realizare cu linii



$$K = Z_0 \cdot \tan\left|\frac{\theta}{2}\right|$$

$$X = \frac{K}{1 - \left(\frac{K}{Z_0}\right)^2}$$

$$\theta = -\tan^{-1} \frac{2 \cdot X}{Z_0}$$



$$J = Y_0 \cdot \tan\left|\frac{\theta}{2}\right|$$

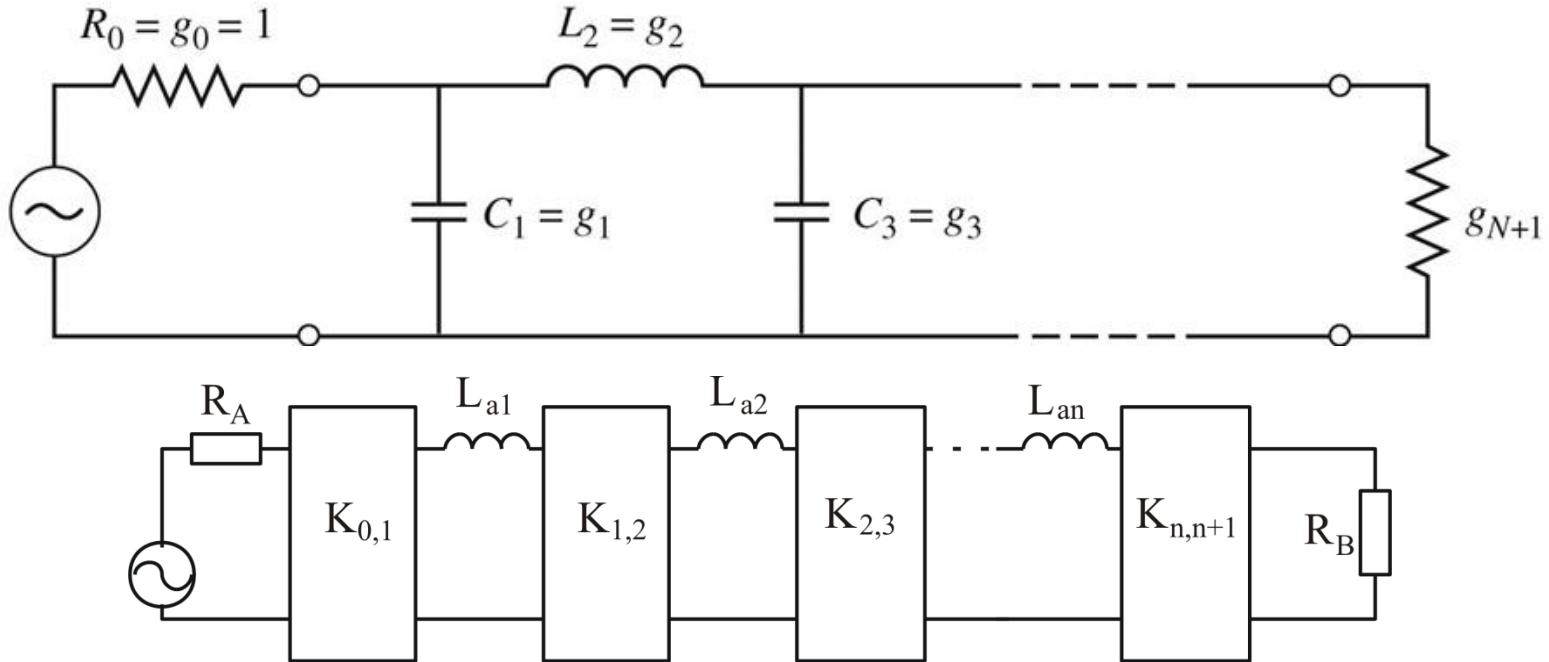
$$B = \frac{J}{1 - \left(\frac{J}{Y_0}\right)^2}$$

$$\theta = -\tan^{-1} \frac{2 \cdot B}{Y_0}$$

$\theta < 0$

Filtre prototip cu inversoare

- Utilizand inversoare de admitanta se pot implementa filtrele prototip utilizand un singur tip de element



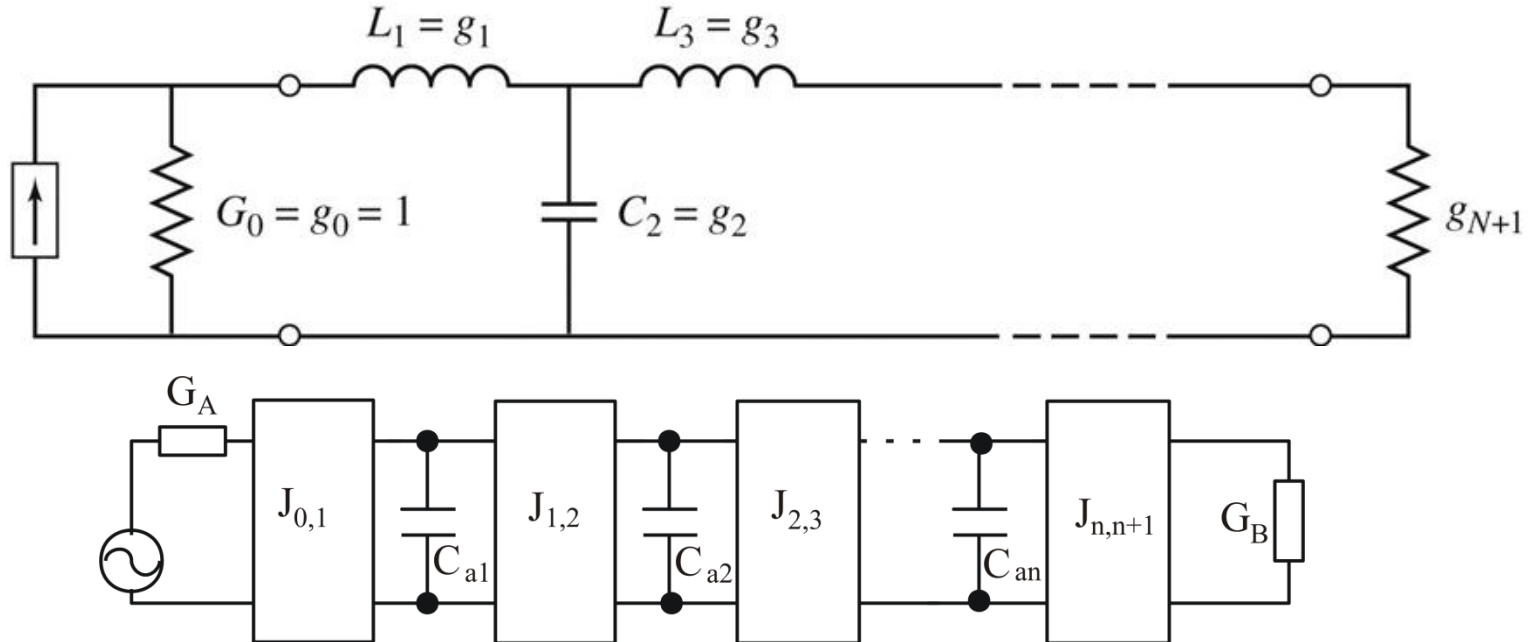
$$K_{0,1} = \sqrt{\frac{R_A \cdot L_{a,1}}{g_0 \cdot g_1}}$$

$$K_{k,k+1} \Big|_{k=1,n-1} = \sqrt{\frac{L_{a,k} \cdot L_{a,k+1}}{g_k \cdot g_{k+1}}}$$

$$K_{n,n+1} = \sqrt{\frac{L_{a,n} \cdot R_B}{g_n \cdot g_{n+1}}}$$

Filtre prototip cu inversoare

- Utilizand inversoare de admitanta se pot implementa filtrele prototip utilizand un singur tip de element



$$J_{0,1} = \sqrt{\frac{G_A \cdot C_{a1}}{g_0 \cdot g_1}}$$

$$J_{k,k+1} \Big|_{k=1,n-1} = \sqrt{\frac{C_{ak} \cdot C_{a,k+1}}{g_k \cdot g_{k+1}}}$$

$$J_{n,n+1} = \sqrt{\frac{C_{an} \cdot g_B}{g_n \cdot g_{n+1}}}$$

Filtre prototip cu inversoare

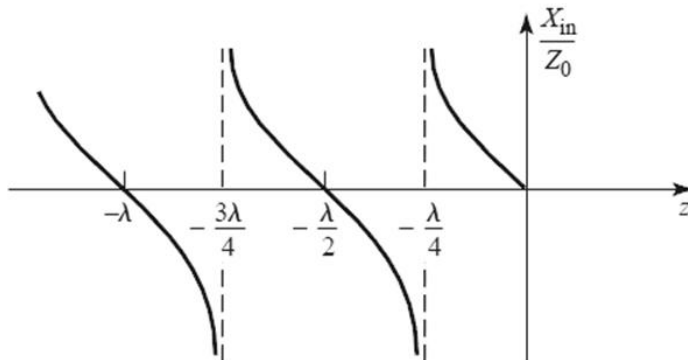
- Pentrufiltrele prototip cu inversoare există $2 \cdot N + 1$ parametri și $N + 1$ ecuații care asigură echivalenta răspunsului deci N parametri pot fi alesi din considerente oarecare
 - se pot alege valorile reactantelor, urmand ca parametrii inversoarelor să rezulte din calcul
 - se pot alege convenabil inversoarele, urmand ca reactantele să rezulte din ecuațiile de echivalare
- Principiul se poate aplica și pentru filtrele care trece banda/oprește banda, acestea putând fi realizate din $N + 1$ inversoare și N rezonatori (grupuri LC serie sau paralel cu frecvența de rezonanță ω_0) conectate fie în serie fie în paralel între inversoare
 - FTB se realizează cu
 - grup LC serie conectat în serie între inversoare
 - grup LC paralel conectat în paralel între inversoare
 - FOB se realizează cu
 - grup LC paralel conectat în serie între inversoare
 - grup LC serie conectat în paralel între inversoare

Linii ca rezonatoare

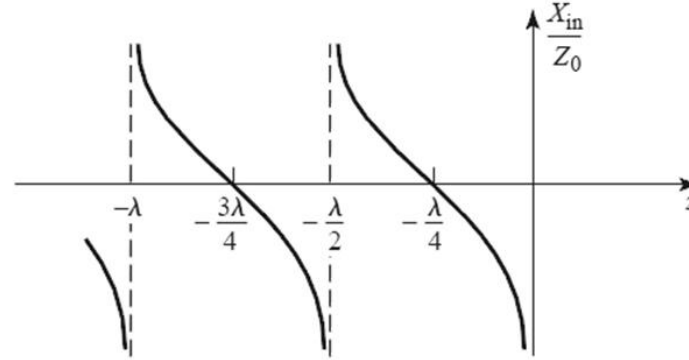
- Impedanta de intrare intr-o linie (stub) scurtcircuitata sau lasata in gol la capat manifesta comportament rezonant care poate fi utilizat pentru implementarea rezonatoarelor

$$Z_{in} = Z_0 \cdot \frac{Z_L + j \cdot Z_0 \cdot \tan \beta \cdot l}{Z_0 + j \cdot Z_L \cdot \tan \beta \cdot l}$$

$$Z_{in,sc} = j \cdot Z_0 \cdot \tan \beta \cdot l$$

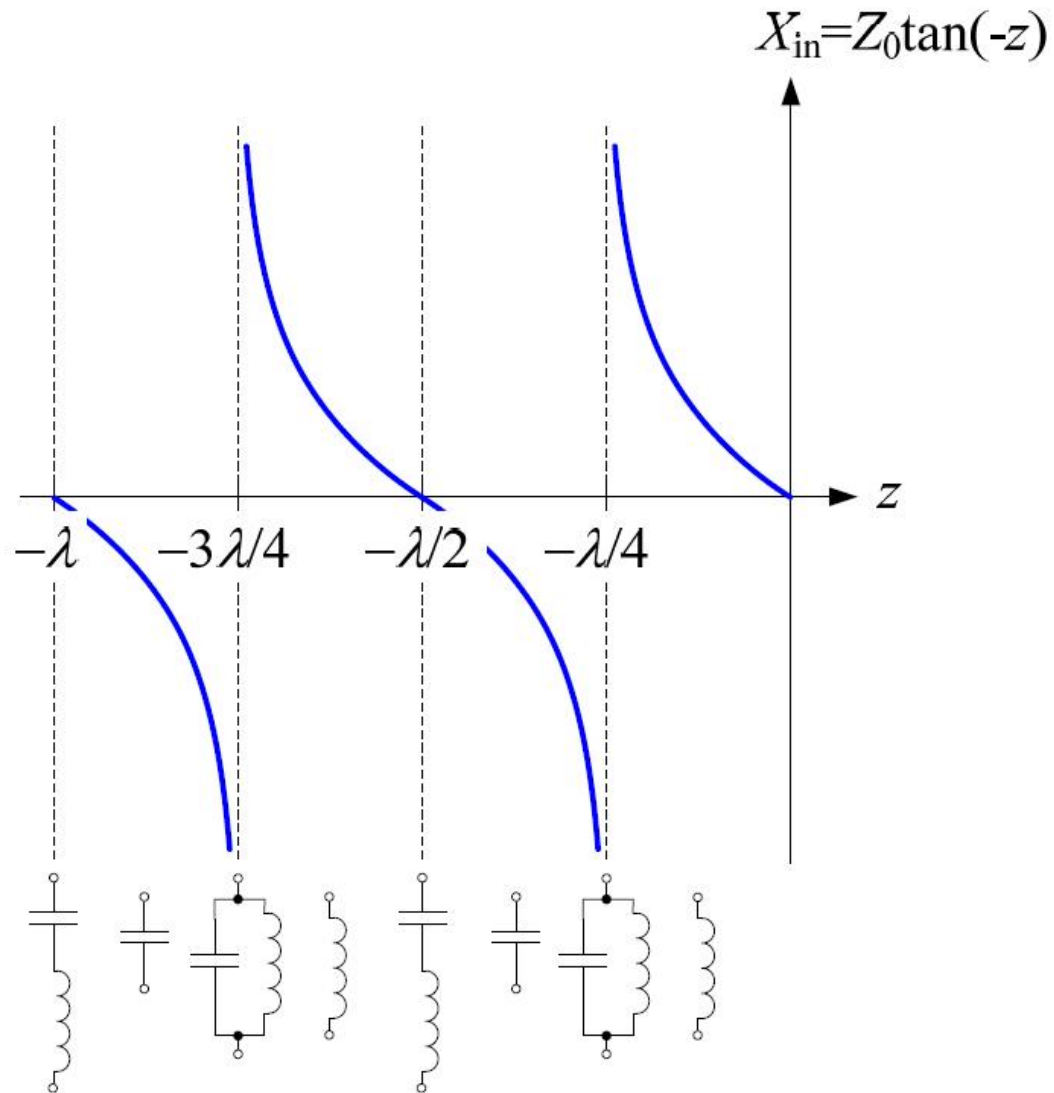


$$Z_{in,g} = -j \cdot Z_0 \cdot \cot \beta \cdot l$$



Linii ca rezonatoare

- Linie in scurtcircuit
- Pentru frecventa (ω_0) la care $l = \lambda/4$ se obtine un circuit rezonant LC paralel
 - linia are comportament capacativ pentru frecvente mai mici ($l > \lambda/4$)
 - linia are comportament inductiv pentru frecvente mai mari ($l < \lambda/4$)
- Discutie similara pentru linia in gol (LC serie la frecventa la care $l = \lambda/4$)



FTB/FOB relatii de proiectare

- Pentru cazul particular in care se implementeaza inversoarele de admitanta cu transformatoare in sfert de lungime de unda si impedanta caracteristica Z_0

- FTB – stub-uri paralel scurcuitate la $l = \lambda/4$

$$Z_{0n} \approx \frac{\pi \cdot Z_0 \cdot \Delta}{4 \cdot g_n}$$

- FOB – stub-uri paralel in gol de lungime $l = \lambda/4$

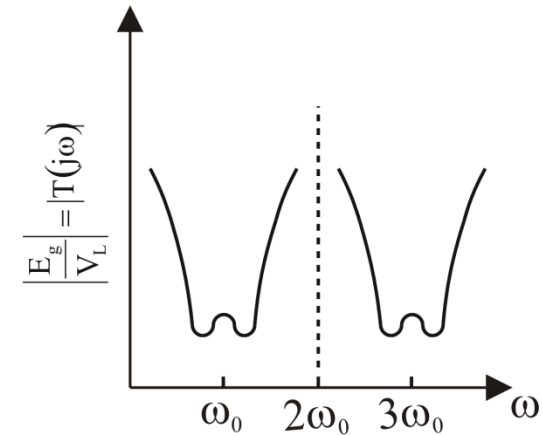
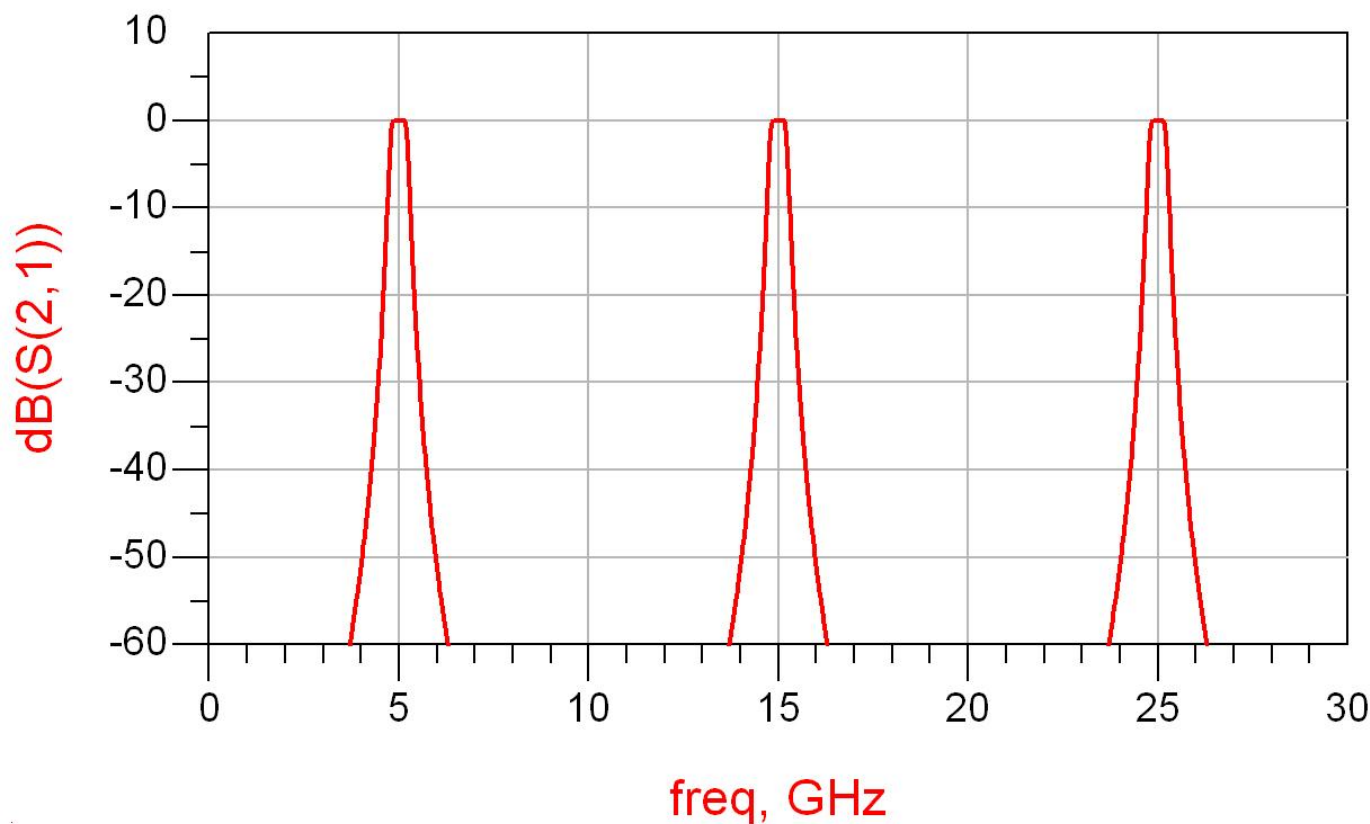
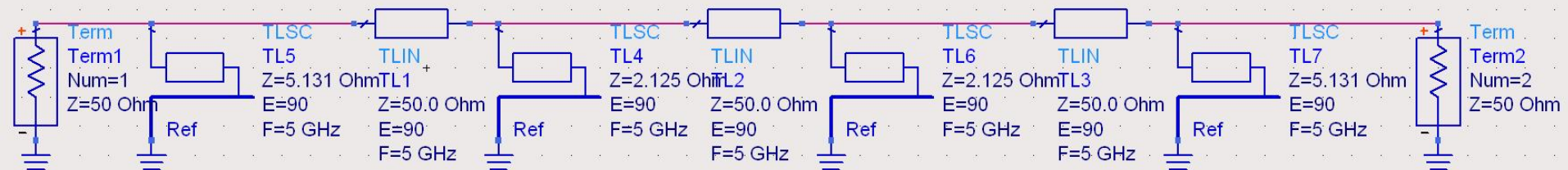
$$Z_{0n} \approx \frac{4 \cdot Z_0}{\pi \cdot g_n \cdot \Delta}$$

Exemplu

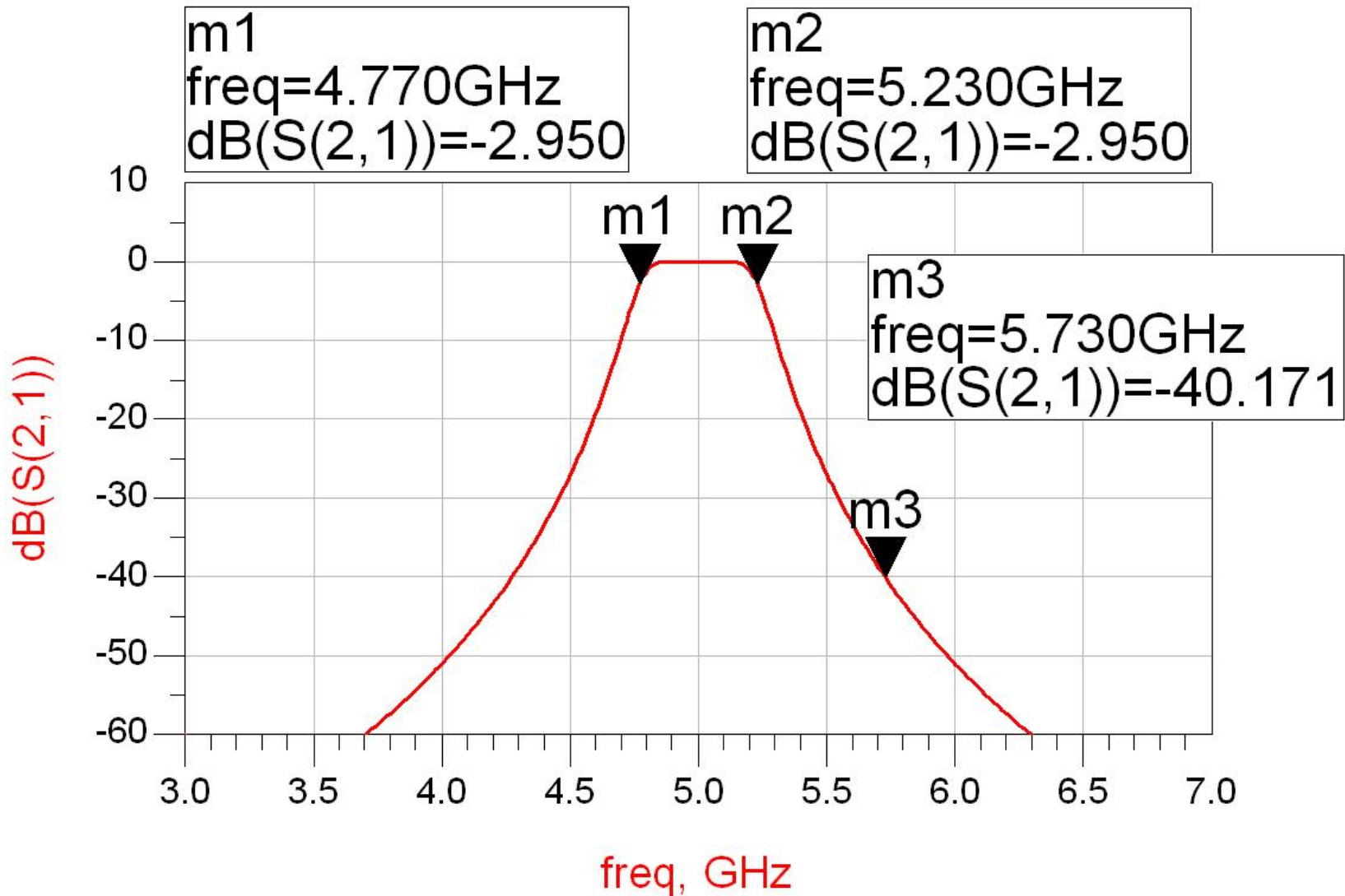
- Similar cu o tema de proiect
- Continuarea amplificatorului C11
- Filtru trece banda de ordinul 4, $f_0 = 5\text{GHz}$, banda 10 %
- Tabel maxim plat sau relatii de calcul:

n	g_n	$Z_{on}(\Omega)$
1	0.7654	5.131
2	1.8478	2.125
3	1.8478	2.125
4	0.7654	5.131

ADS - FTB

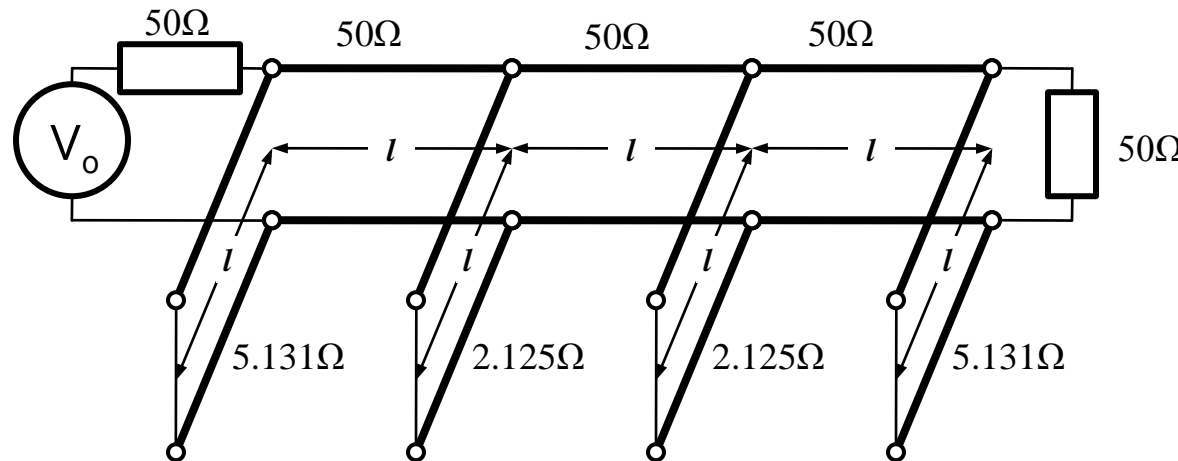


ADS - FTB



Exemplu

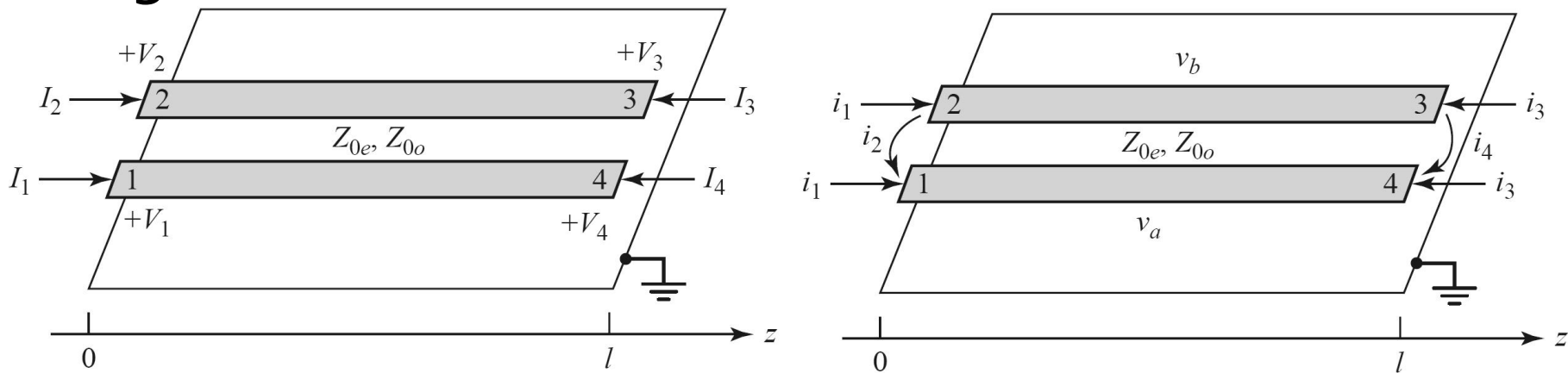
$$l = \frac{\lambda}{4} \Rightarrow \beta \cdot l = \frac{\pi}{2}$$



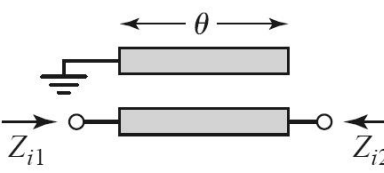
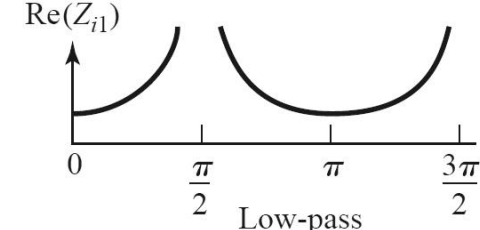
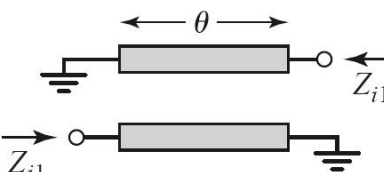
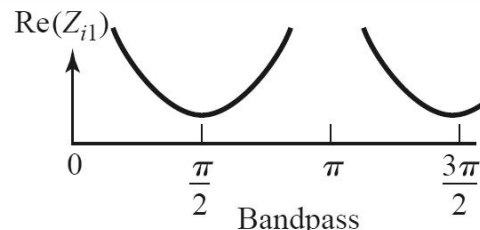
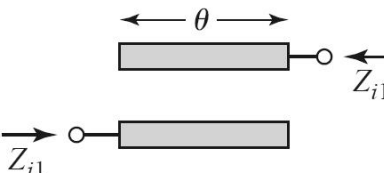
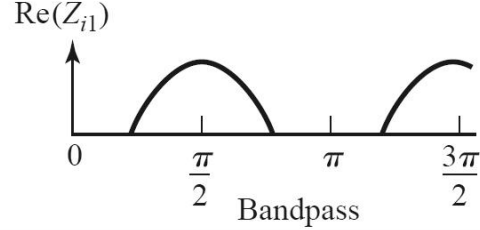
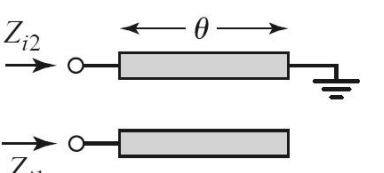
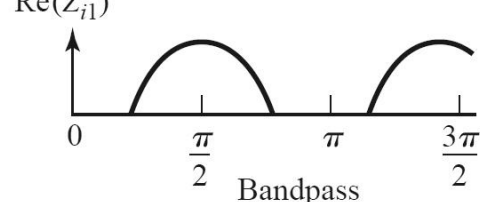
- Problemele filtrelor realizate cu linii ca rezonatoare si invertoare de impedanta
 - stub-uri in scurtcircuit (via-hole) pentru FTB
 - deseori impedantele caracteristice pentru stub-uri rezulta de **valori** dificil de realizat in practica (2.125Ω)

Filtre cu linii cuplate

- Analiza sectiunilor de linii cuplate se face punand in evidenta comportarea pe modul par si pe modul impar
- Aceste moduri sunt caracterizate de impedantele caracteristice de mod par/impar a caror valoare va impune in functie de tehnologia utilizata geometria liniilor (latime/distanta dintre lini)



Filtre cu linii cuplate

Circuit	Image Impedance	Response
	$Z_{i1} = \frac{2Z_{0e}Z_{0o} \cos \theta}{\sqrt{(Z_{0e} + Z_{0o})^2 \cos^2 \theta - (Z_{0e} - Z_{0o})^2}}$ $Z_{i2} = \frac{Z_{0e}Z_{0o}}{Z_{i1}}$	
	$Z_{i1} = \frac{2Z_{0e}Z_{0o} \sin \theta}{\sqrt{(Z_{0e} - Z_{0o})^2 - (Z_{0e} + Z_{0o})^2 \cos^2 \theta}}$	
	$Z_{i1} = \frac{\sqrt{(Z_{0e} - Z_{0o})^2 - (Z_{0e} + Z_{0o})^2 \cos^2 \theta}}{2 \sin \theta}$	
	$Z_{i1} = \frac{\sqrt{Z_{0e}Z_{0o}} \sqrt{(Z_{0e} - Z_{0o})^2 - (Z_{0e} + Z_{0o})^2 \cos^2 \theta}}{(Z_{0e} + Z_{0o}) \sin \theta}$ $Z_{i2} = \frac{Z_{0e}Z_{0o}}{Z_{i1}}$	

Filtre cu linii cuplate

- Filtru trece banda cu rezonanta la $\theta = \pi/2$ ($l = \lambda/4$)

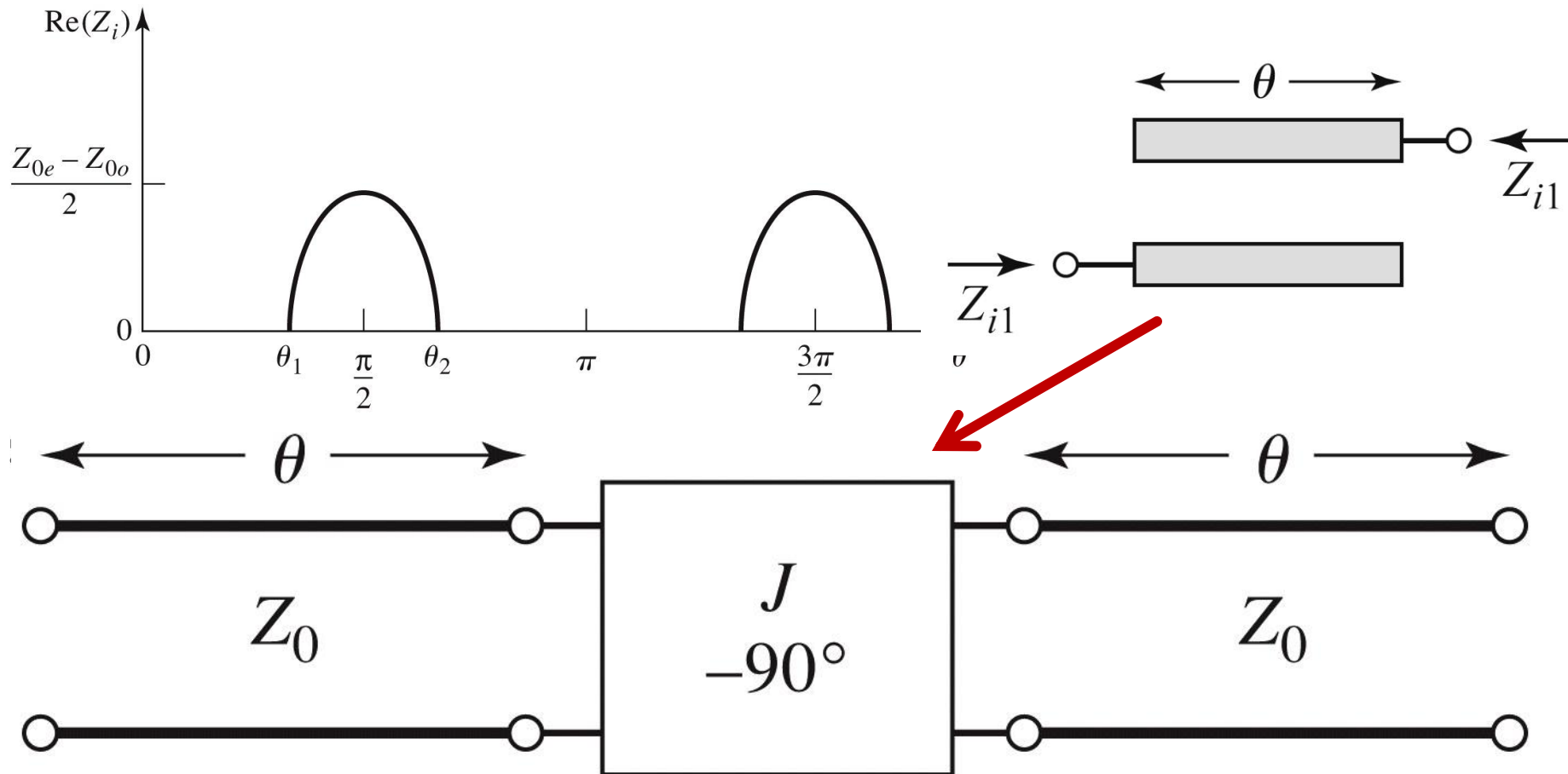
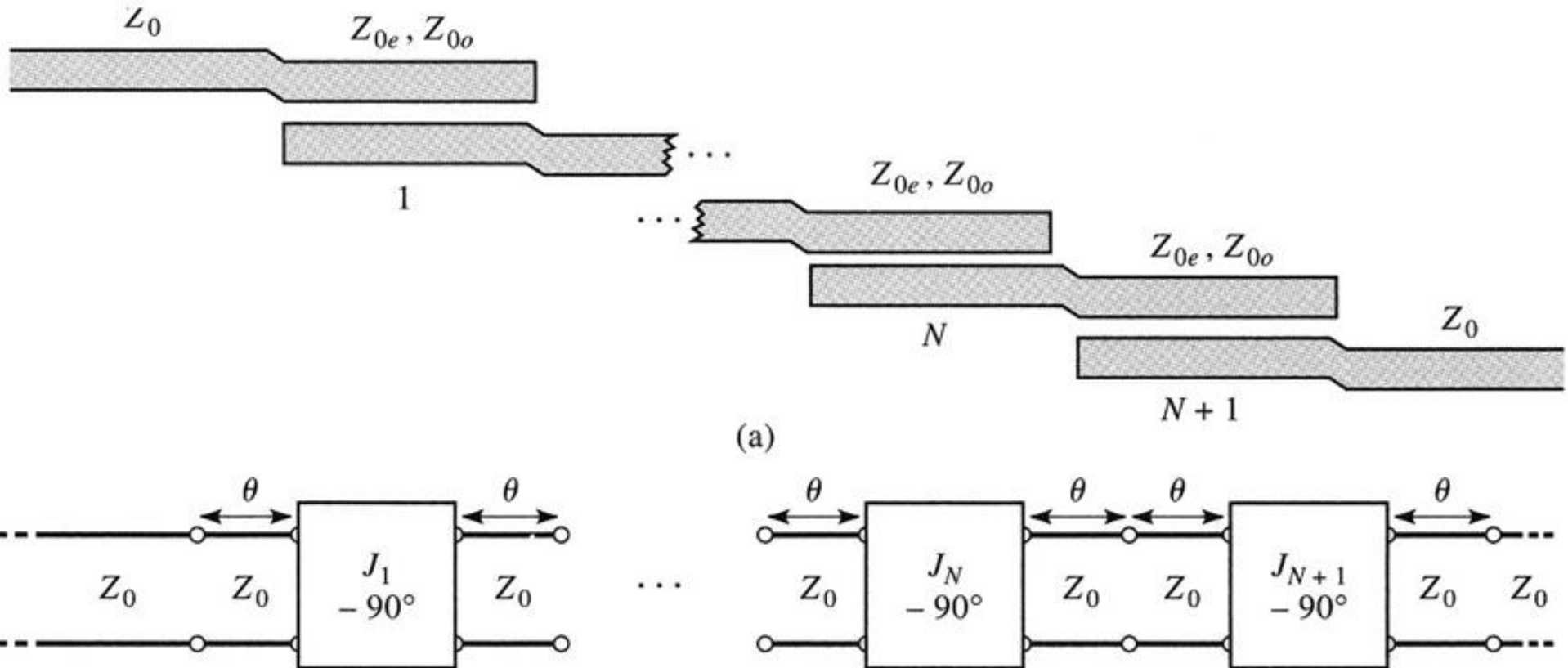


Figure 8.44

© John Wiley & Sons, Inc. All rights reserved.

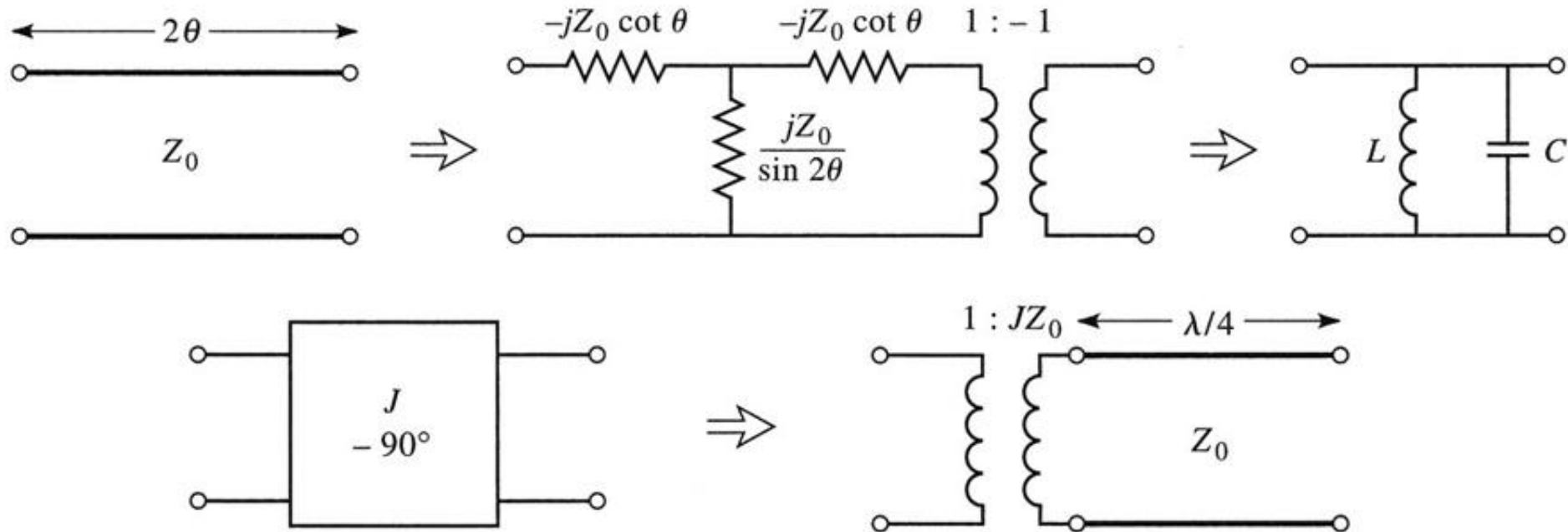
Filtre cu linii cuplate

- Un filtru cu $N+1$ sectiuni de linii cuplate



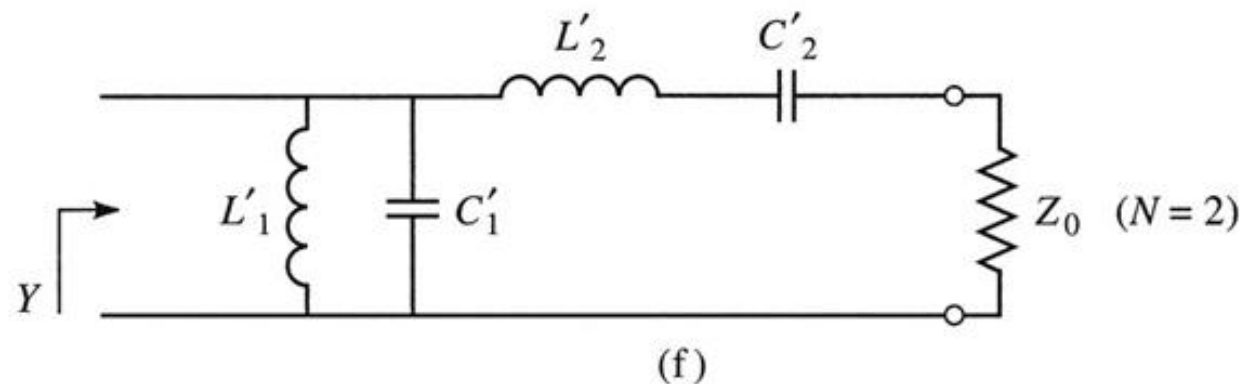
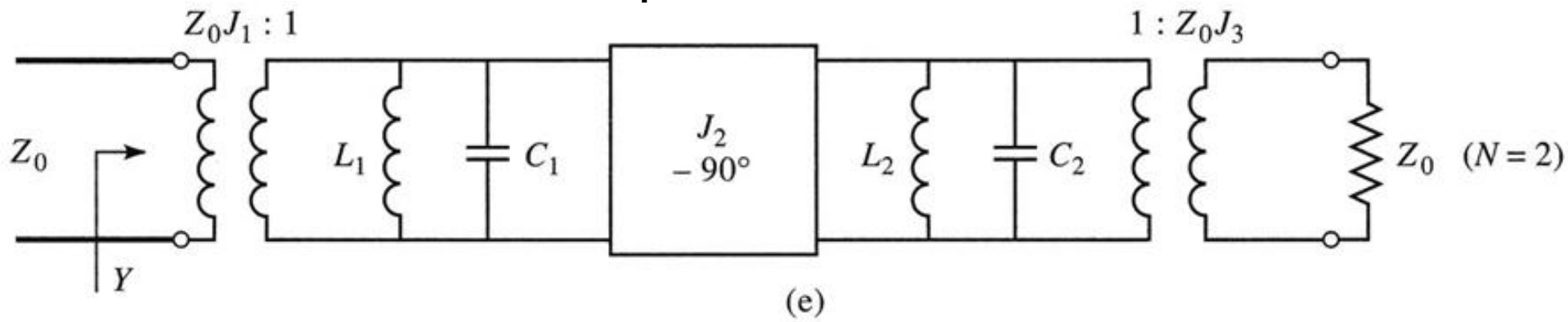
Filtre cu linii cuplate

- Se modeleaza
 - liniile
 - inversoarele



Filtre cu linii cuplate N=2

- Se obtine comportare de tip FTB de ordin 2 cu 3 sectiuni de linii cuplate



Proiectare filtre cu linii cuplate

- Se calculeaza inversoarele

$$Z_0 \cdot J_1 = \sqrt{\frac{\pi \cdot \Delta}{2 \cdot g_1}} \quad Z_0 \cdot J_n = \frac{\pi \cdot \Delta}{2 \cdot \sqrt{g_{n-1} \cdot g_n}}, n = \overline{2, N} \quad Z_0 \cdot J_{N+1} = \sqrt{\frac{\pi \cdot \Delta}{2 \cdot g_N \cdot g_{N+1}}}$$

- Se calculeaza liniile cuplate (toate de lungime $l=\lambda/4$)

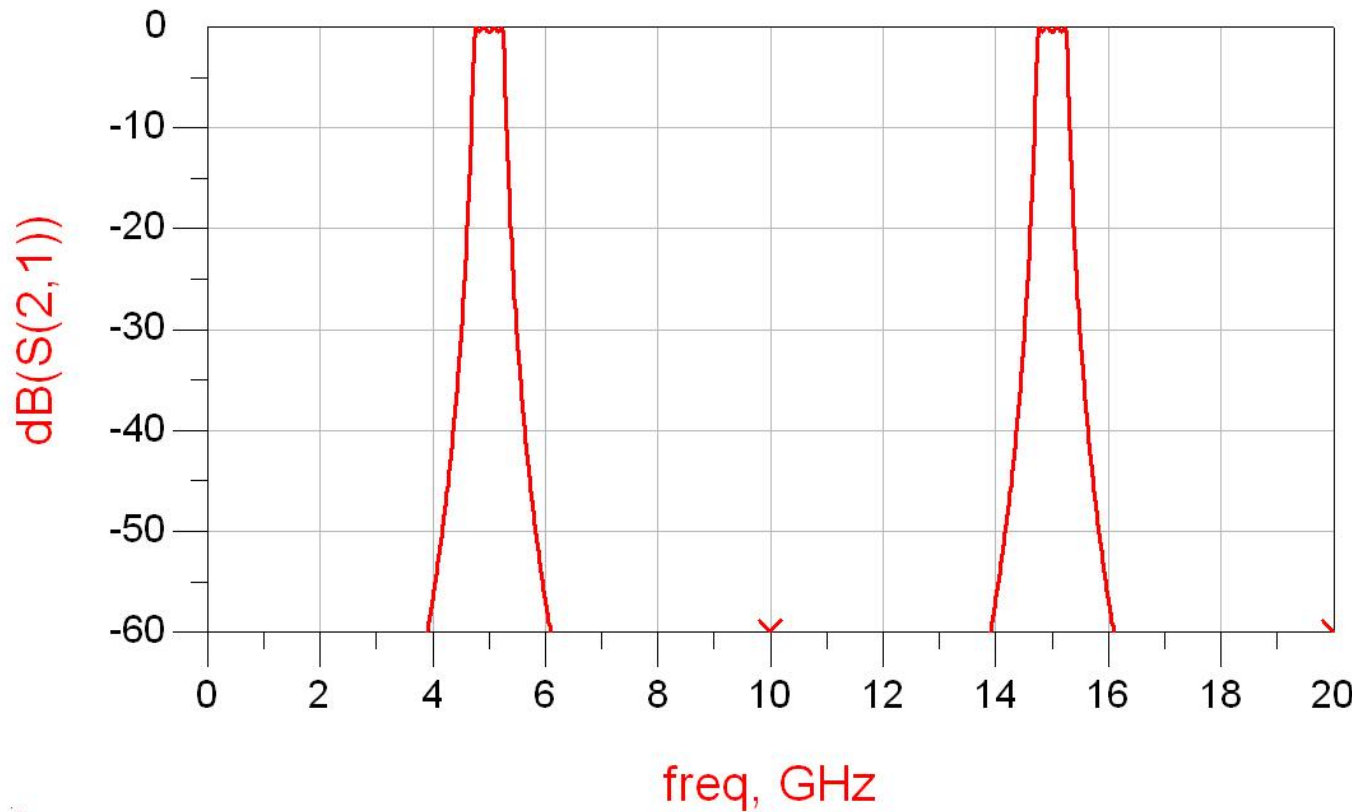
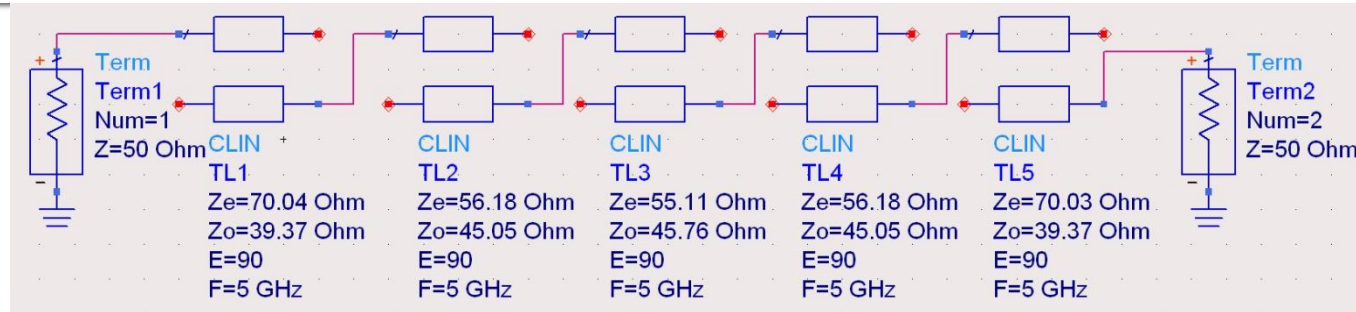
$$Z_{0e,n} = Z_0 \cdot [1 + J_n \cdot Z_0 + (J_n \cdot Z_0)^2] \quad n = \overline{1, N+1}$$
$$Z_{0o,n} = Z_0 \cdot [1 - J_n \cdot Z_0 + (J_n \cdot Z_0)^2]$$

Exemplu

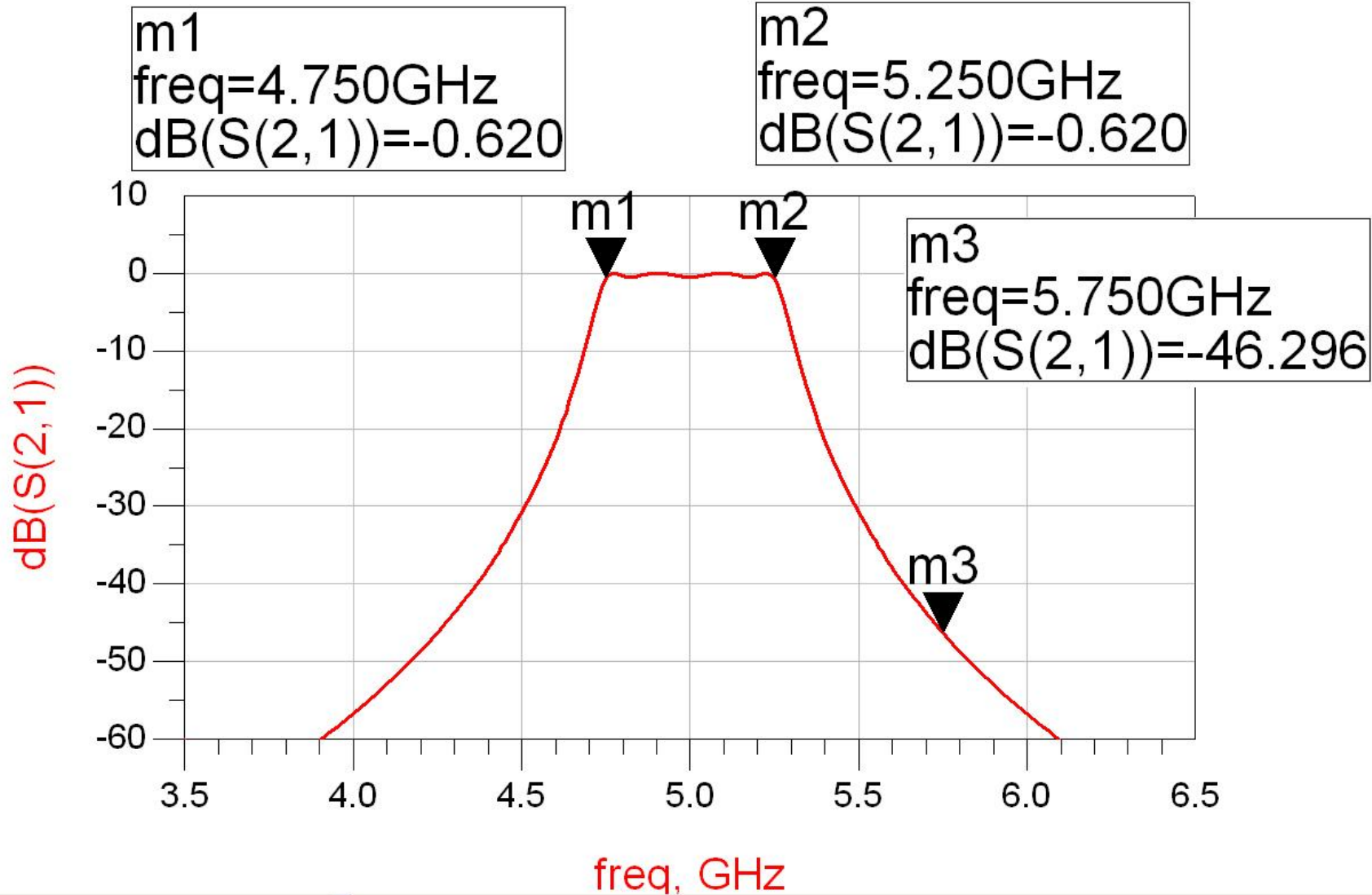
- Similar cu o tema de proiect
- Continuarea amplificatorului C11
- Filtru trece banda de ordinul 4, $f_0 = 5\text{GHz}$, banda 10 %
- Tabel echiriplu 0.5dB sau relatii de calcul:

n	g	ZoJn	Zoe	Zoo
1	1.6703	0.306664	70.04	39.37
2	1.1926	0.111295	56.18	45.05
3	2.3661	0.09351	55.11	45.76
4	0.8419	0.111294	56.18	45.05
5	1.9841	0.306653	70.03	39.37

ADS – FTB coupled line

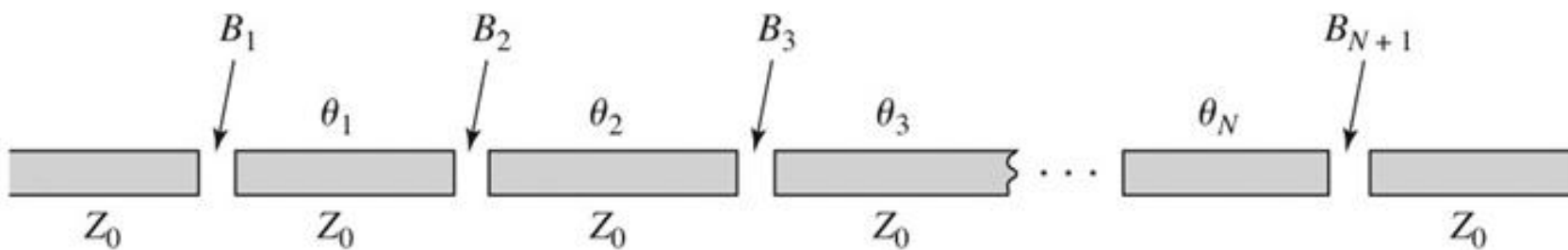


ADS – FTB coupled line

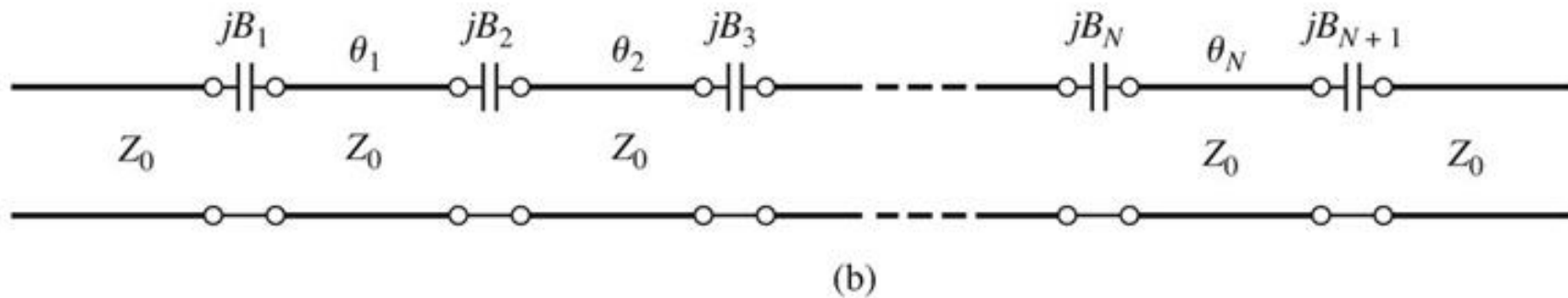


Filtru cu rezonatoare serie cuplate capacativ

- Separarea fizica a doua sectiuni de linie produce un cuplaj capacativ intre cele doua linii



(a)



(b)

Filtru cu rezonatoare serie cuplate capacativ

- Din lungimea fizica a rezonatoarelor o portiune se foloseste pentru a crea schema de inversor (ramane $\phi = \pi$, $l = \lambda/2$)

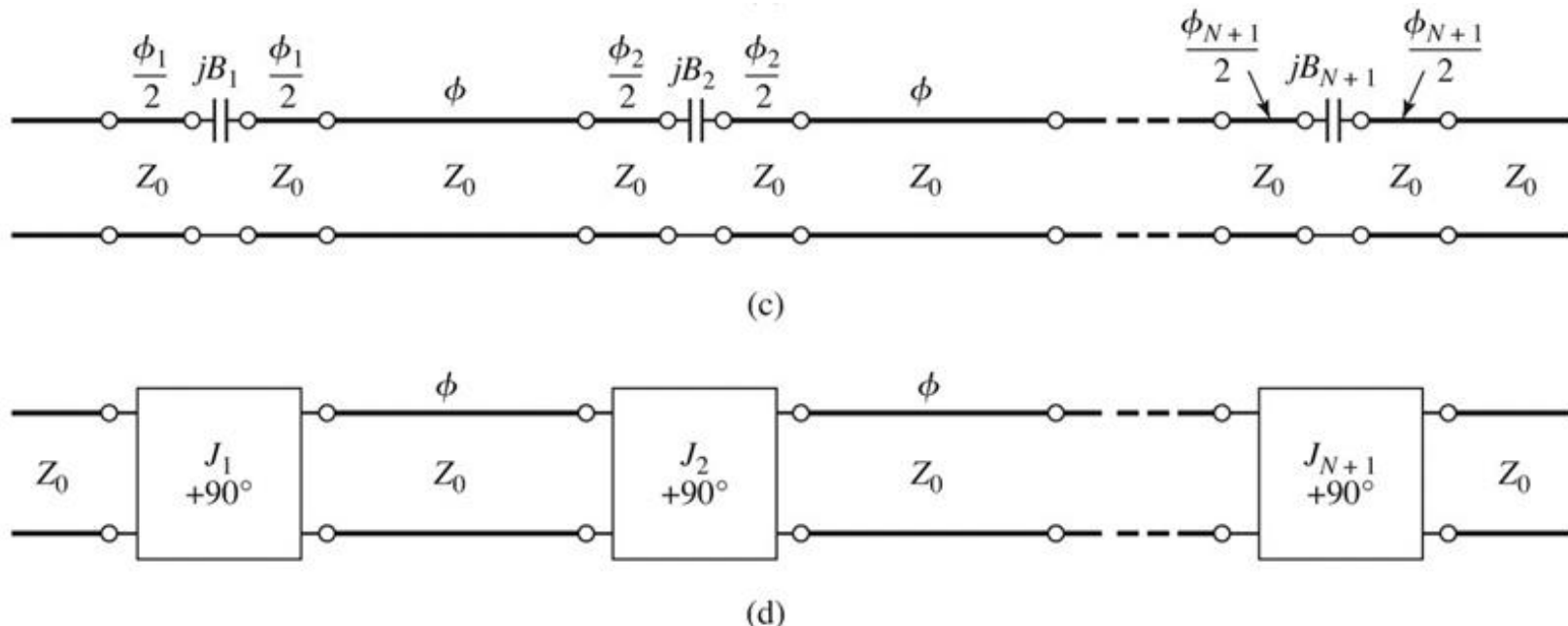


Figure 8.50

© John Wiley & Sons, Inc. All rights reserved.

Proiectare filtru cu rezonatoare serie cuplate capacativ

- Se calculeaza inversoarele (similar linii cuplate)

$$Z_0 \cdot J_1 = \sqrt{\frac{\pi \cdot \Delta}{2 \cdot g_1}} \quad Z_0 \cdot J_n = \frac{\pi \cdot \Delta}{2 \cdot \sqrt{g_{n-1} \cdot g_n}}, n = \overline{2, N} \quad Z_0 \cdot J_{N+1} = \sqrt{\frac{\pi \cdot \Delta}{2 \cdot g_N \cdot g_{N+1}}}$$

- Se calculeaza susceptantele cuplajului

$$B_n = \frac{J_n}{1 - (Z_0 \cdot J_n)^2}, n = \overline{1, N+1}$$

- Se calculeaza lungimile de linii care trebuie "imprumutate" pentru realizarea inversoarelor

$$\phi_n = -\tan^{-1}(2 \cdot Z_0 \cdot B_n), n = \overline{1, N+1} \quad \phi_n < 0, n = \overline{1, N+1}$$

- Se calculeaza lungimile electrice ale liniilor

$$\theta_i = \pi + \frac{1}{2} \cdot (\phi_i + \phi_{i+1}) = \pi - \frac{1}{2} \cdot [\tan^{-1}(2 \cdot Z_0 \cdot B_i) + \tan^{-1}(2 \cdot Z_0 \cdot B_{i+1})], i = \overline{1, N}$$

Circuite echivalente pentru sectiuni scurte de linii

- Parametri ABCD (C5)
- linie scurta, model cu elemente concentrate valid

$$A = \cos \beta \cdot l \quad B = j \cdot Z_0 \cdot \sin \beta \cdot l$$

$$Z_0, \beta$$
$$C = j \cdot Y_0 \cdot \sin \beta \cdot l \quad D = \cos \beta \cdot l$$

$$A = 1 + \frac{Z_1}{Z_3} \quad B = Z_1 + Z_2 + \frac{Z_1 \cdot Z_2}{Z_3}$$

$$C = \frac{1}{Z_3} \quad D = 1 + \frac{Z_2}{Z_3}$$

Circuite echivalente pentru sectiuni scurte de linii

- Element paralel capacativ

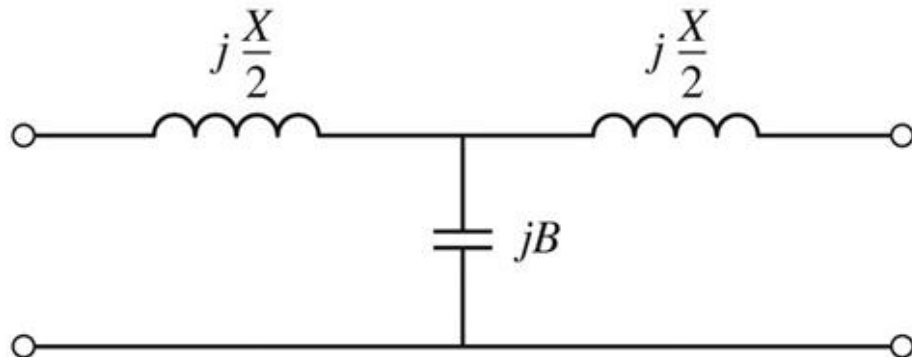
$$Z_3 = \frac{1}{j \cdot Y_0 \cdot \sin \beta \cdot l}$$

- Elementele in serie egale, inductive

$$\cos \beta \cdot l = 1 + \frac{Z_1}{Z_3} = 1 + \frac{Z_2}{Z_3}$$

$$Z_1 = Z_2 = Z_3 \cdot (\cos \beta \cdot l - 1) = -j \cdot Z_0 \cdot \frac{\cos \beta \cdot l - 1}{\sin \beta \cdot l} = j \cdot Z_0 \cdot \tan \frac{\beta \cdot l}{2}$$

- Schema echivalenta

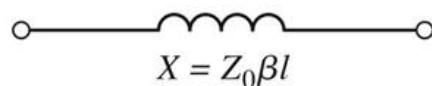


$$\frac{X}{2} = Z_0 \cdot \tan \frac{\beta \cdot l}{2}$$

$$B = \frac{1}{Z_0} \cdot \sin \beta \cdot l$$

Circuite echivalente pentru sectiuni scurte de linii

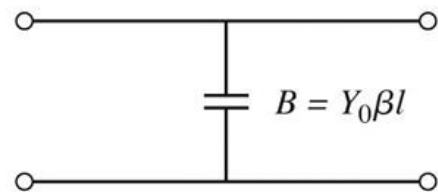
- În funcție de valoarea impedantei caracteristice
 - impedanța ridicată $Z_0 \gg$



$$X \cong Z_0 \cdot \beta \cdot l \quad \beta \cdot l < \frac{\pi}{4} \quad Z_0 = Z_h$$



- impedanța scăzută $Z_0 \ll$



$$B \cong Y_0 \cdot \beta \cdot l \quad \beta \cdot l < \frac{\pi}{4} \quad Z_0 = Z_l$$

Filtre cu variatii treapta a impedantei

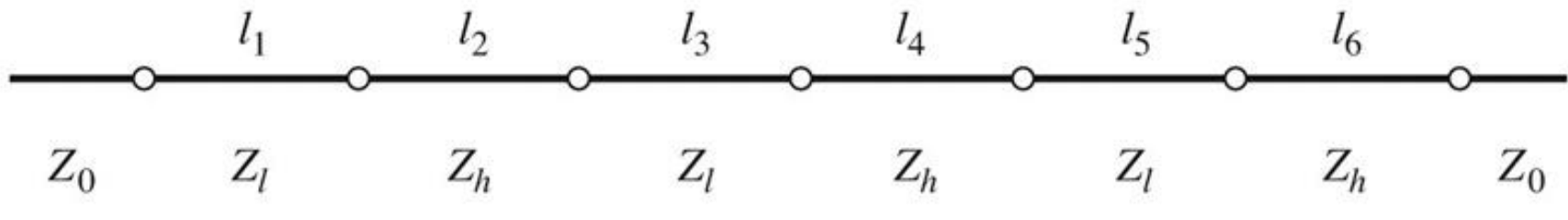
- Se pot crea filtre trece jos
- Se utilizeaza
 - linii cu impedanta caracteristica mare pentru a implementa o inductanta
 - linii cu impedanta caracteristica mica pentru a implementa o capacitate

$$\beta \cdot l = \frac{L \cdot R_0}{Z_h}$$

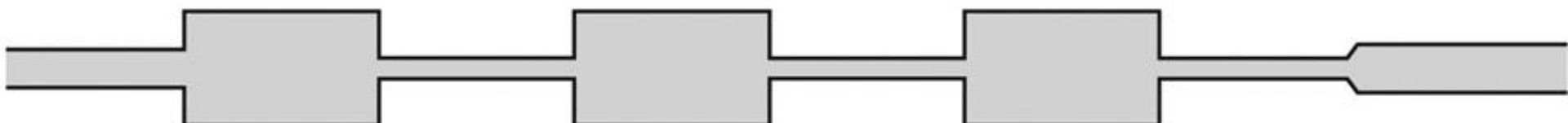
- De obicei se utilizeaza cea mai mare si cea mai mica impedanta permisa de tehnologie

Filtre cu variatii treapta a impedantei

- Nu toate liniile au aceeasi lungime deci problema periodicitatii in frecventa a raspunsului e mai putin importanta



(b)



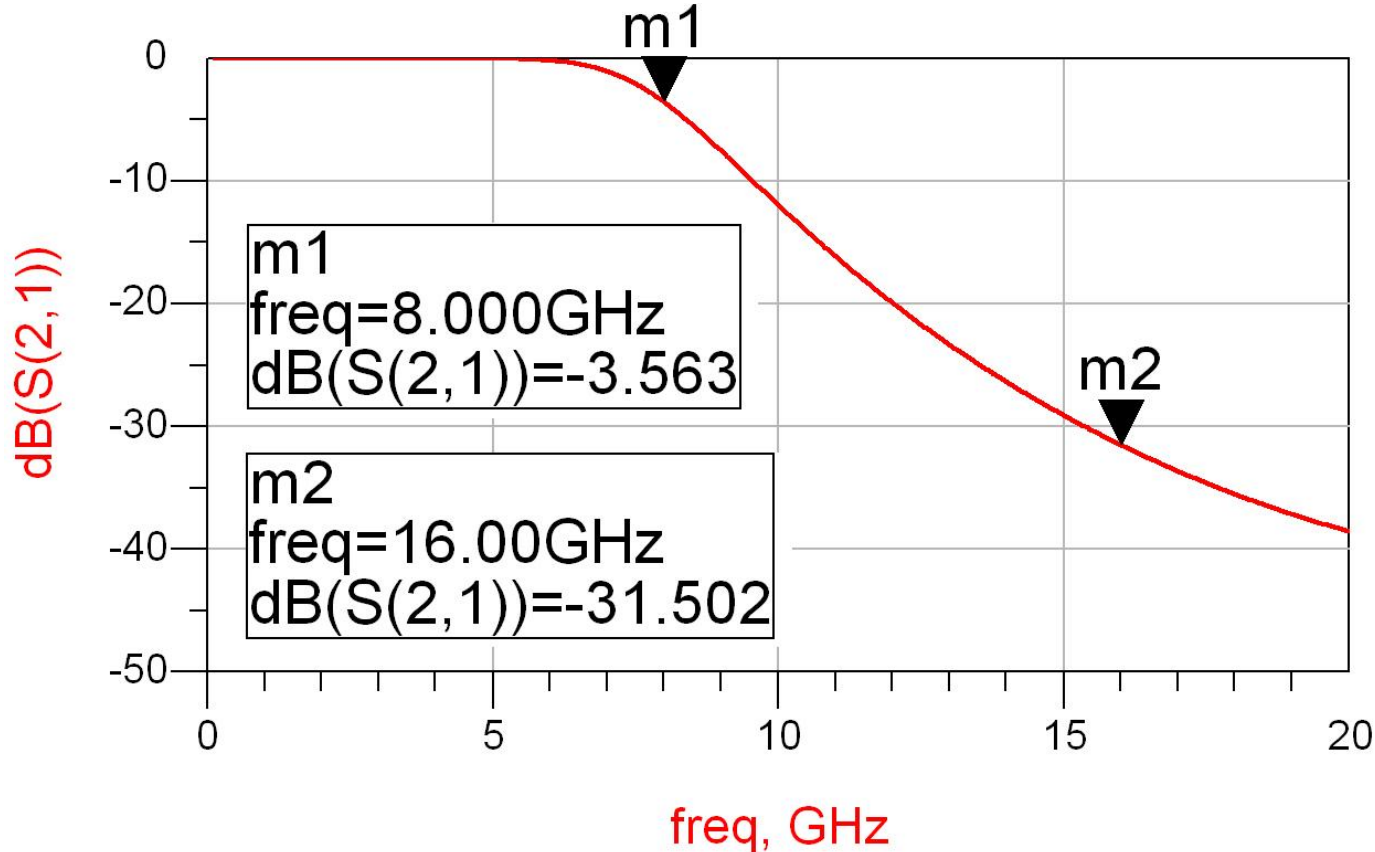
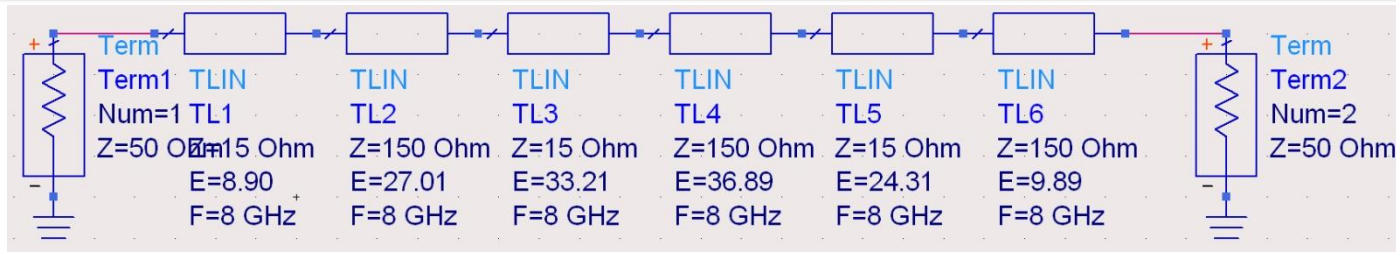
(c)

Exemplu

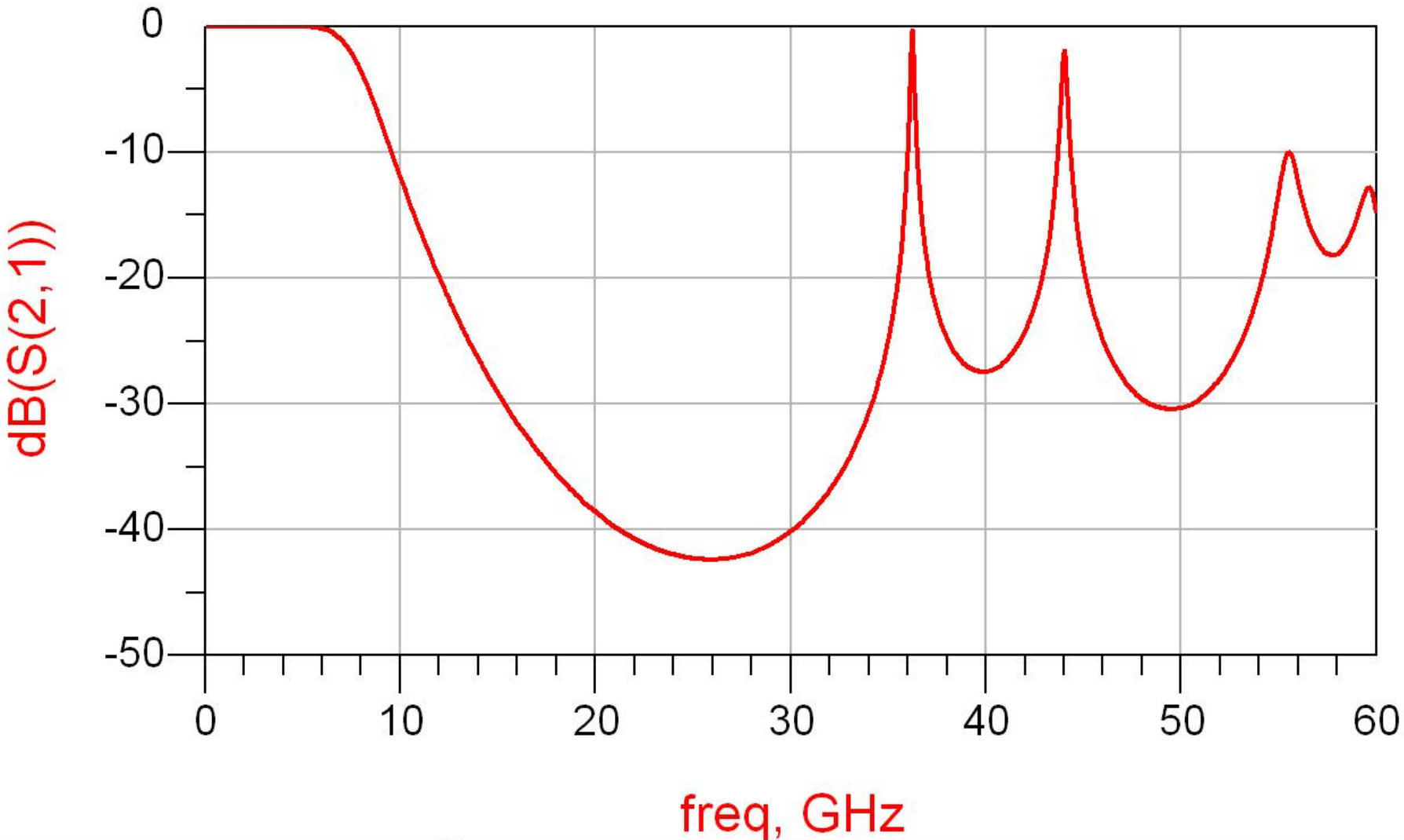
- FTJ cu frecventa de taiere 8GHz, de ordinul 6. Impedanta maxima realizabila este 150Ω iar cea minima 15Ω .

n	g_n	L/C_n	z	$\theta_n[\text{rad}]$	$\theta_n[^\circ]$
1	0.5176	0.206pF	15	0.155	8.90
2	1.4142	1.407nH	150	0.471	27.01
3	1.9318	0.769pF	15	0.580	33.21
4	1.9318	1.922nH	150	0.644	36.89
5	1.4142	0.563pF	15	0.424	24.31
6	0.5176	0.515nH	150	0.173	9.89

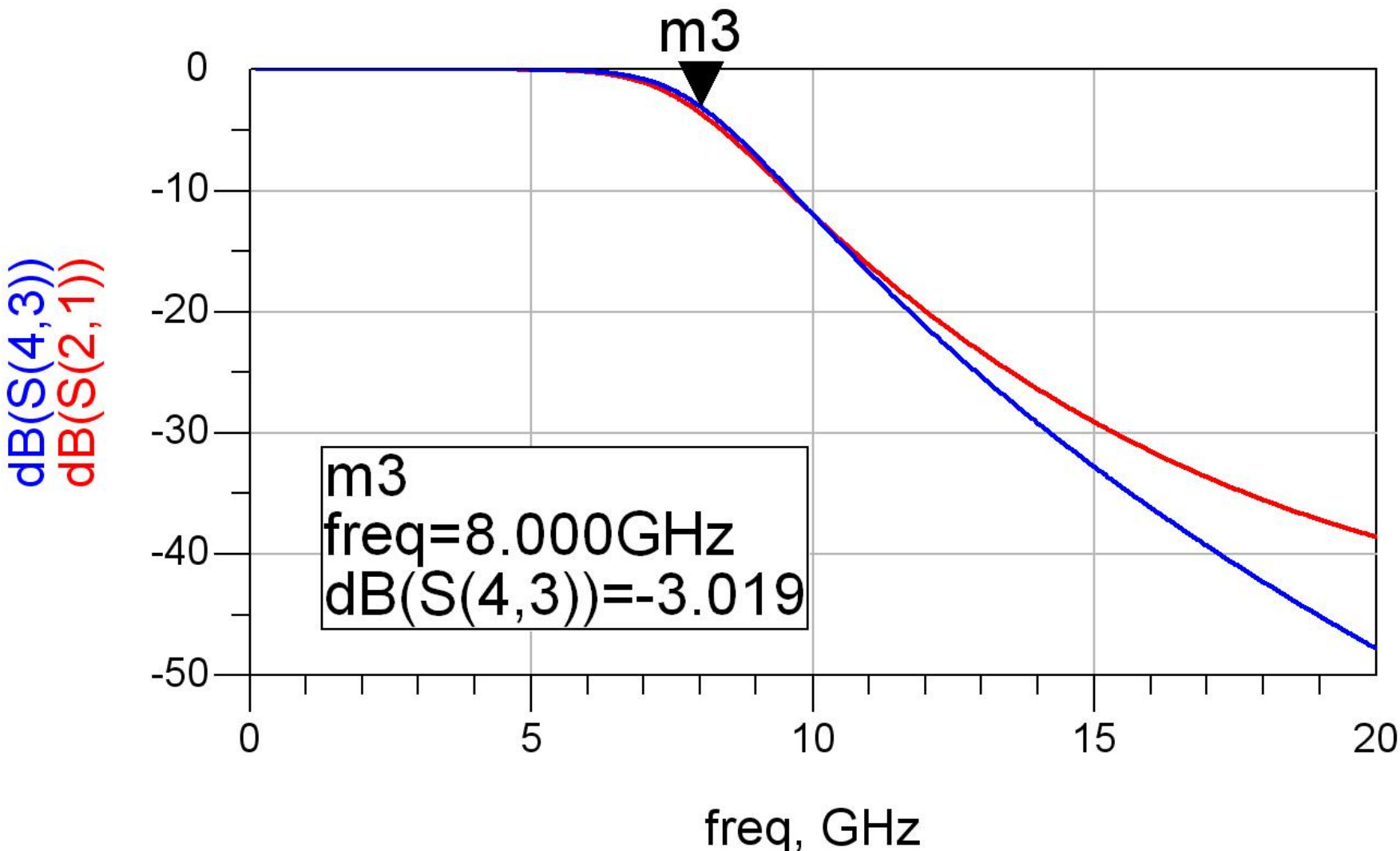
ADS - FTJ stepped impedance



ADS – FTJ stepped impedance



ADS – FTJ comparatie cu elemente concentrate



Exemple

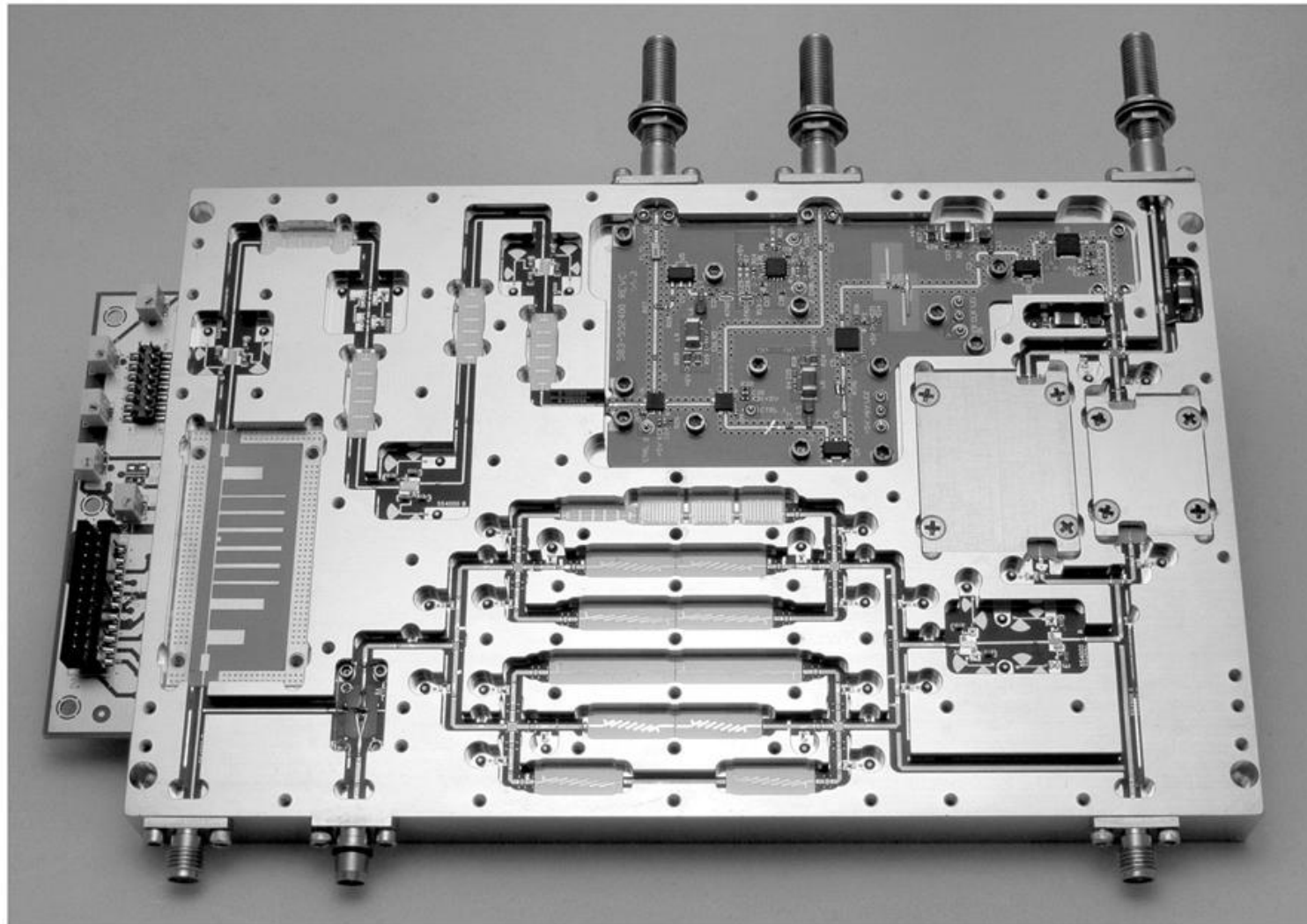


Figure 8.55
Courtesy of LNX Corporation, Salem, N.H.

Exemple

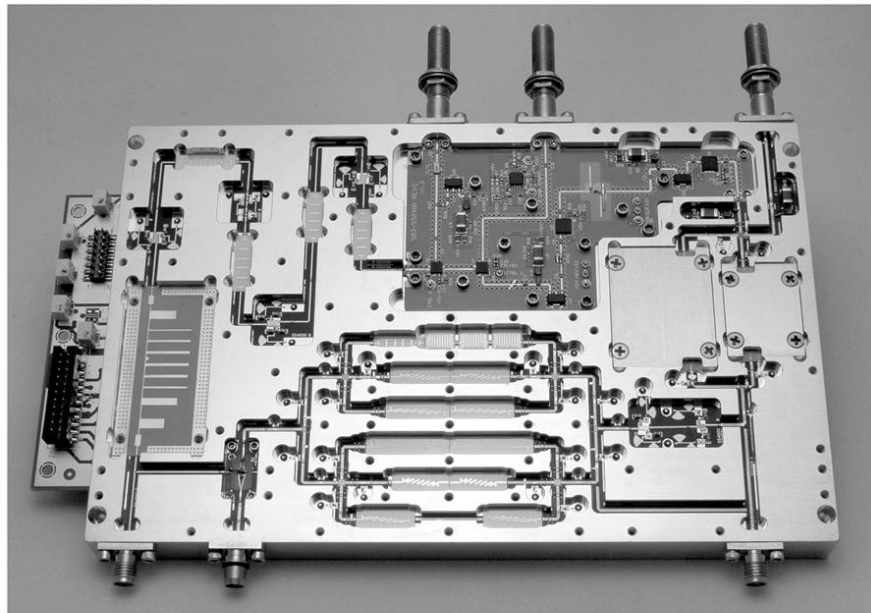
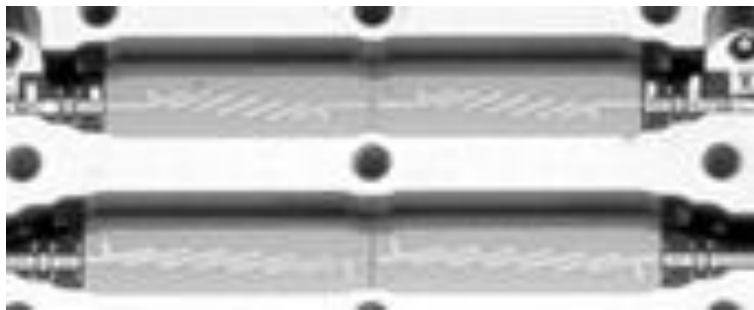
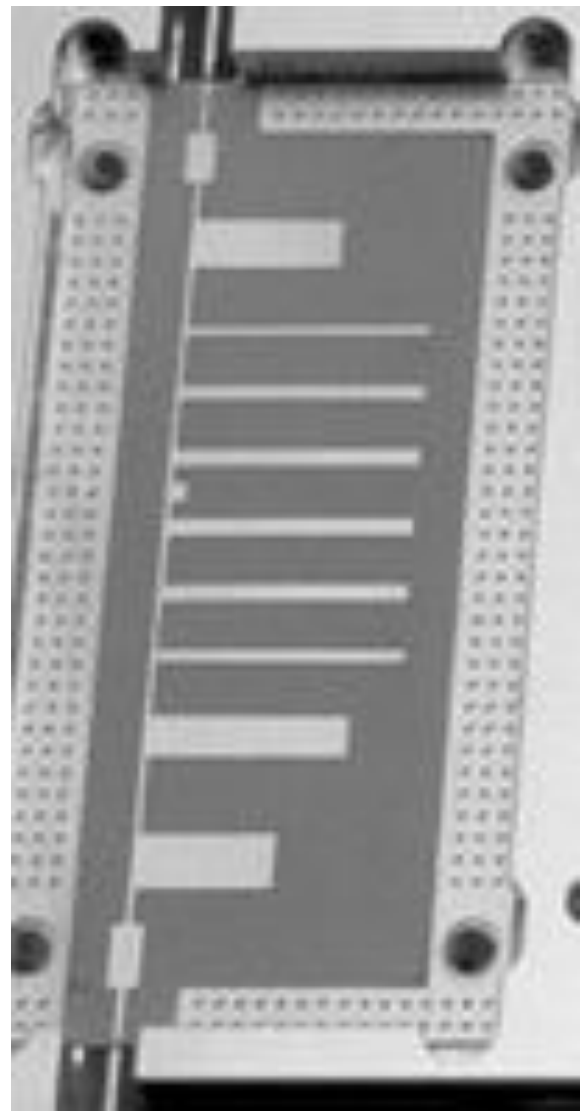
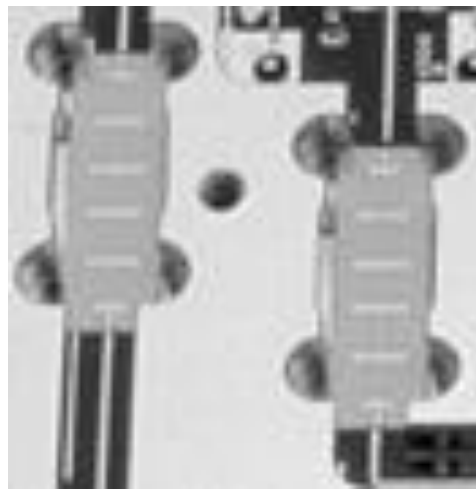


Figure 8.55
Courtesy of LNX Corporation, Salem, N.H.



Contact

- Laboratorul de microunde si optoelectronica
- <http://rf-opto.etti.tuiasi.ro>
- rdamian@etti.tuiasi.ro